

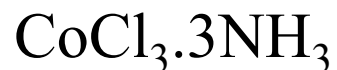
# Koordinační chemie



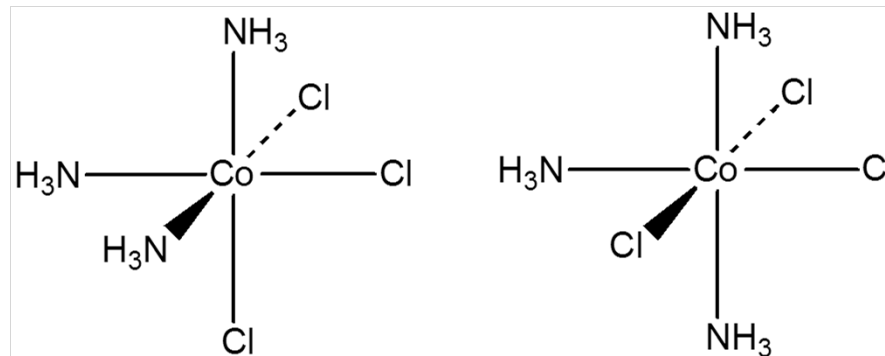
Alfred Werner  
(1866-1919)

NP za chemii 1913

1893 K centrálnímu atomu může být vázáno více ligandů než odpovídá jeho oxidačnímu číslu.



Přidavek HCl nevede k neutralizaci  $\text{NH}_3$

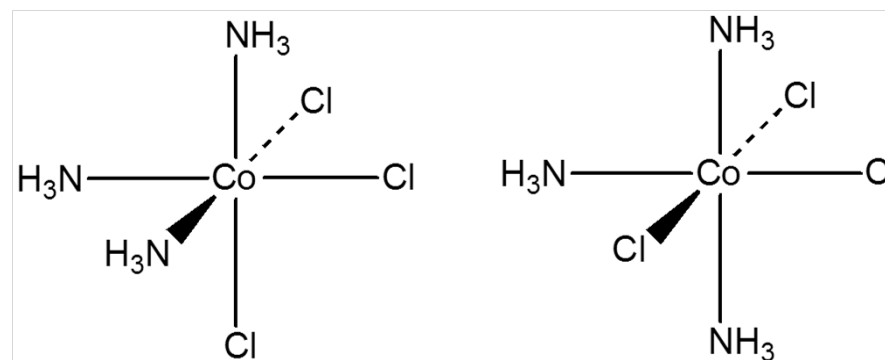
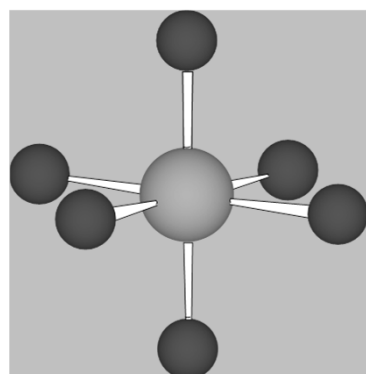


# Koordinační sloučeniny

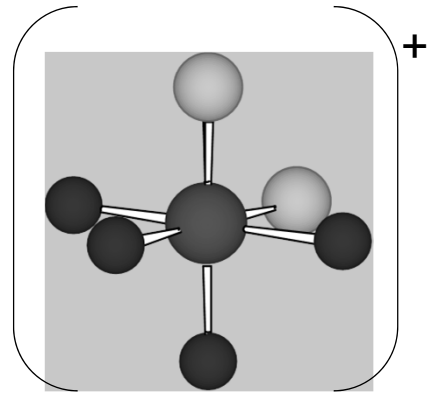
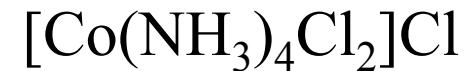
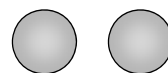
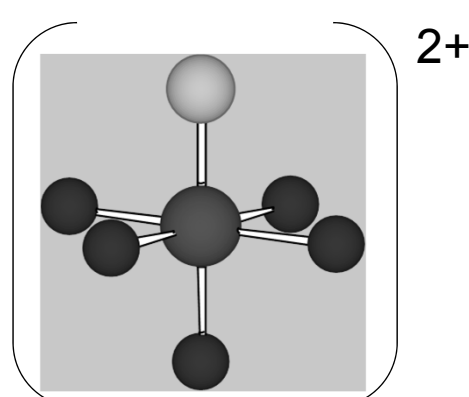
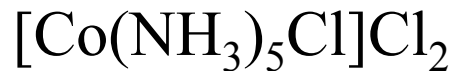
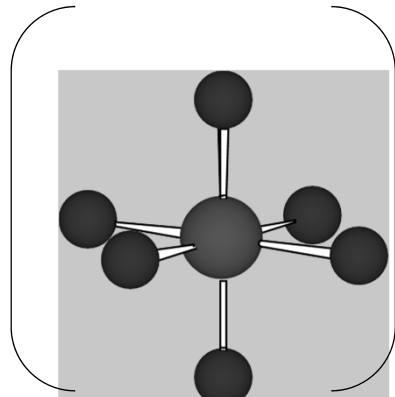
Experimentální výsledky nesouhlasí s dosavadní teorií  
→ nová teorie (model)

Empírický vzorec	Barva	Počet molů iontů na 1 mol látky	Počet molů $\text{AgCl}$ , které lze snadno vystrážit z 1 molu látky
$\text{CoCl}_3 \cdot 6\text{NH}_3$	zlatohnědá	4	3
$\text{CoCl}_3 \cdot 5\text{NH}_3$	fialová	3	2
$\text{CoCl}_3 \cdot 4\text{NH}_3$	zelená	2	1
$\text{CoCl}_3 \cdot 3\text{NH}_3$	zelená	0	0

Oktaedr



# Koordinační sloučeniny

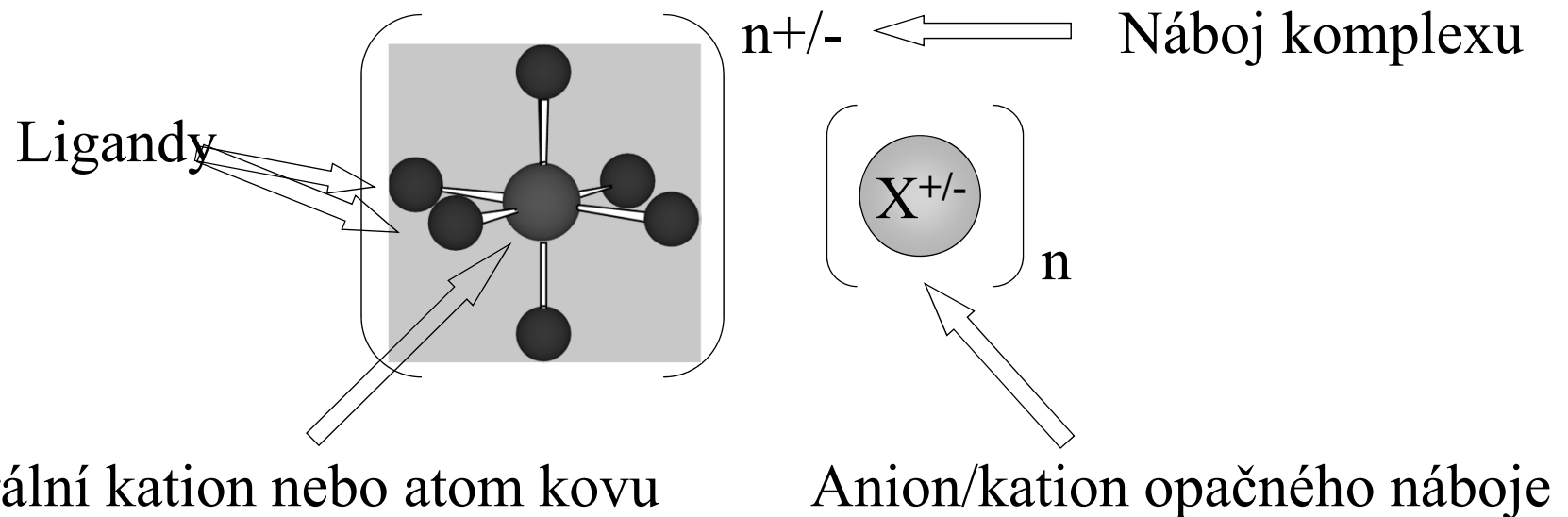


Kov v oxidačním stavu n+ (primární valence)

Komplex má koordinační číslo m (sekundární valence)

Ligandy vázány k centrálnímu atomu donor-akceptorovými vazbami

# Koordinační sloučeniny



Centrální kation kovu nebo neutrální atom je obklopen souborem ligandů. Každý ligand poskytne 2 elektrony do volných d-orbitalů kovu a vytvoří donor-akceptorovou vazbu.

**Počet ligandů = koordinační číslo**

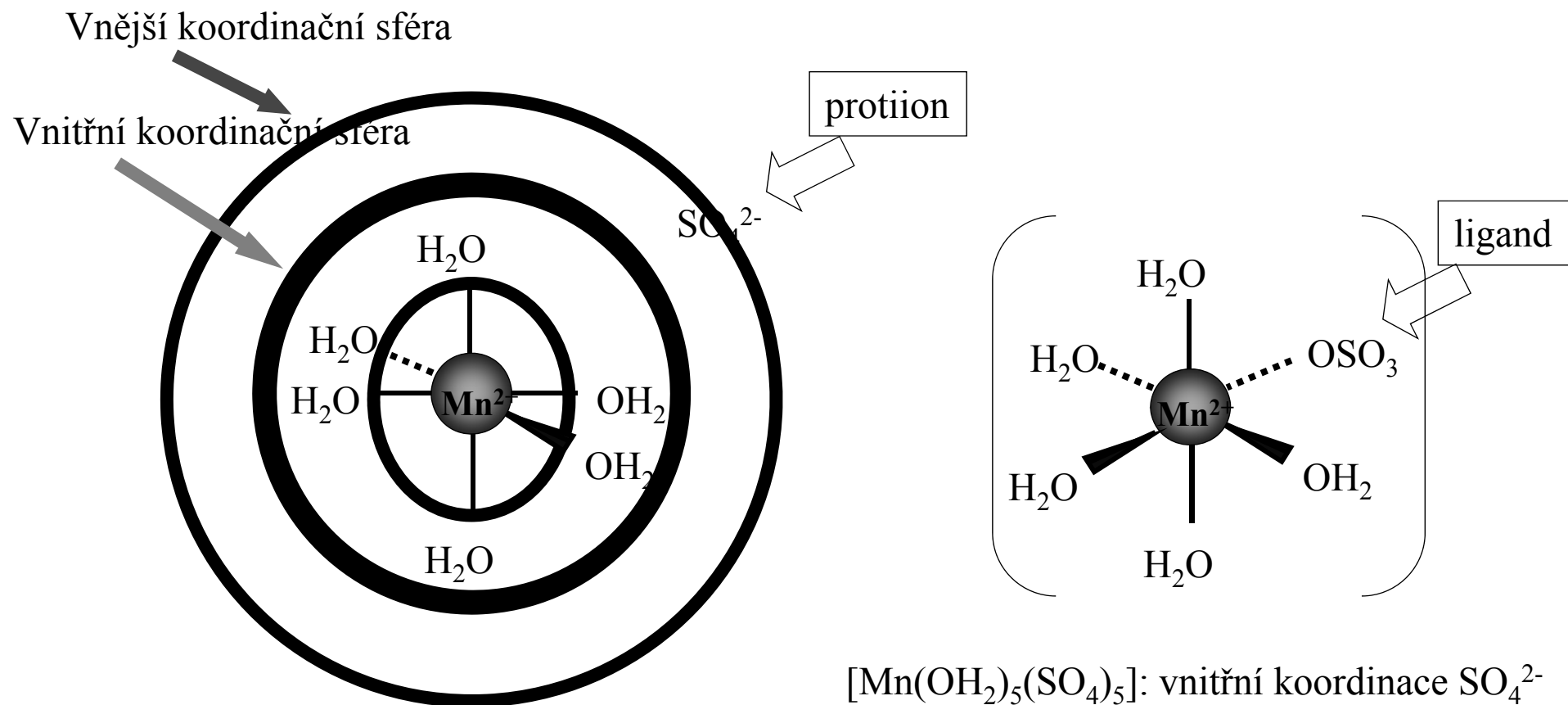
# Vnitřní a vnější sféra komplexu

Vnitřní koordinační sféra =

ligandy přímo vázané k centrálnímu atomu

Vnější koordinační sféra =

ionty asociované s komplexem, ale ne přímo vázané k centrálnímu atomu



$[\text{Mn}(\text{OH}_2)_6(\text{SO}_4)_5]$ : vnitřní koordinace  $\text{SO}_4^{2-}$

$[\text{Mn}(\text{OH}_2)_6][\text{SO}_4]$ : vnější koordinace  $\text{SO}_4^{2-}$

# Změna pořadí energetických hladin

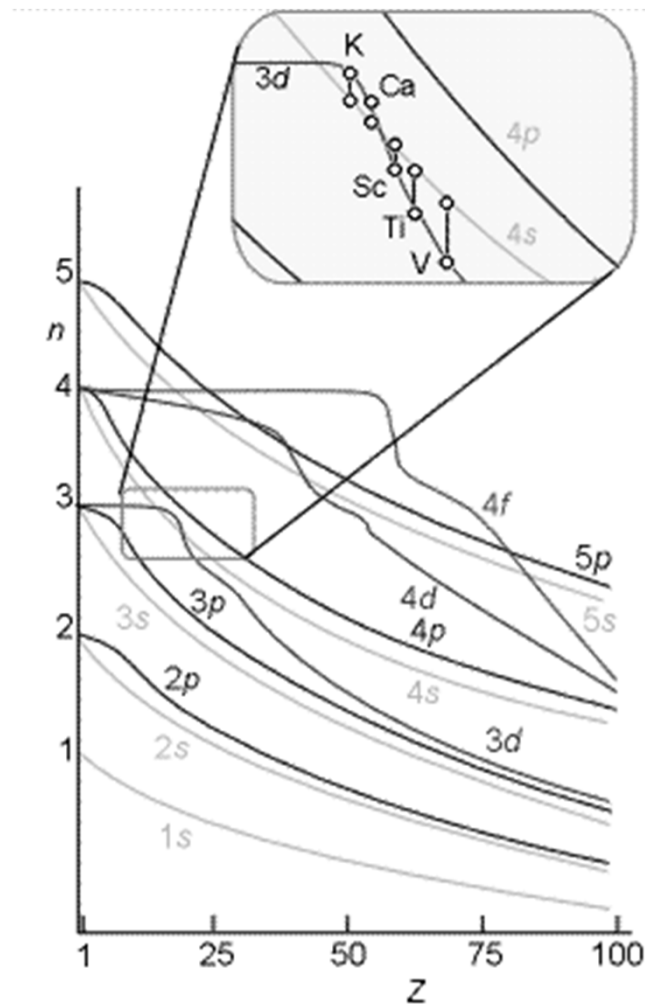
Ar       $[\text{Ne}] 3s^2 3p^6 (4s^0)$

K       $[\text{Ar}] 4s^1 (3d^0 4p^0)$

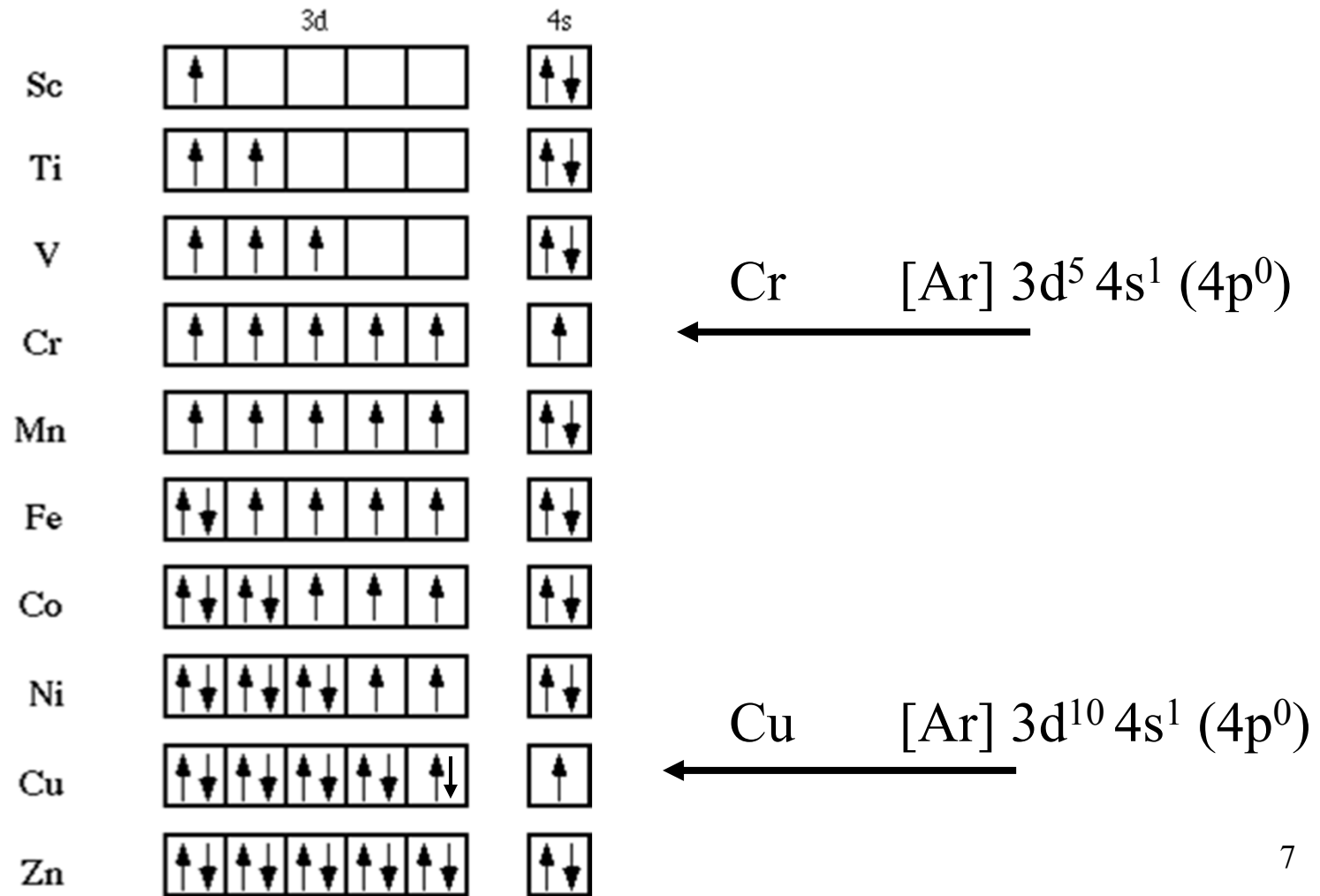
Ca       $[\text{Ar}] 4s^2 (3d^0 4p^0)$

Sc       $[\text{Ar}] 3d^1 4s^2 (4p^0)$

Ti       $[\text{Ar}] 3d^2 4s^2 (4p^0)$



# Vyšší stabilita zpola zaplněných d-orbitalů



# Oxidační stavy přechodných kovů

Ca	Sc	Ti	V	Cr	Mn	Fe	Co	Ni	Cu	Zn
					+7					
				+6	+6	+6				
			+5	+5	+5	+5	+5			
		+4	+4	+4	+4	+4	+4	+4		
	+3	+3	+3	+3	+3	+3	+3	+3	+3	
+2			+2	+2	+2	+2	+2	+2	+2	+2
	+1								+1	
		0	0	0	0	0	0	0		
		-1	-1				-1			
		-2		-2	-2	-2		-2		
					-3					

# Výpočet počtu d-elektronů

Kolik elektronů je ve valenční slupce  
 $\text{Cr} [\text{Ar}] 3\text{d}^5 4\text{s}^1 (4\text{p}^0)$

Kolik elektronů je odebráno při tvorbě kationtu: elektrony z s-orbitalu jsou odejmuty jako PRVNÍ  
 $\text{Cr}^{3+}$

Kolik elektronů zůstane v d-orbitalech  
 $\text{Cr}^{3+} [\text{Ar}] 3\text{d}^3 4\text{s}^0 (4\text{p}^0)$

$\text{Cr}^{3+}$  je tzv.  $d^3$  kation

Copyright © The McGraw-Hill Companies, Inc. Permission required for reproduction or display.

1A (1)	2A (2)								3A (13)	4A (14)	5A (15)	6A (16)	7A (17)	8A (18)					
Li	Be	Na	Mg	3B (3)	4B (4)	5B (5)	6B (6)	7B (7)	8B (8)	9 (9)	10 (10)	1B (11)	2B (12)	B	C	N	O	F	Ne
K	Ca	Sc	Ti	Cr	Mn	Fe	Co	Ni	Cu	Zn	Ga	Ge	As	Se	Br	Kr			
Rb	Sr	Y	Zr	Nb	Mo	Tc	Ru	Rh	Pd	Ag	Cd	In	Sn	Sb	Te	I	Xe		
Cs	Ba	La	Hf	Ta	W	Re	Os	Ir	Pt	Au	Hg	Tl	Pb	Bi	Po	At	Rn		
Fr	Ra	Ac	Rf	Db	Sg	Bh	Hs	Mt	110	111	112		114						
Ce	Pr	Nd	Pm	Sm	Eu	Gd	Tb	Dy	Ho	Er	Tm	Yb	Lu						
Th	Pa	U	Np	Pu	Am	Cm	Bk	Cf	Es	Fm	Md	No	Lr						



ON : -2

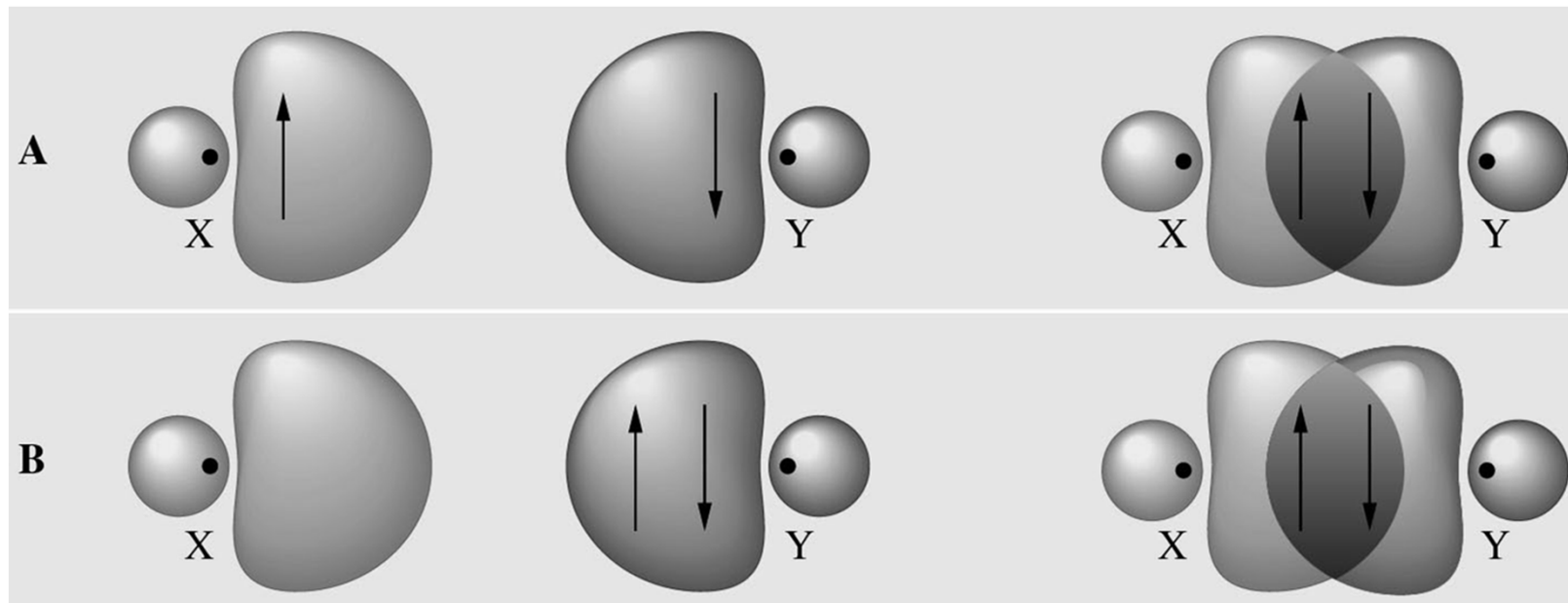


Li	Be														H	He
Na	Mg															
K	Ca	Sc	Ti	V	Cr	Mn	Fe	Co	Ni	Cu	Zn	Ga	Ge		O	F
Rb	Sr	Y	Zr	Nb	Mo	Tc	Ru	Rh	Pd	Ag	Cd	In	Sn	Sb	Cl	Ne
Cs	Ba	La	Hf	Ta	W	Re	Os	Ir	Pt	Au	Hg	Tl	Pb	Bi	Br	Kr
Fr	Ra	Ac	Rf	Db	Sg	Bh	Hs	Mt	110	111	112		114	Po	At	Rn
Ce	Pr	Nd	Pm	Sm	Eu	Gd	Tb	Dy	Ho	Er	Tm	Yb	Lu			
Th	Pa	U	Np	Pu	Am	Cm	Bk	Cf	Es	Fm	Md	No	Lr			

komplex	Ox.č. (Ligand)	Ox.č. (M)	počet d-elektronů
$[\text{Cr}_2\text{O}_7]^{2-}$	-2	+6	$\text{d}^0$
$[\text{MnO}_4]^-$	-2	+7	$\text{d}^0$
$[\text{Ag}(\text{NH}_3)_2]^+$	0	+1	$\text{d}^{10}$
$[\text{Ti}(\text{H}_2\text{O})_6]^{3+}$	0	+3	$\text{d}^1$
$[\text{Co}(\text{en})_3]^{3+}$	0	+3	$\text{d}^6$
$[\text{PtCl}_2(\text{NH}_3)_2]$	-1, 0	+2	$\text{d}^8$
$[\text{V}(\text{CN})_6]^{4-}$	-1	+2	$\text{d}^3$
$[\text{Fe}(\text{ox})_3]^{3-}$	-2	+3	$\text{d}^5$

# Donor-akceptorová vazba

donor-akceptorová vazba je ekvivalentní kovalentní vazbě



**Akceptor**  
**Volný orbital**

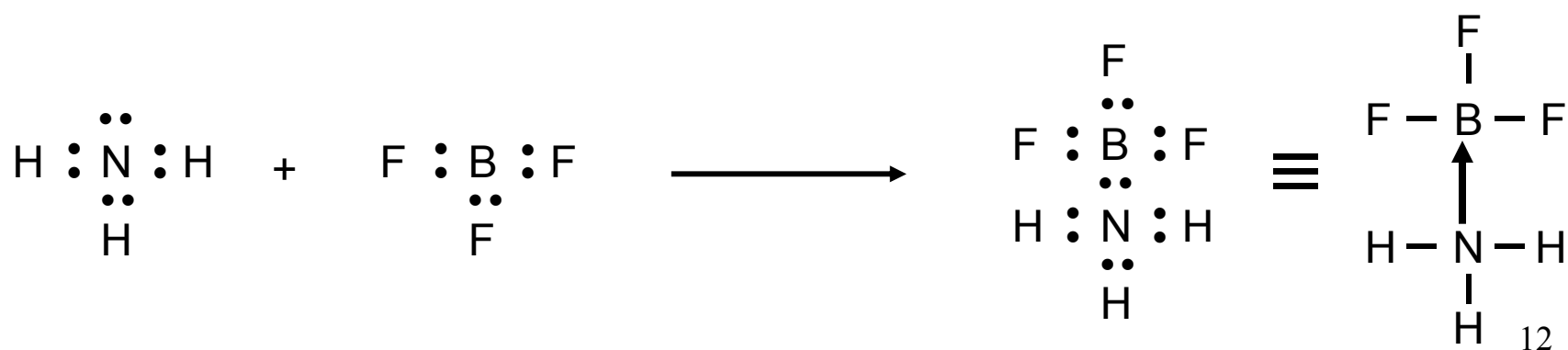
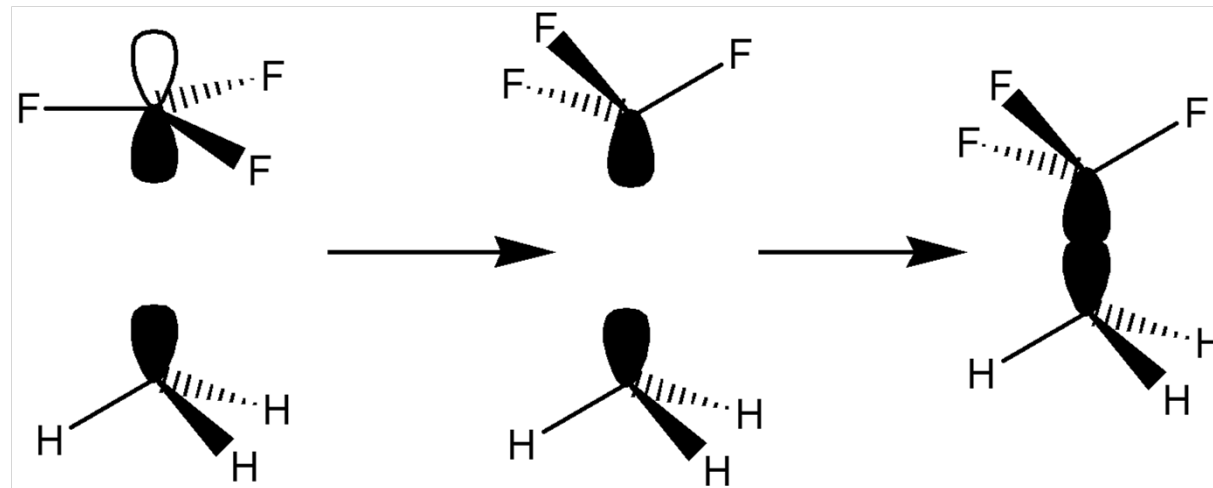
**Donor**  
**Volný e pár**

**Kovalentní vazba**

# Donor-akceptorová vazba

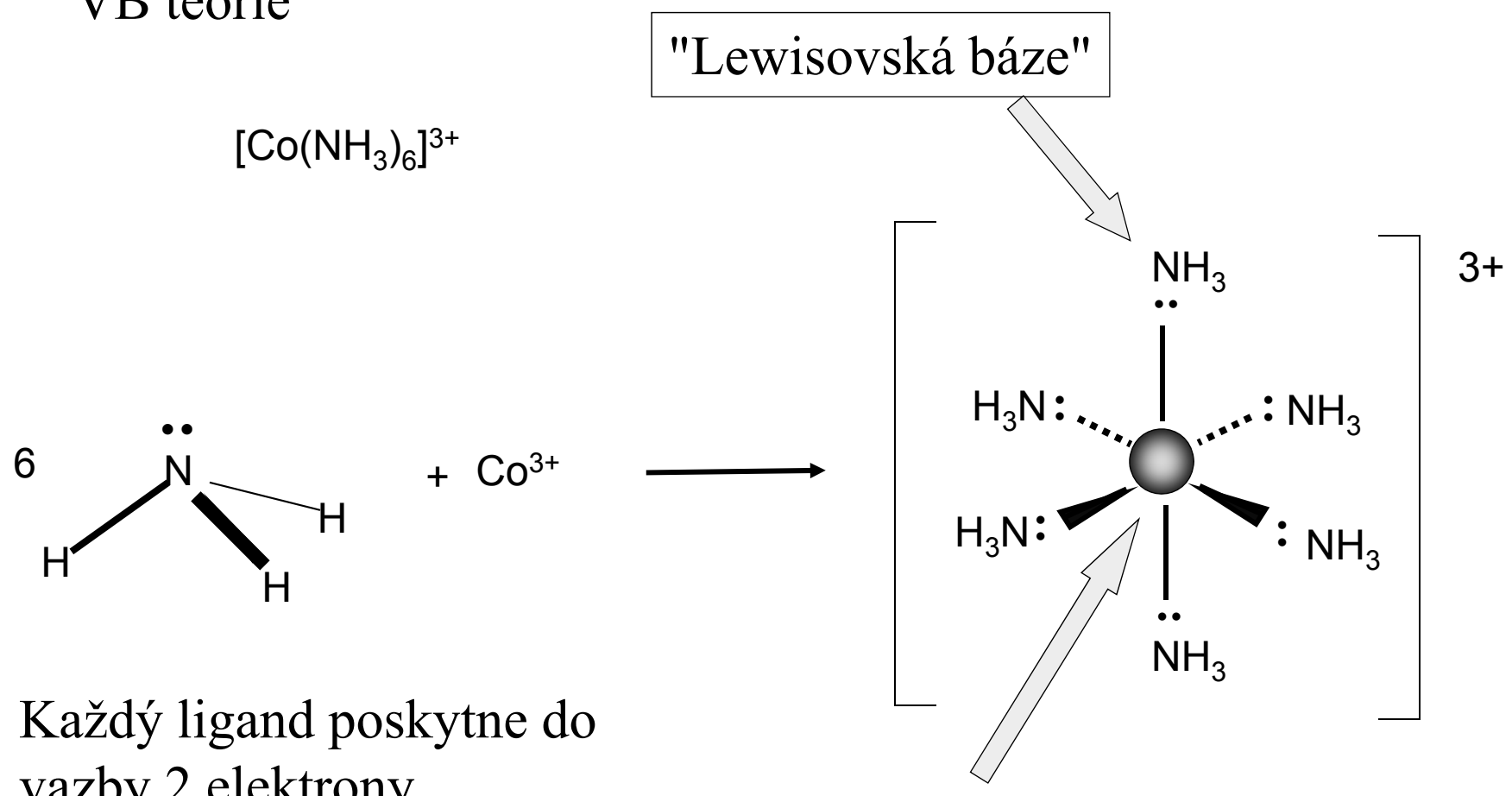


VB teorie



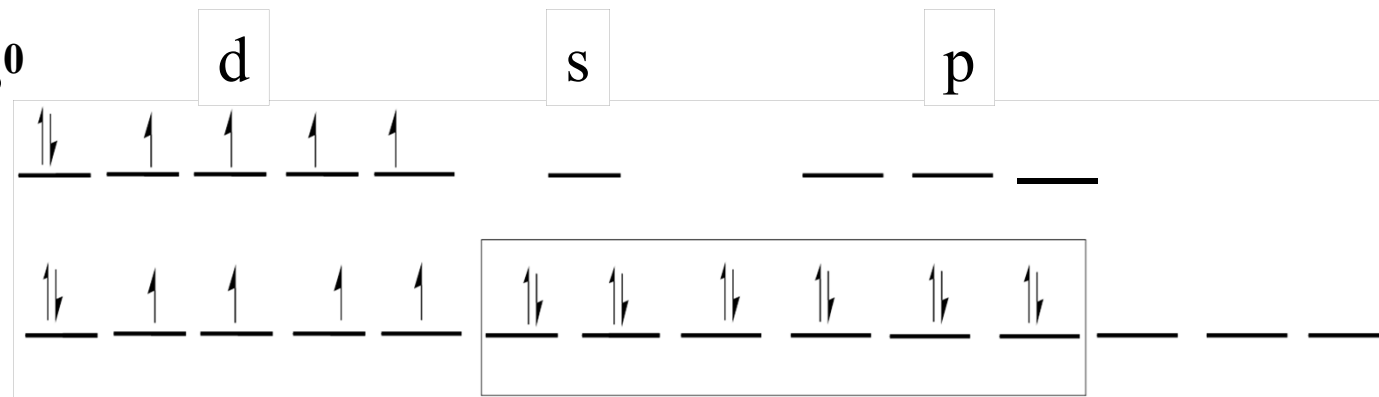
# Donor-akceptorová vazba

VB teorie



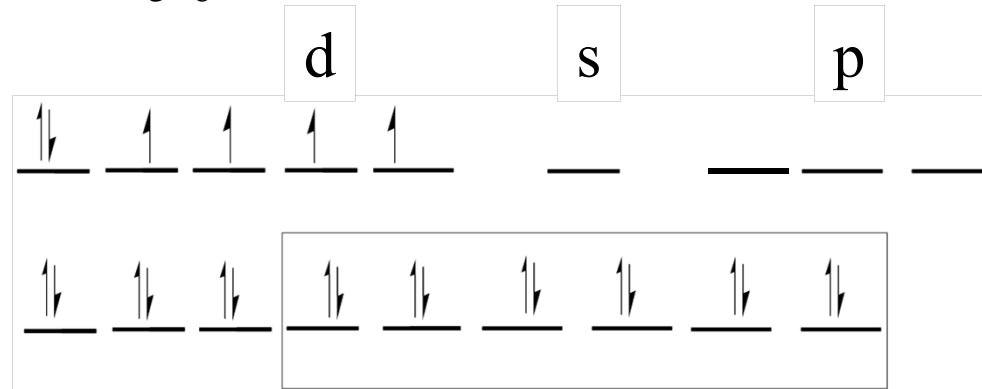
$\text{Co}^{3+}$  [Ar] 3d<sup>6</sup>4s<sup>0</sup>

$\text{CoF}_6^{3-}$



$\text{Co}^{3+}$  [Ar] 3d<sup>6</sup>4s<sup>0</sup>

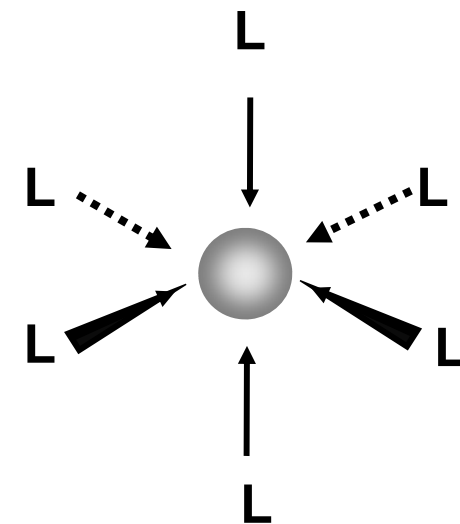
$\text{Co}(\text{NH}_3)_6^{3+}$



sp<sup>3</sup>d<sup>2</sup> hybridní orbitaly  
elektrony z F<sup>-</sup>, oktaedrický

d<sup>2</sup>sp<sup>3</sup> hybridní orbitaly

elektrony z NH<sub>3</sub>, oktaedrický

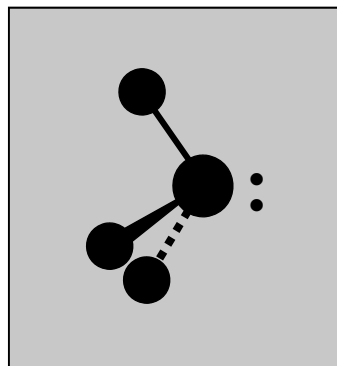


# Monodentátní ligandy

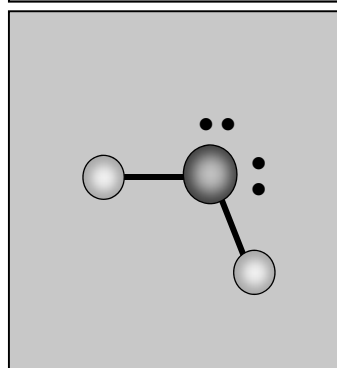
CO  
oxid uhelnatý



Ni(CO)<sub>4</sub>, Fe(CO)<sub>5</sub>, Mo(CO)<sub>6</sub>



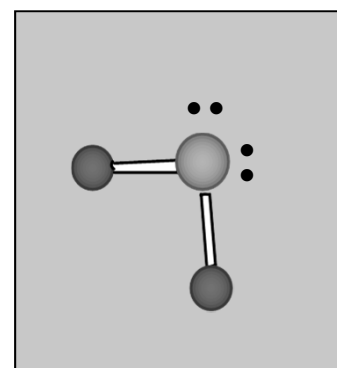
NH<sub>3</sub>  
amoniak



H<sub>2</sub>O  
voda

..

PPh<sub>3</sub>  
fosfan



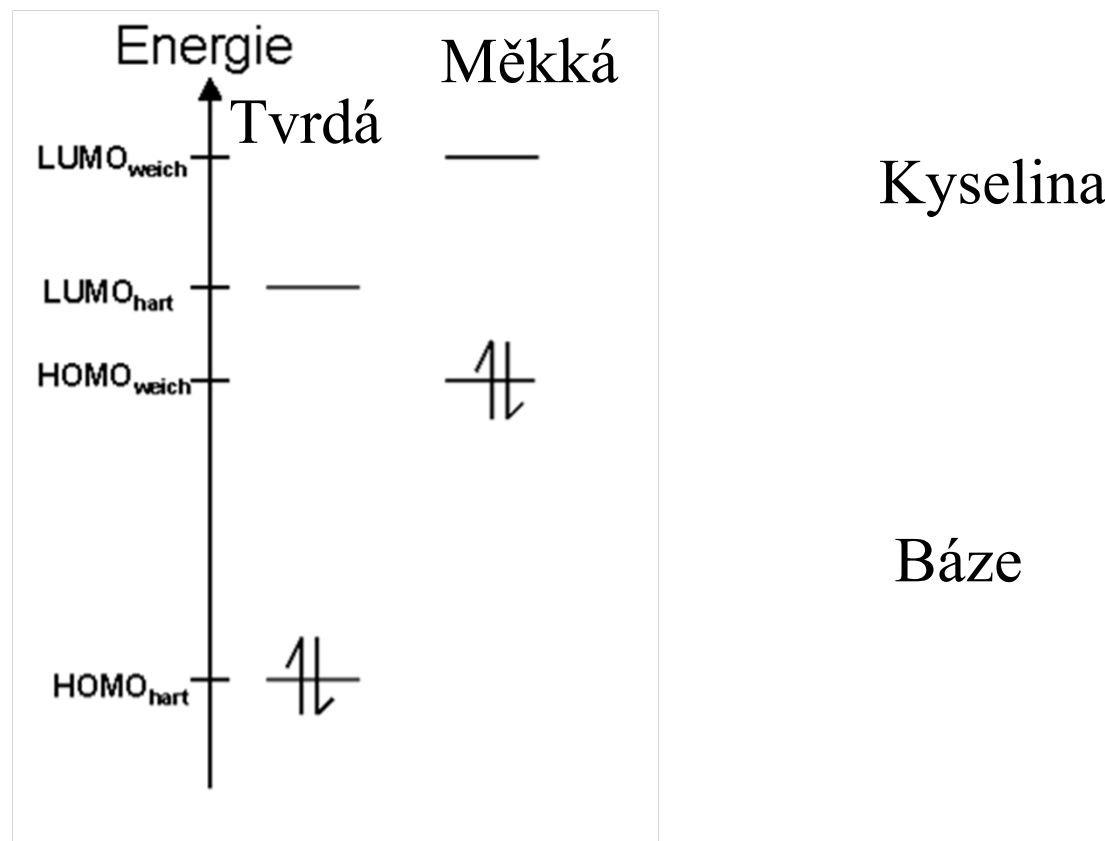
SR<sub>2</sub>  
thioether

# HSAB = Teorie tvrdých a měkkých kyselin a bazí

R. Pearson 1963

Vysoká oxidační čísla centrálního atomu jsou stabilizována  $\text{F}^-$ ,  $\text{O}^{2-}$

Nízká oxidační čísla jsou stabilizována  $\text{CO}$ ,  $\text{CN}^-$



Tvrďe donorní atomy



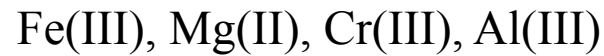
Malé donorní atomy

Silně elektronegativní

Málo polarizovatelné

stabilní komplexy

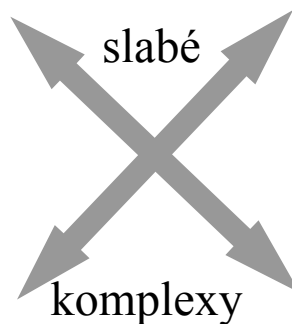
Tvrďe kovy



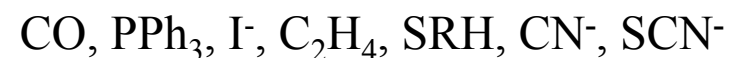
Malé atomy (1. přech. řada)

Vysoký náboj

## HSAB



Měkké donorní atomy



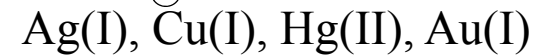
Velké donorní atomy

Málo elektronegativní

Snadno polarizovatelné

stabilní komplexy

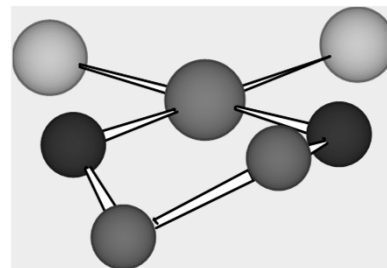
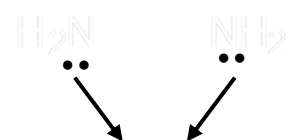
Měkké kovy



Velké atomy (2. a 3. přech. řada)

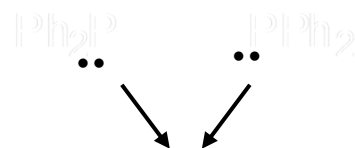
Malý náboj

# Neutrální bidentátní ligandy

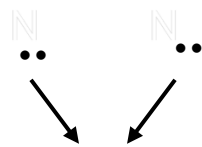


pětičlenný chelátový cyklus  
čtvercově planární komplex

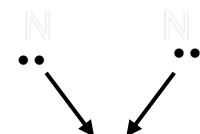
1,2-diaminoethan = ethylendiamin = en



1,2-difenylfosfinoethan  
dppe



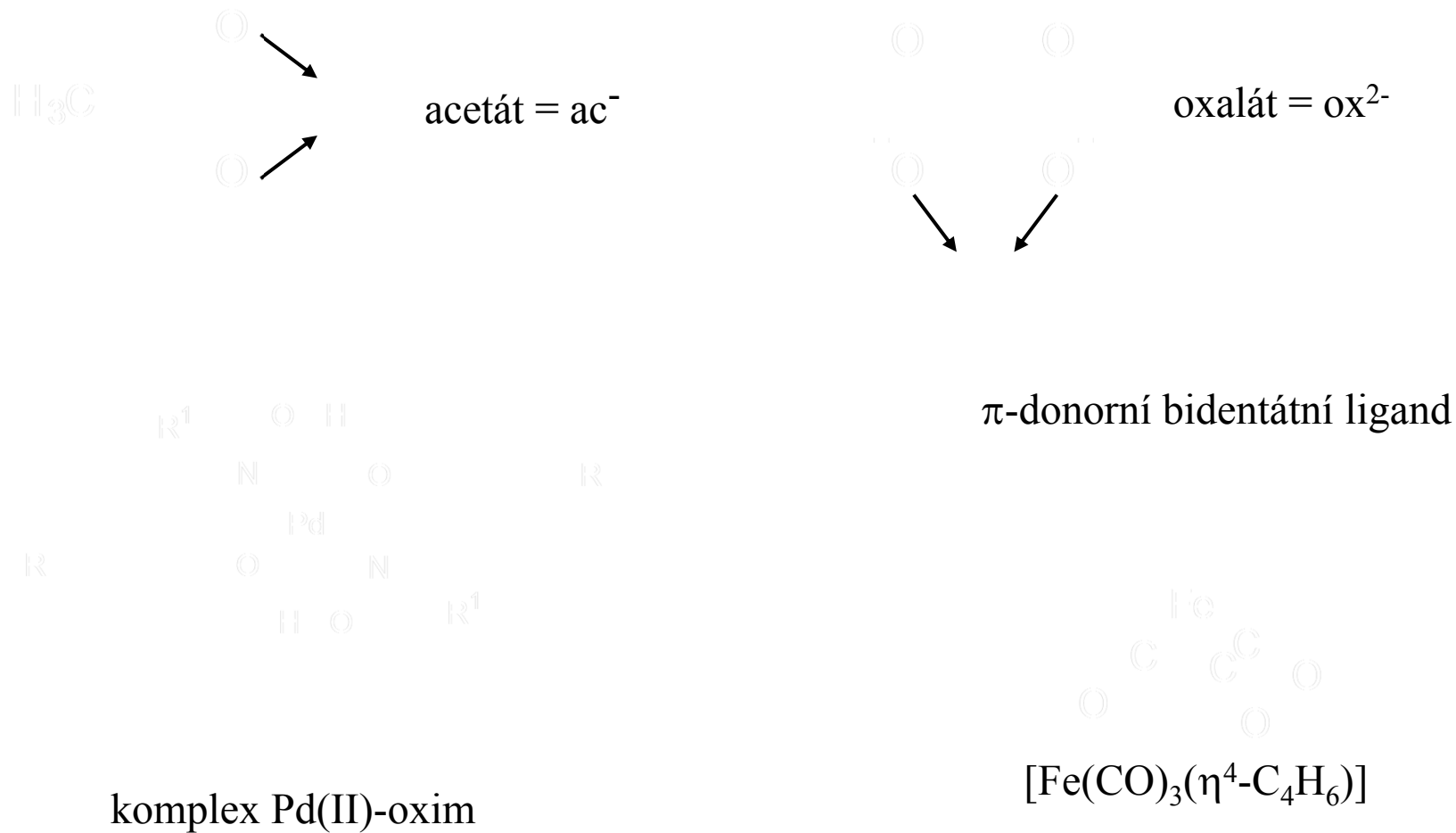
2,2'-bipyridin  
bipy



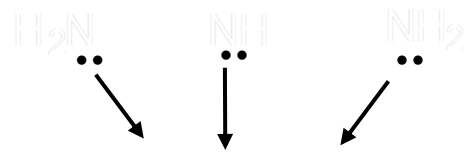
1,10-fenantrolin  
phen

Chelatace - ligandy jsou vázány velmi pevně k centrálnímu atomu

# Aniontové bidentátní ligandy

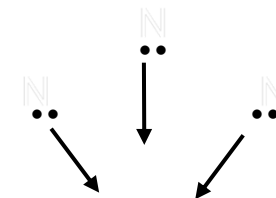


# Tridentátní ligandy



diethylentriamin

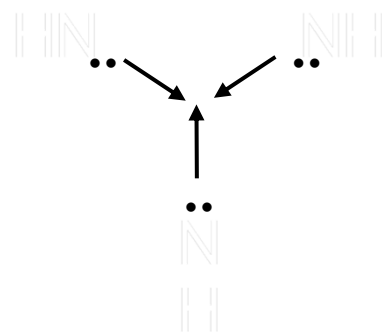
dien



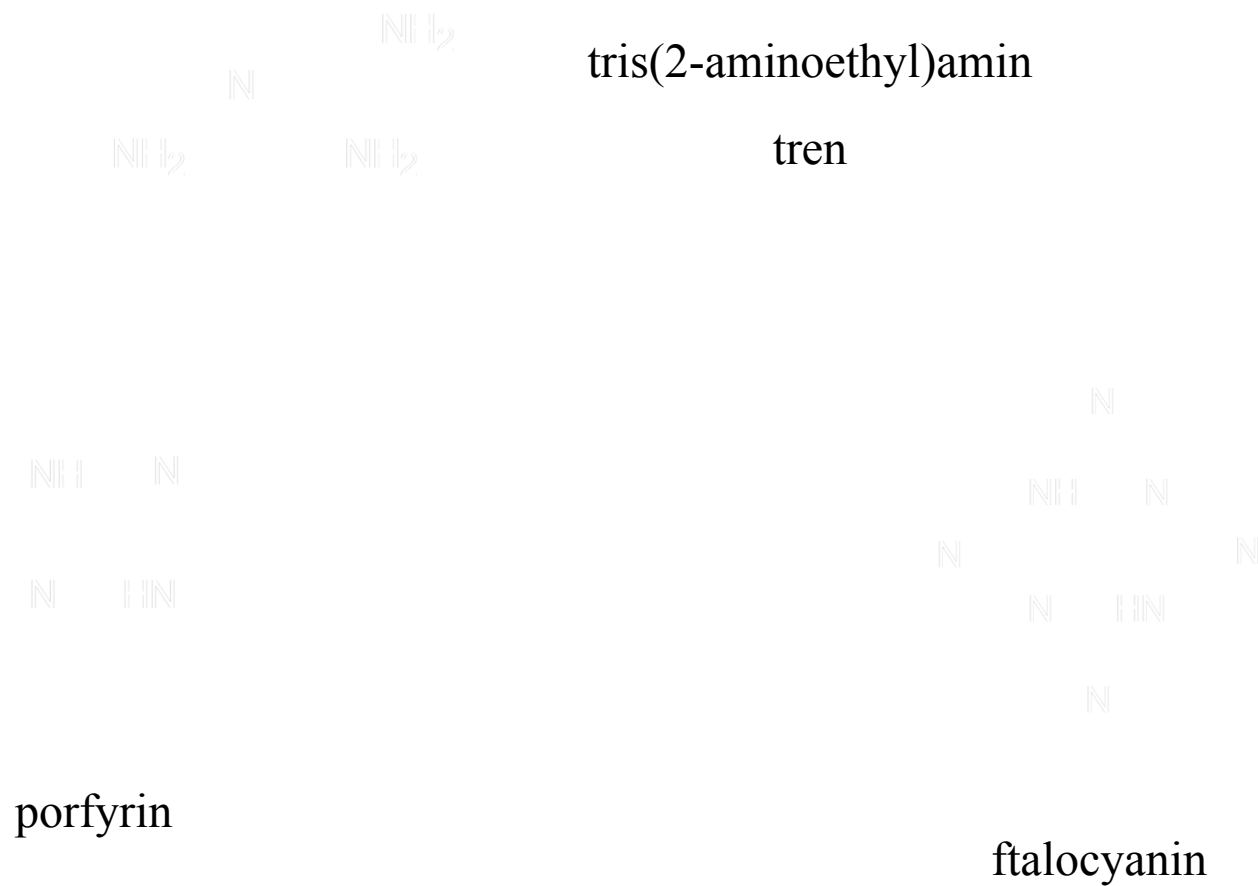
2,2':6',2"-terpyridin

tpy

1,2,4-triazacyklonanonan  
makrocyclický ligand



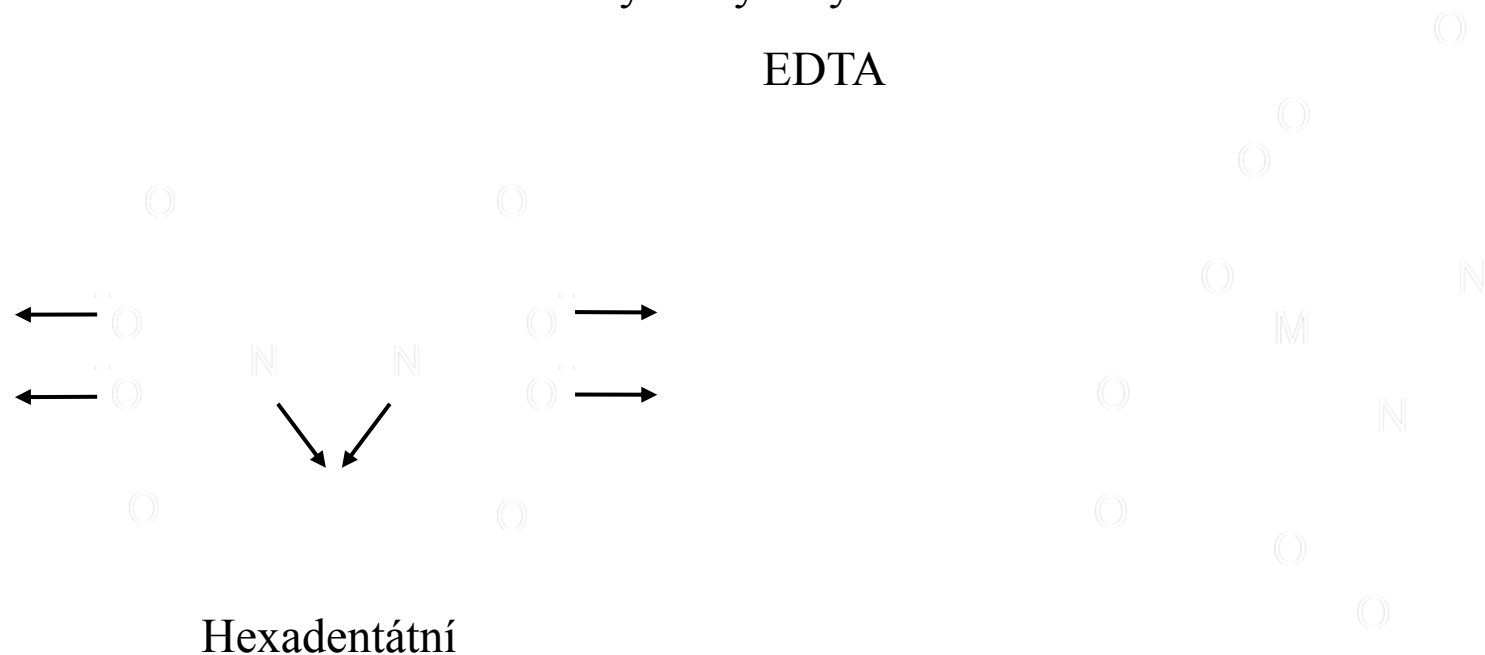
# Tetradentátní ligandy



# Multidentátní ligandy

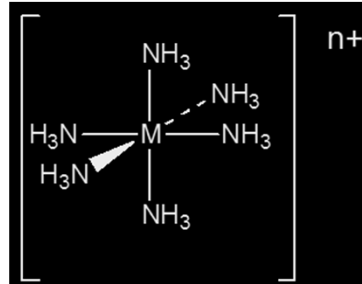
tetraanion kyseliny ethylendiamintetraoctové

EDTA

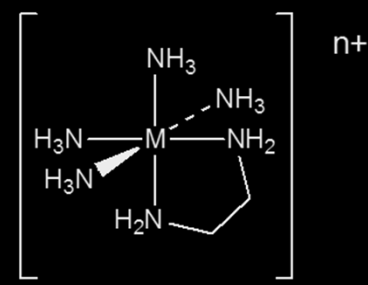


# Topologie komplexů

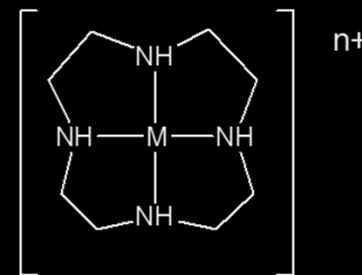
komplexace



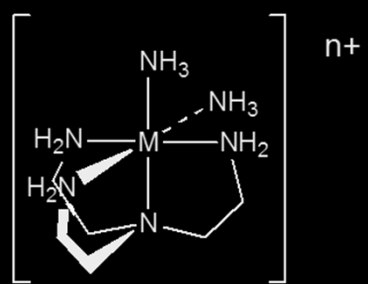
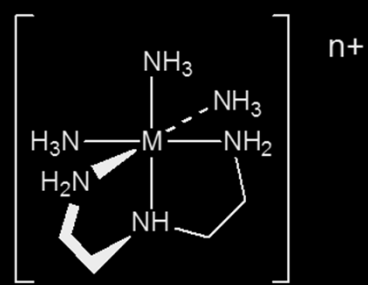
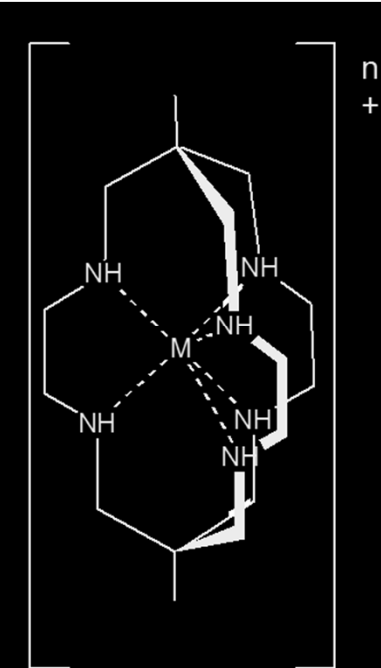
chelatace



makrocyclický efekt



kryptátový efekt



# Názvosloví komplexních sloučenin

$H_2O$	voda	<b>aqua-</b>
$NH_3$	amoniak	<b>ammin-</b>
$CO$	oxid uhelnatý	<b>karbonyl-</b>
$SO_4^{2-}$	síran	<b>sulfato-</b>
$S_2O_3^{2-}$	thiosíran	<b>thiosulfato-</b>
$PO_4^{3-}$	fosforečnan	<b>fosfato-</b>
$H_2PO_4^-$	dihydrogenfosforečnan	<b>dihydrogefosfato-</b>
$CH_3COO^-$	octan	<b>acetato-</b>
$C_2O_4^{2-}$	šťavelan	<b>oxalato-</b>
$(CH_3)_2N^-$	dimethylamid	<b>dimethylamido-</b>
$F^-$	fluorid	<b>fluoro-</b>
$O^{2-}$	oxid	<b>oxo-</b>
$OH^-$	hydroxid	<b>hydroxo-</b>
$O_2^{2-}$	peroxid	<b>peroxo-</b>
$HO_2^-$	hydrogenperoxid	<b>hydrogenperoxo-</b>
$H^-$	hydrid	<b>hydrido-</b>
$S^{2-}$	sulfid	<b>thio-</b>
$S_2^{2-}$	disulfid	<b>disulfido-</b>
$HS^-$	hydrogensulfid	<b>merkapto-</b>
$CN^-$	kyanid	<b>kyano-</b>
$SCN^-$	thiokyanatan	<b>thiokyanato-</b>

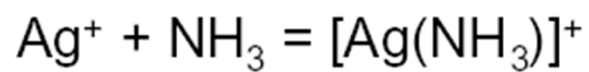
# Názvosloví komplexních sloučenin

$K_3[Fe(CN)_6]$	hexakyanoželezitan tridraselný (draselný)
$[Cr(en)_3]Cl_3$	chlorid tris(ethylendiamin)chromitý
$[Pt(NH_3)_4][PtCl_4]$	tetrachloroplatnatán tetraamminplatnatý
$[Co(NH_3)_3Cl_3]$	komplex triammin-trichlorokobaltitý
$[Ni(CO)_4]$	tetrakarbonyl niklu (nebo nikl)
$Na[Co(CO)_4]$	tetrakarbonylkobaltid(1-) sodný
$K_4[Ni(CN)_4]$	tetracyanonikl(4-) tetradraselný

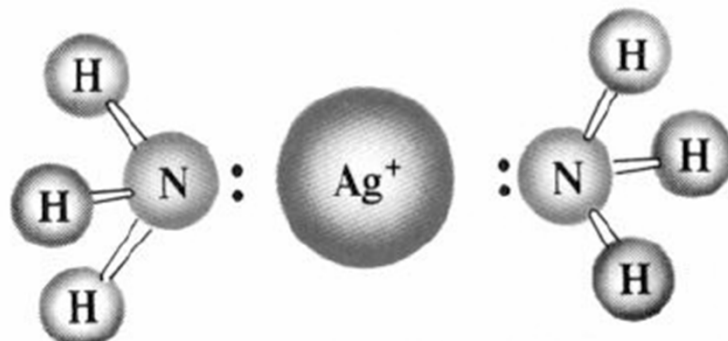
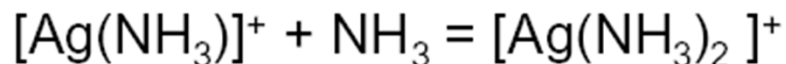
# Stabilita komplexů

Konstanta stability komplexu

= rovnovážná konstanta reakce tvorby komplexu



Vysoká hodnota K  
= stabilní komplex

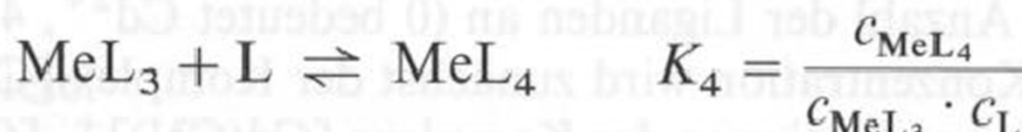
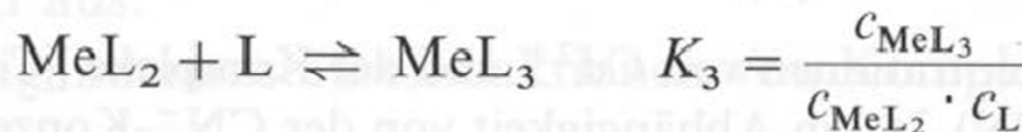
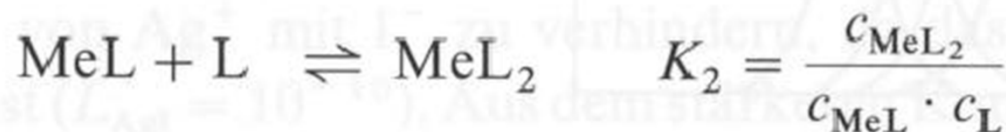
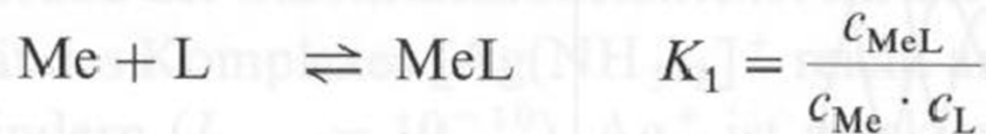


$$K_1 = \frac{[\text{AgNH}_3^+]}{[\text{Ag}^+][\text{NH}_3]}$$

$$K_2 = \frac{[\text{Ag}(\text{NH}_3)_2^+]}{[\text{AgNH}_3^+][\text{NH}_3]}$$

# Stabilita komplexů

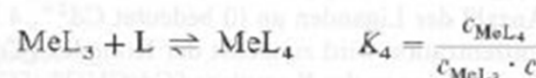
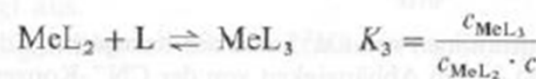
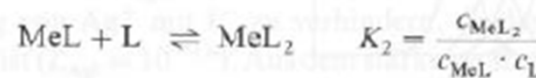
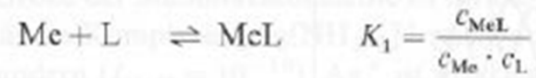
Konstanta stability komplexu  $ML_n$



$$K_1 > K_2 > K_3 \dots > K_n$$

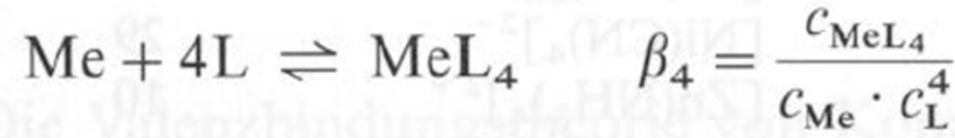
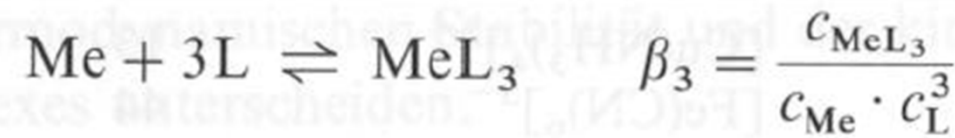
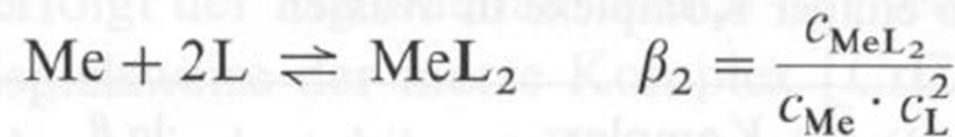
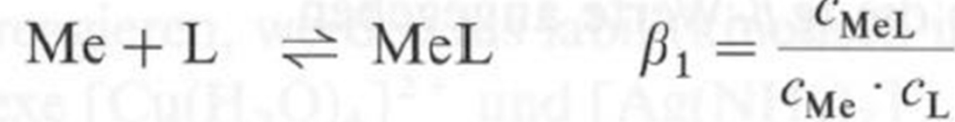
# Stabilita komplexů

Celková konstanta stability komplexu



$$\beta_n = K_1 \cdot K_2 \dots K_n$$

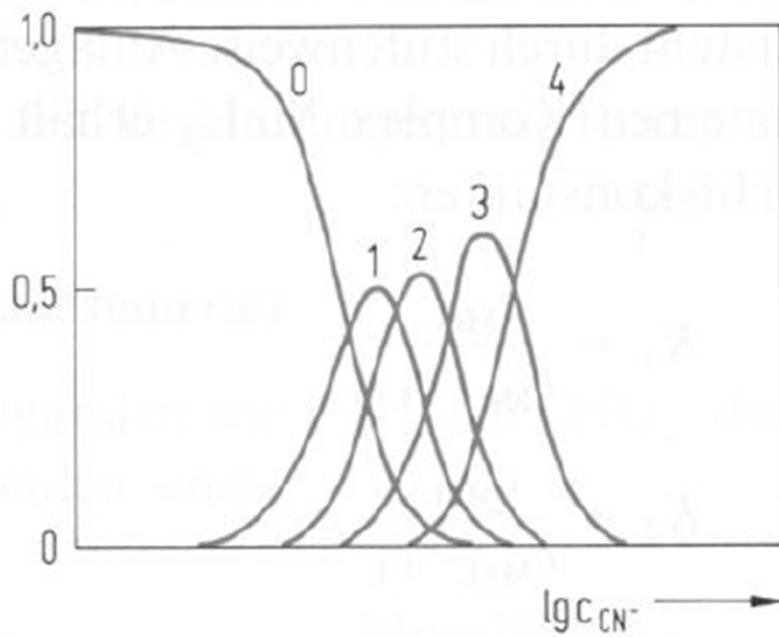
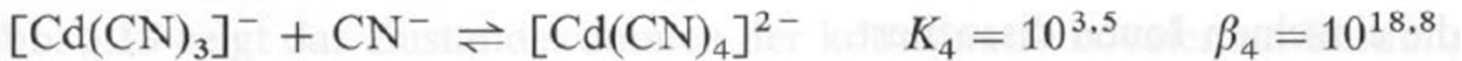
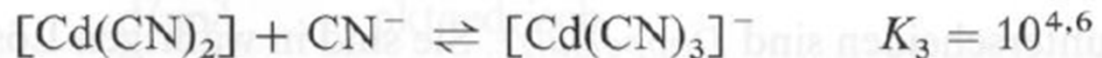
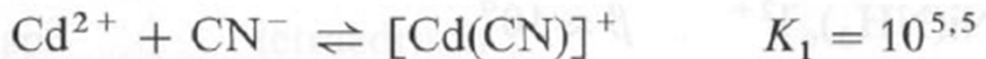
$$\beta_4 = K_1 \cdot K_2 \cdot K_3 \cdot K_4$$



# Stabilita komplexů

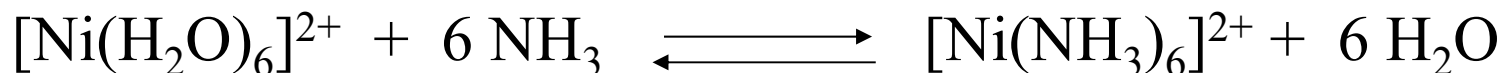
Komplex	$\lg \beta$	Komplex	$\lg \beta$
$[\text{Ag}(\text{NH}_3)_2]^+$	7	$[\text{Cu}(\text{NH}_3)_4]^{2+}$	13
$[\text{Ag}(\text{S}_2\text{O}_3)_2]^{3-}$	13	$[\text{Fe}(\text{CN})_6]^{3-}$	44
$[\text{Ag}(\text{CN})_2]^-$	21	$[\text{Fe}(\text{CN})_6]^{4-}$	35
$[\text{Au}(\text{CN})_2]^-$	37	$[\text{Ni}(\text{CN})_4]^{2-}$	29
$[\text{Co}(\text{NH}_3)_6]^{2+}$	5	$[\text{Zn}(\text{NH}_3)_4]^{2+}$	10
$[\text{Co}(\text{NH}_3)_6]^{3+}$	35	$[\text{Cu}(\text{CN})_4]^-$	27

# Stabilita komplexů

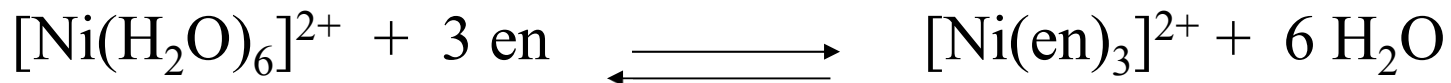


## Chelátový efekt

$$\log K = 8.61$$



$$\log K = 18.28$$



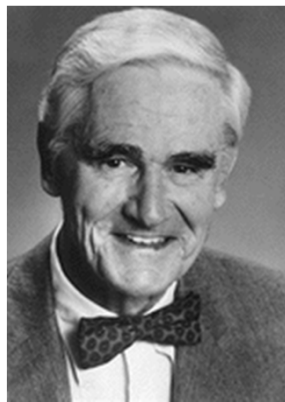
$$\Delta G = -RT \ln K = \Delta H - T\Delta S$$

$\Delta H$  stejná pro obě reakce ( $\text{Ni-O} \rightarrow \text{Ni-N}$ )

$\Delta S$  vysoká pro chelataci, vzniká více částic

# **Cheláty, makrocykly, kryptáty**

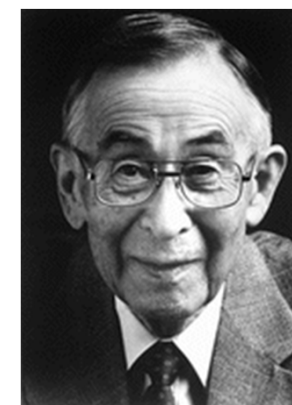
Nobelova cena za chemii 1987



**Donald J. Cram**



**Jean-Marie Lehn**

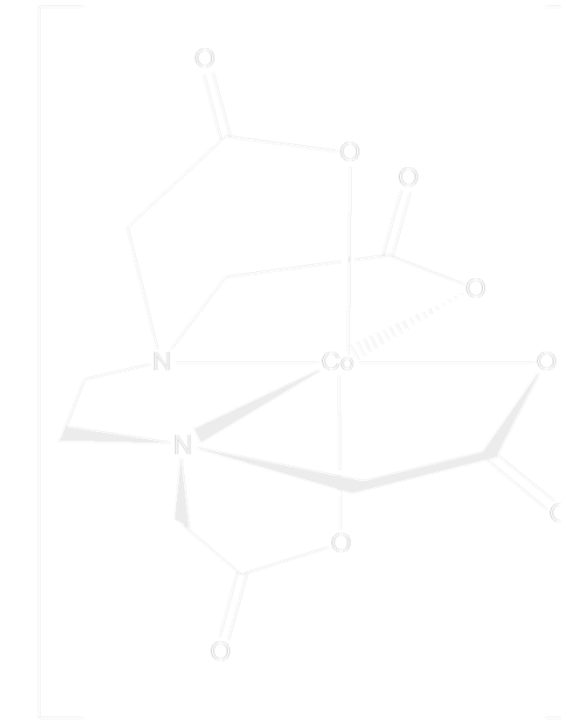


**Charles J. Pedersen**

# Cheláty, makrocykly, kryptáty

EDTA

kyselina ethylendiamintetraoctová



Chelatační terapie Pb otravy

Chelatometrie

Rozpouští  $\text{CaCO}_3$

# Cheláty, makrocykly, kryptáty

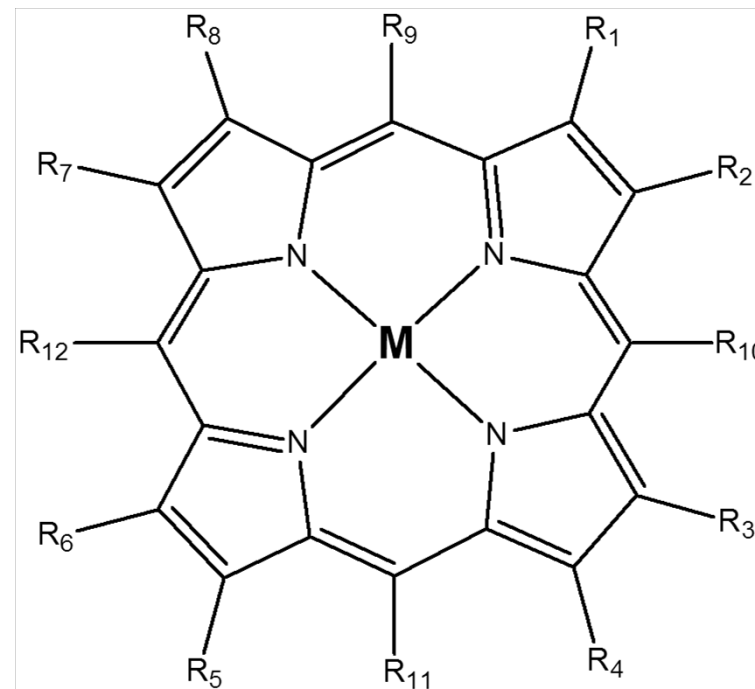
Metaloporfyriny:

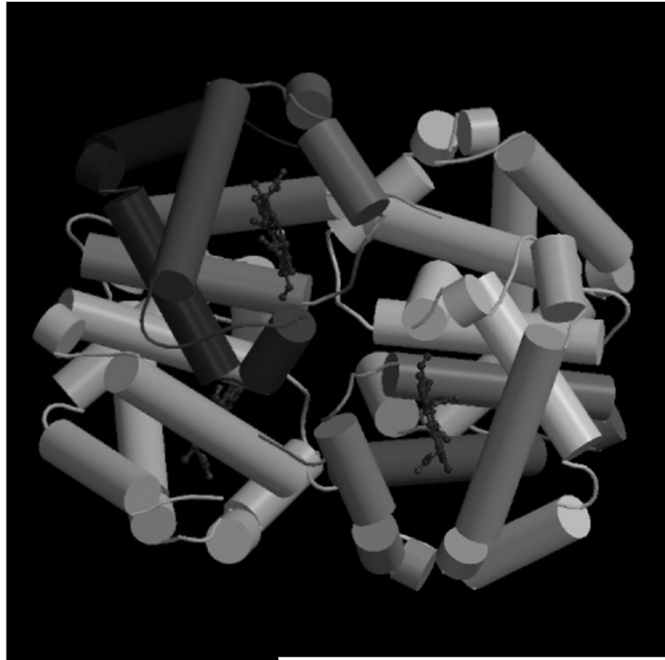
M

Fe (hem, cytochrom c)

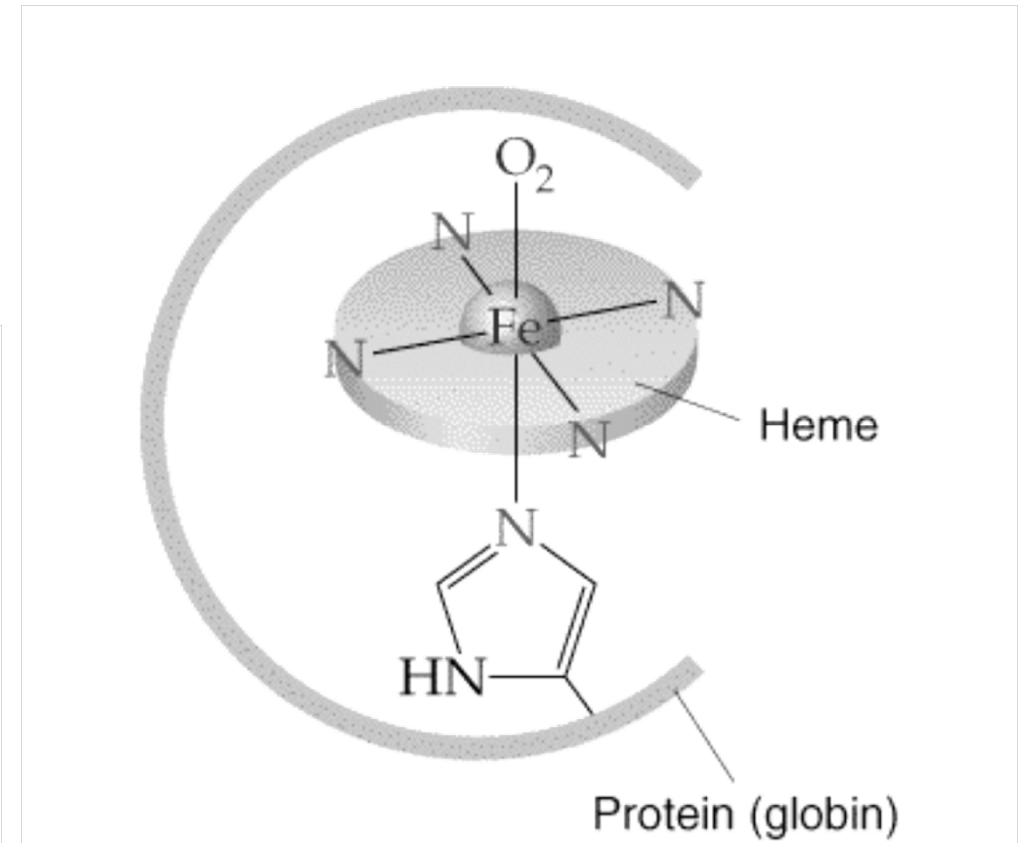
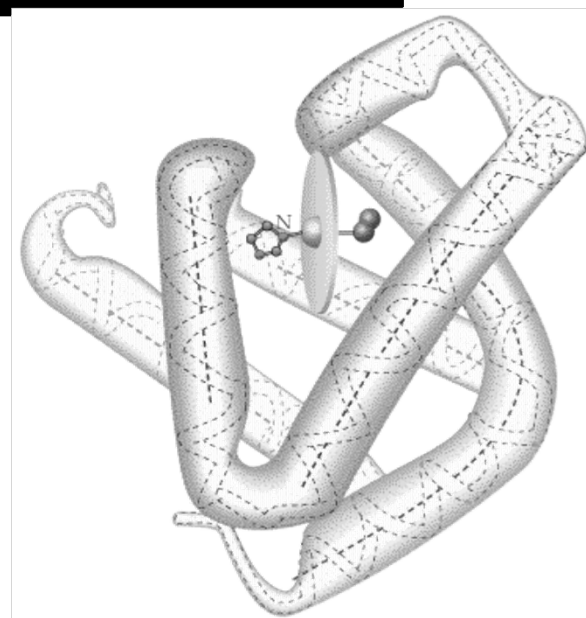
Mg (chlorofyl)

Co (B<sub>12</sub>)





# Hemoglobin



# **Tvary komplexních molekul a iontů**

Prvky hlavních skupin

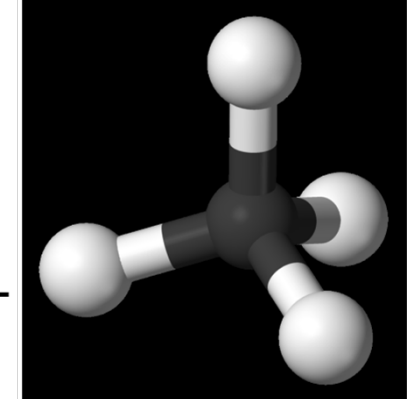
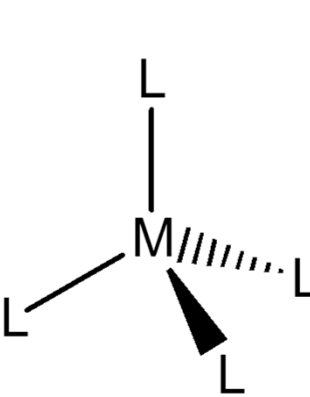
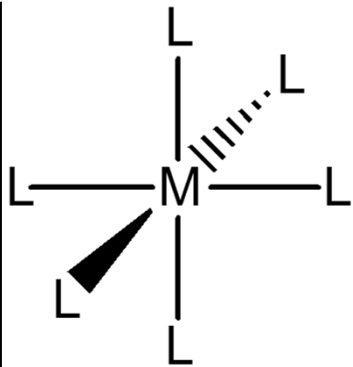
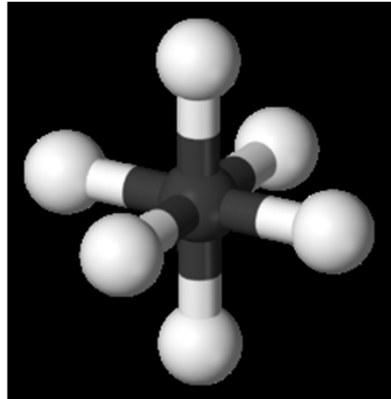
a přechodné prvky s  $d^0$  nebo  $d^{10}$       >>> **VSEPR**

(kulově symetrické rozložení d-elektronové hustoty)

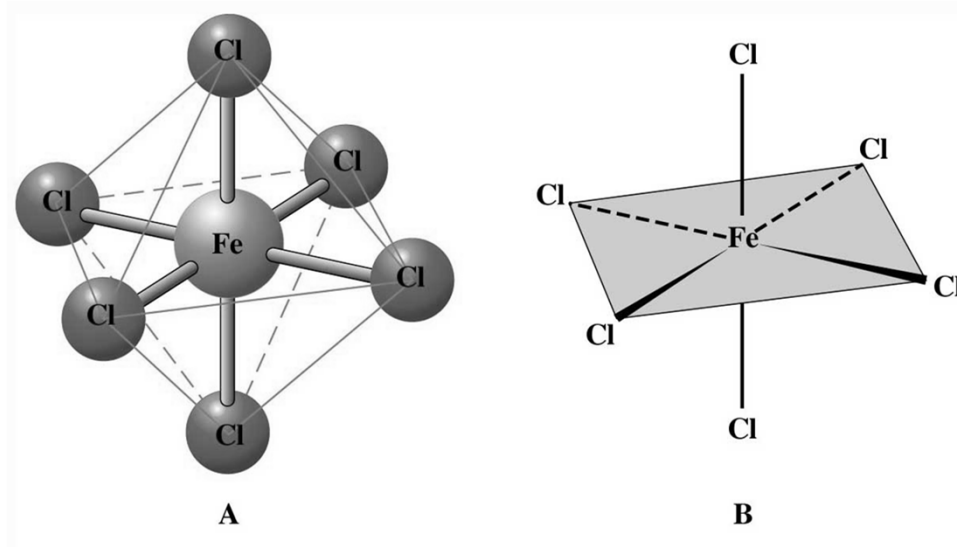
Přechodné prvky s  $d^n$     >>>>>> **Teorie ligandového pole**

(Nelze VSEPR - nesymetrické rozložení d-elektronové hustoty)

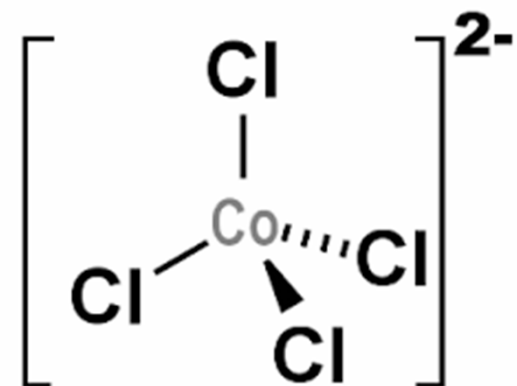
## Nejdůležitější tvary komplexních částic



Oktaedrické komplexy  $O_h$



Tetraedrické komplexy  $T_d$

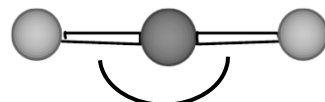


# Nejdůležitější tvary komplexních částic

## Koordinační číslo 2

Cu(I), Ag(I), Au(I), Hg(II)

180°

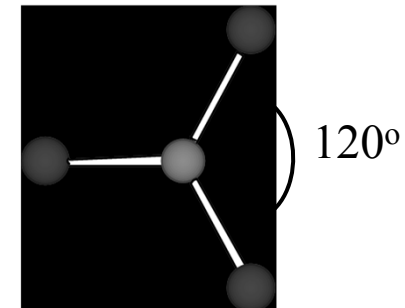
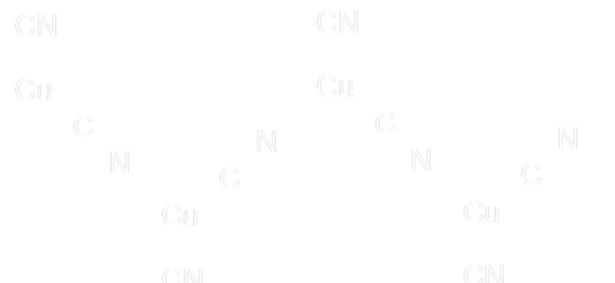


lineární



## Koordinační číslo 3

trigonálně planární

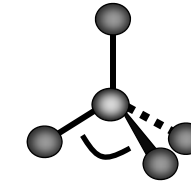


## Nejdůležitější tvary komplexních částic

Tetraedrický

$109^\circ 28'$

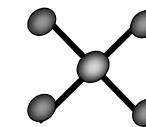
C.N. 4



Čtvercově planární

$90^\circ$

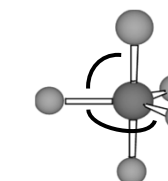
C.N. 4



Trigonálně bipyramidální

$120^\circ + 90^\circ$

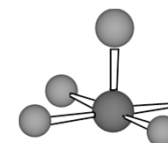
C.N. 5



Čtvercově pyramidální

$90^\circ$

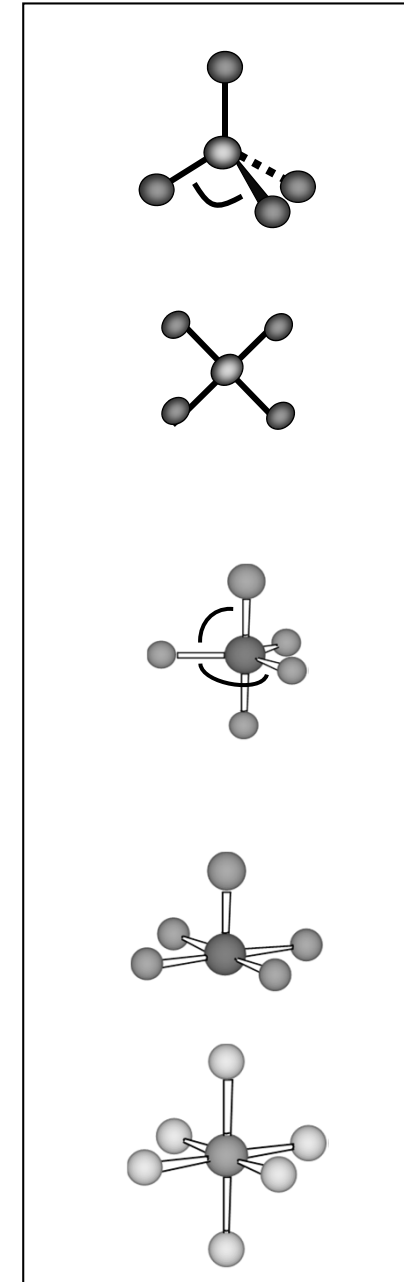
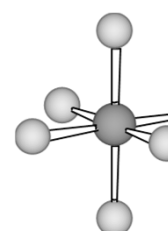
C.N. 5



Oktaedrický

$90^\circ$

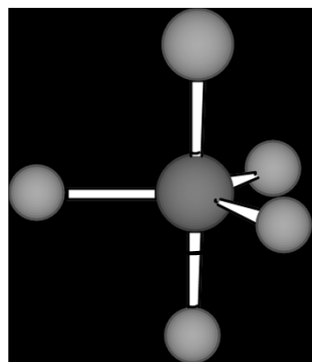
C.N. 6



# Nejdůležitější tvary komplexních částic

Koordinační číslo 5

Trigonálně bipyramidální

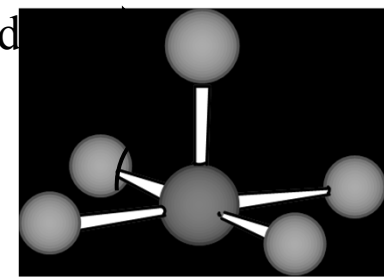


axiální ligandy

ekvatoriální ligandy

Čtvercově pyramidální

apikální ligand



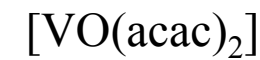
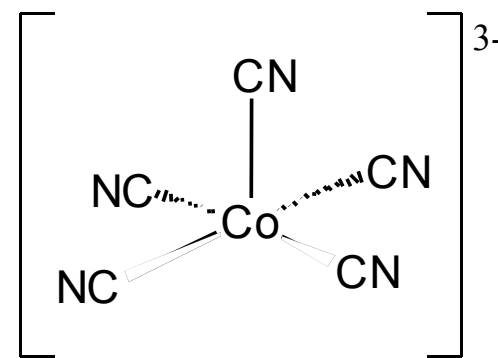
bazální ligandy

Tyto dvě struktury mají velmi podobnou energii

## Trigonálně bipyramidální



## Čtvercově pyramidální



# **Izomerie komplexních sloučenin**

## **Konstituční (strukturní) izomerie**

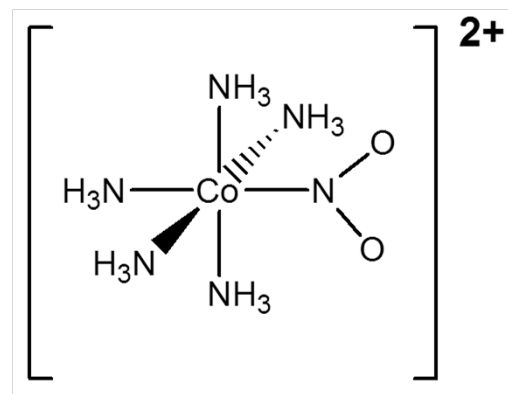
Vazebná  
Koordinační  
Ionizační

## **Prostorová (stereo) izomerie**

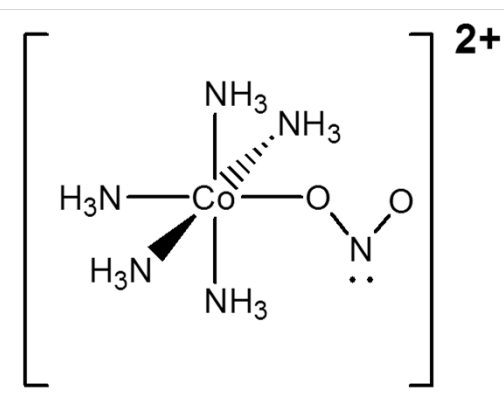
Geometrická  
Optická

# Konstituční (strukturní) izomerie

Vazebná:  $\text{SCN}^-$ ,  $\text{NO}_2^-$ ,  $\text{OCN}^-$



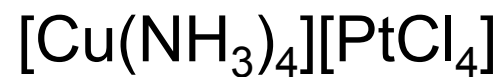
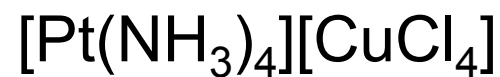
nitro-



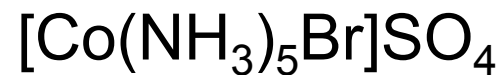
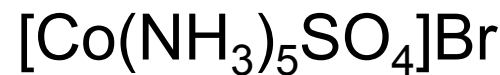
nitrito-

## Konstituční (strukturní) izomerie

Koordinační:

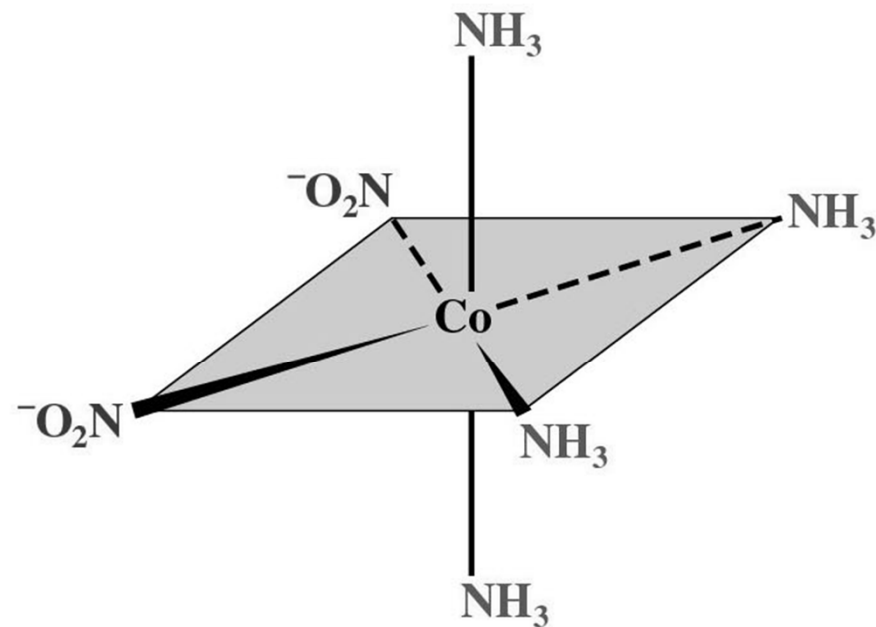


Ionizační:

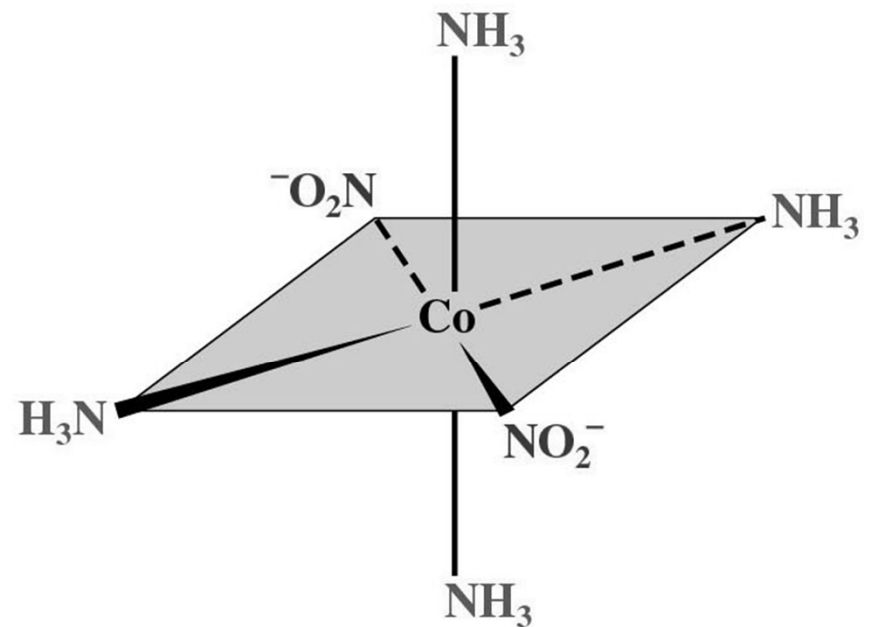


# Prostorová (stereo) izomerie

Geometrická: cis-trans, diastereomery



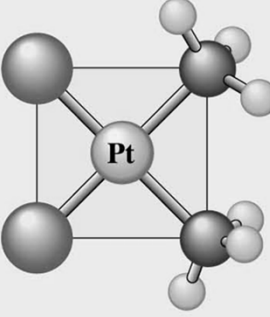
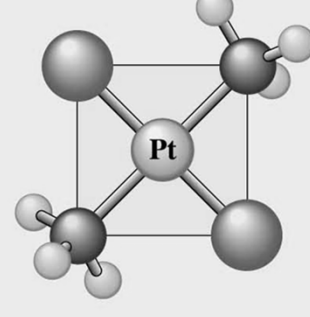
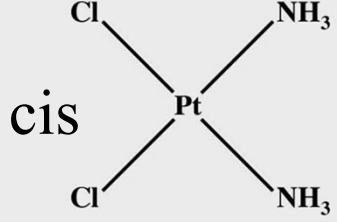
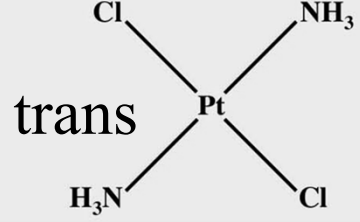
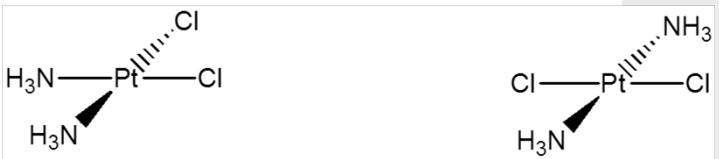
*cis*



*trans*

# Prostorová (stereo) izomerie

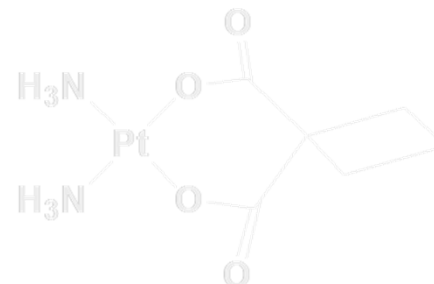
Geometrická:  
cis-trans,  
diastereomery

	<i>cis</i>	<i>trans</i>
Ball-and-stick model		
Structural formula		
		
Color	Orange-yellow	Pale yellow
Solubility	0.252 g/100 g H <sub>2</sub> O	0.037 g/100 g H <sub>2</sub> O

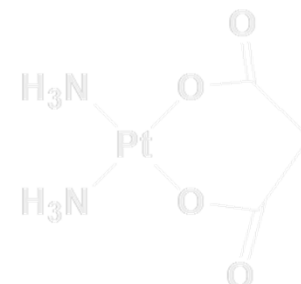
# Protinádorové léky



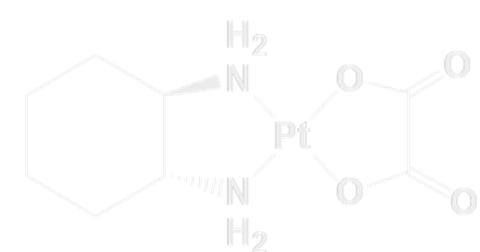
Cisplatin



Carboplatin

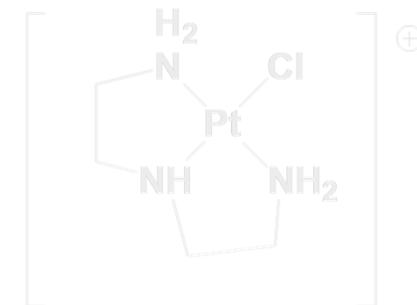


Nedaplatin



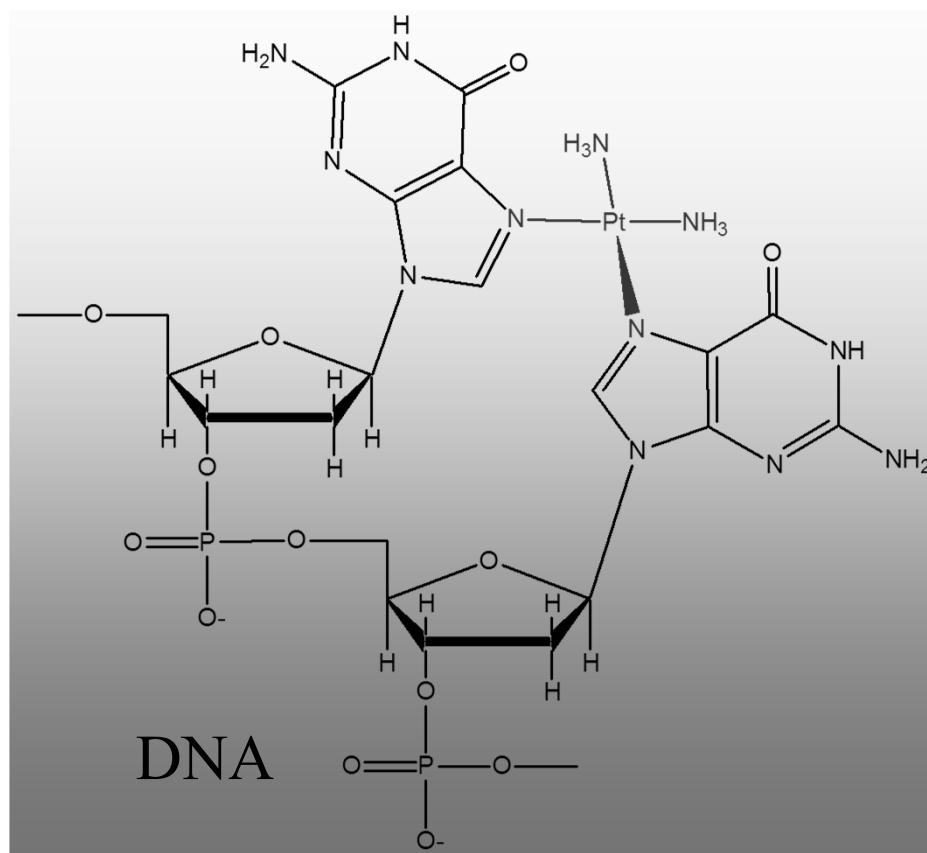
Oxaliplatin

## Neaktivní látky



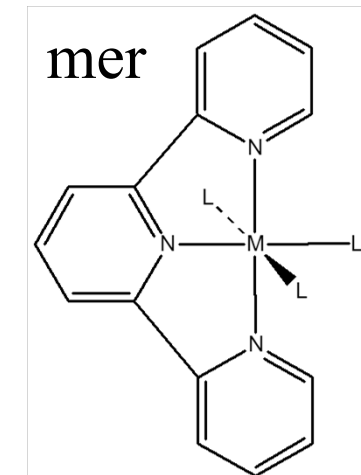
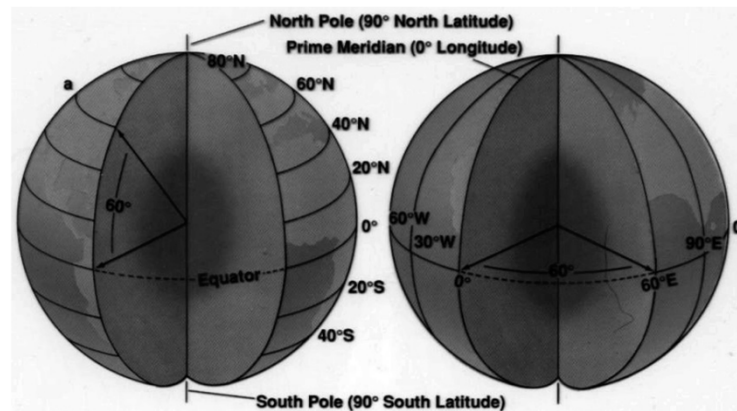
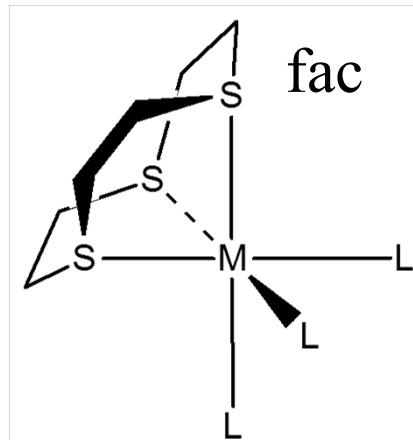
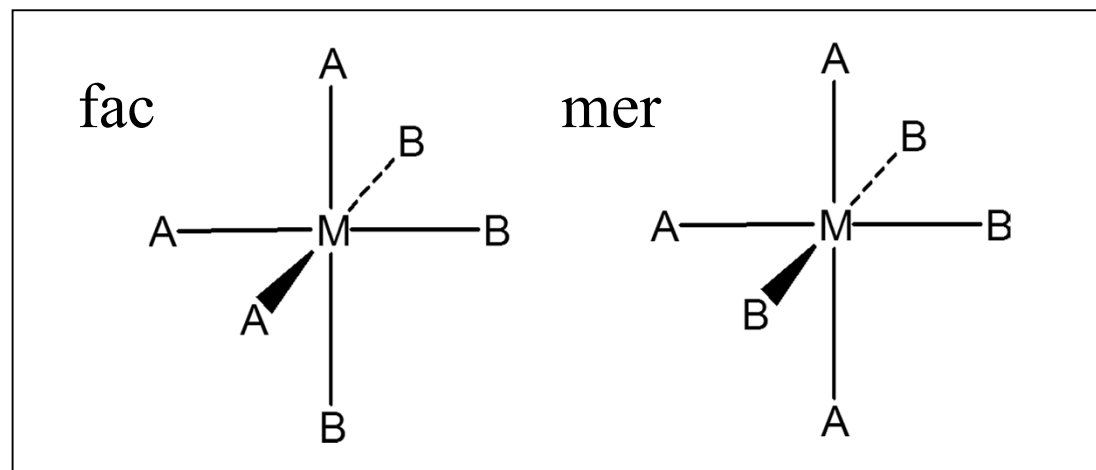
# Prostorová (stereo) izomerie

Cisplatina = kancerostatikum



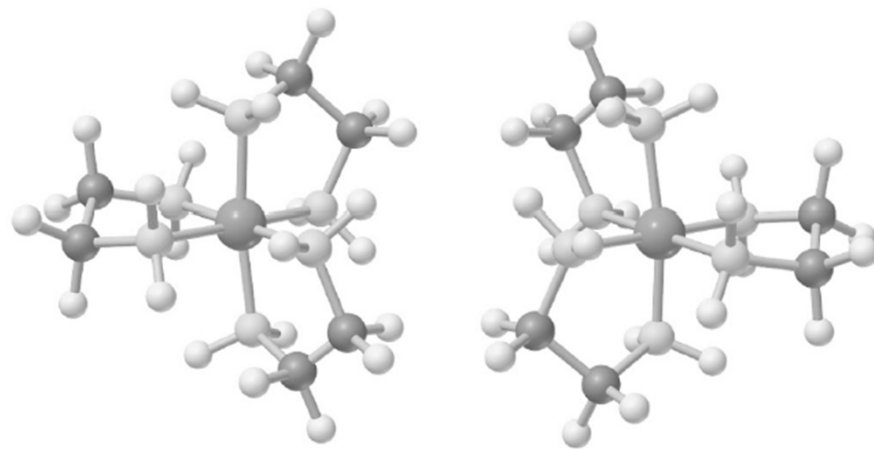
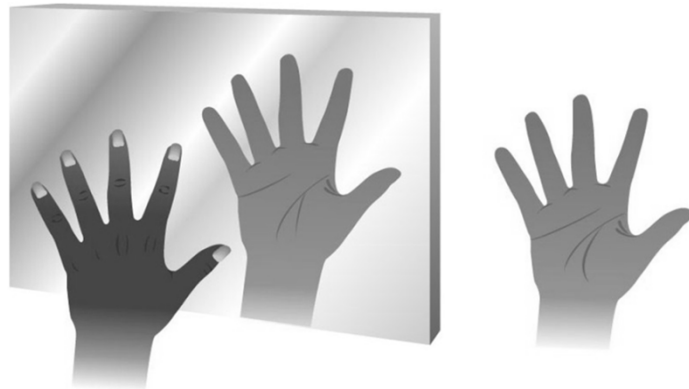
# Prostorová (stereo) izomerie

Geometrická: mer-fac, diastereomery

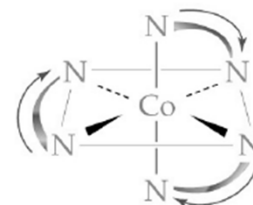


# Prostorová (stereo) izomerie

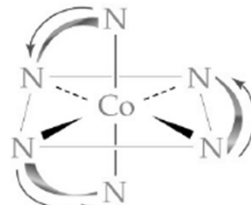
Optická izomerie - chiralita - enanciomery



Mirror



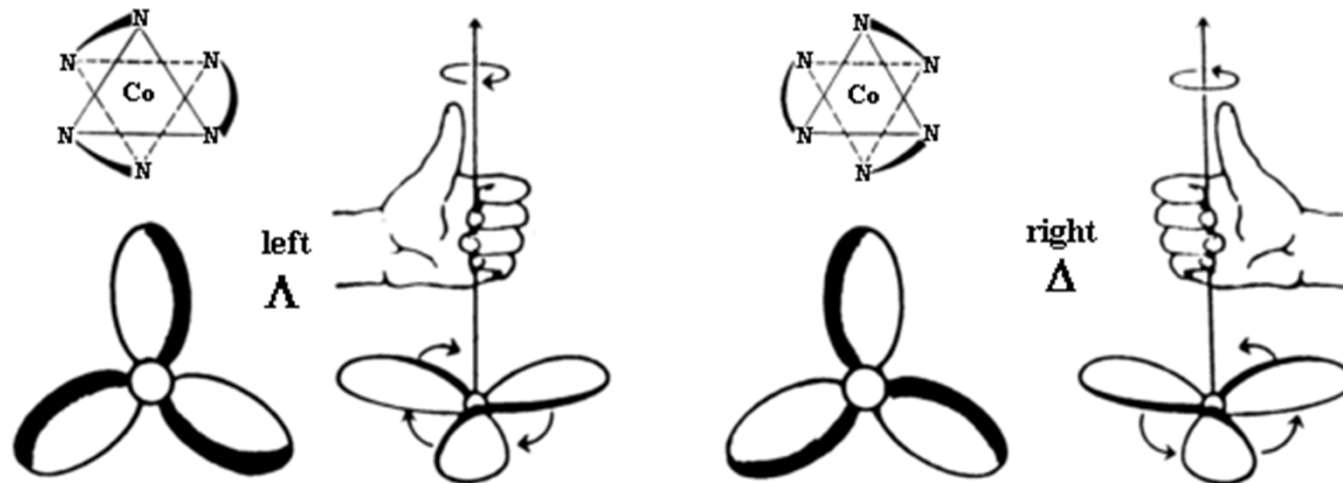
"Right-handed"  
 $[\text{Co}(\text{en})_3]^{3+}$



"Left-handed"  
 $[\text{Co}(\text{en})_3]^{3+}$

# Prostorová (stereo) izomerie

Optická: enanciomery

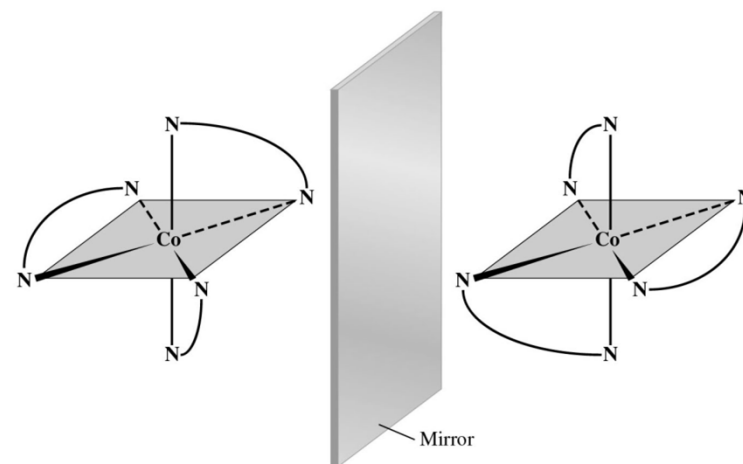


Chiralita

Molekula nemá  $S_n$

$S_1$  = rovina symetrie

$S_2$  = střed symetrie



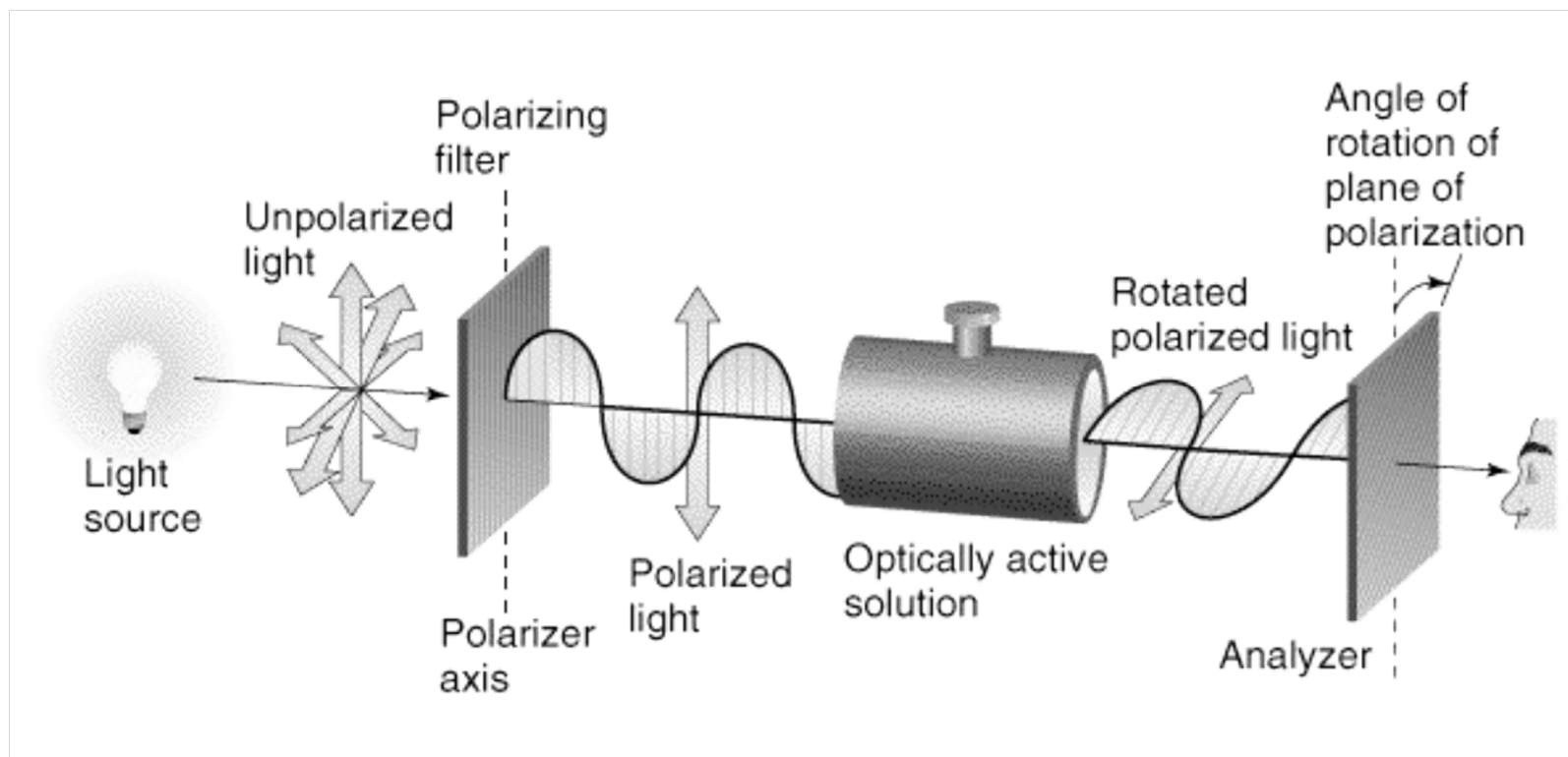
# Optická rotace

Nepolarizované světlo – šíření vln s vektory el. pole v mnoha směrech

Polarizované světlo – filtrem vybrán jen jeden směr

Opticky aktivní látka stáčí rovinu polarizovaného světla o určitý úhel

Měření úhlu stočení analyzátorem – druhý filtr



## **Popis vazby v komplexech**

1) VB

2) Teorie krystalového pole (CFT = Crystal Field Theory)

1929, Hans Bethe Čistě elektrostatické interakce mezi ligandy a kovem

3) Teorie ligandového pole (LFT = Ligand Field Theory)

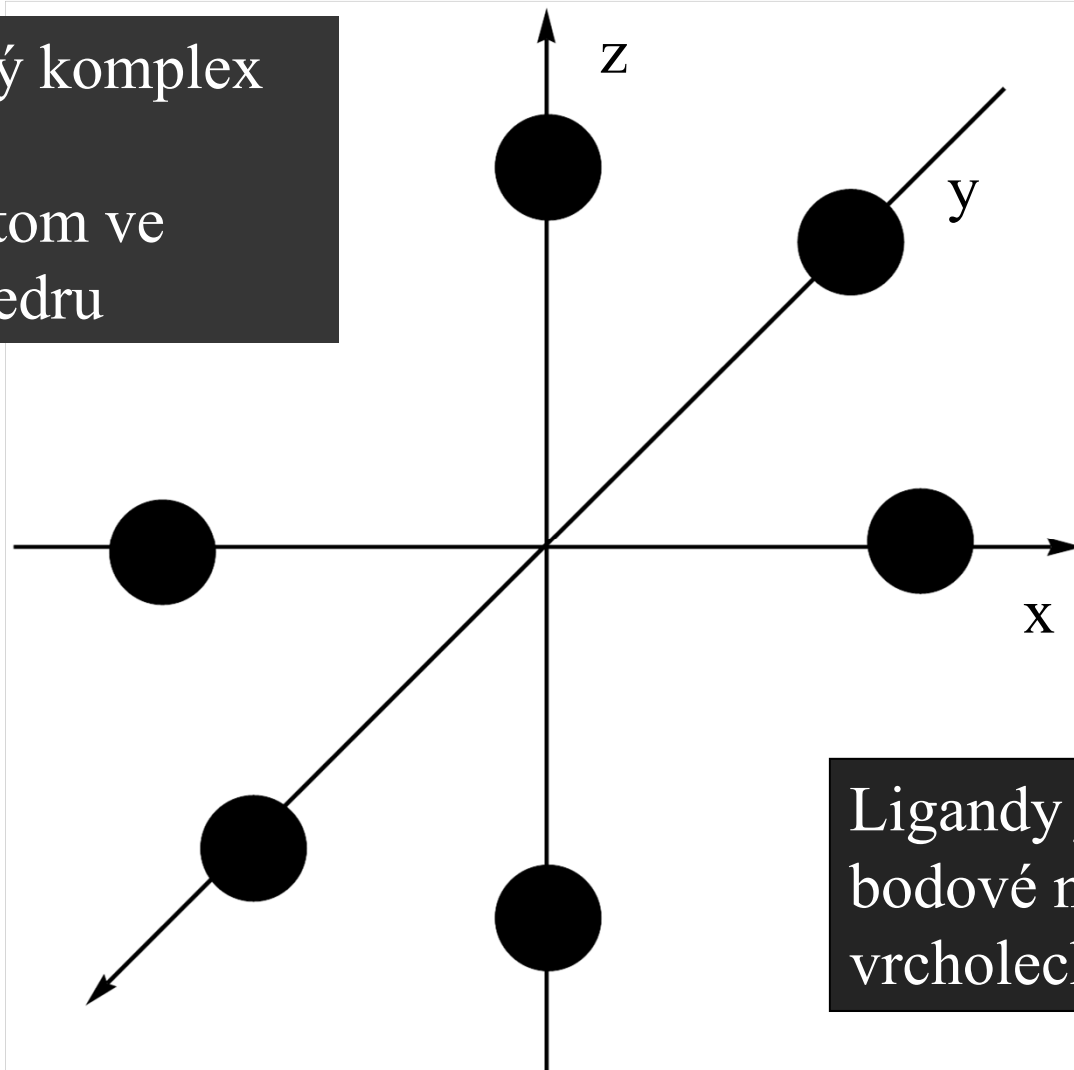
1935, modifikace J. H. Van Vleck Podíl kovalence

4) MO

# Teorie ligandového pole

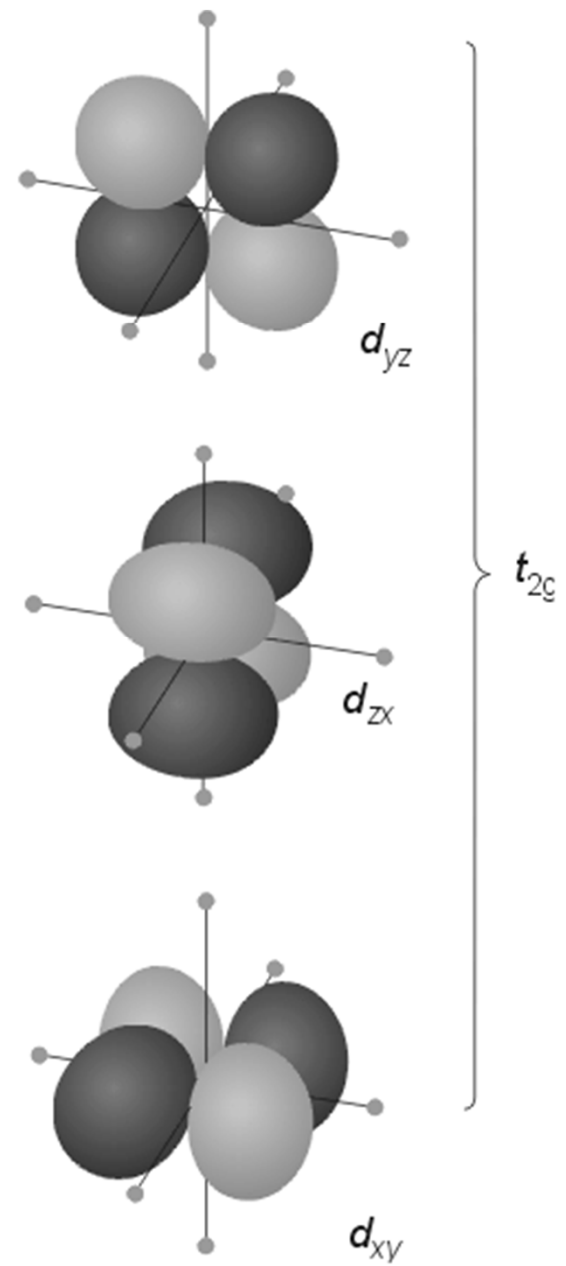
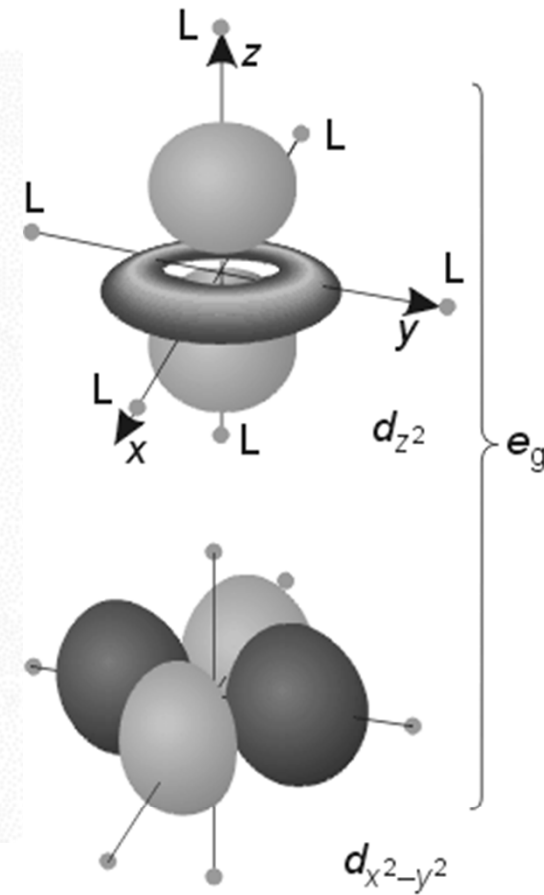
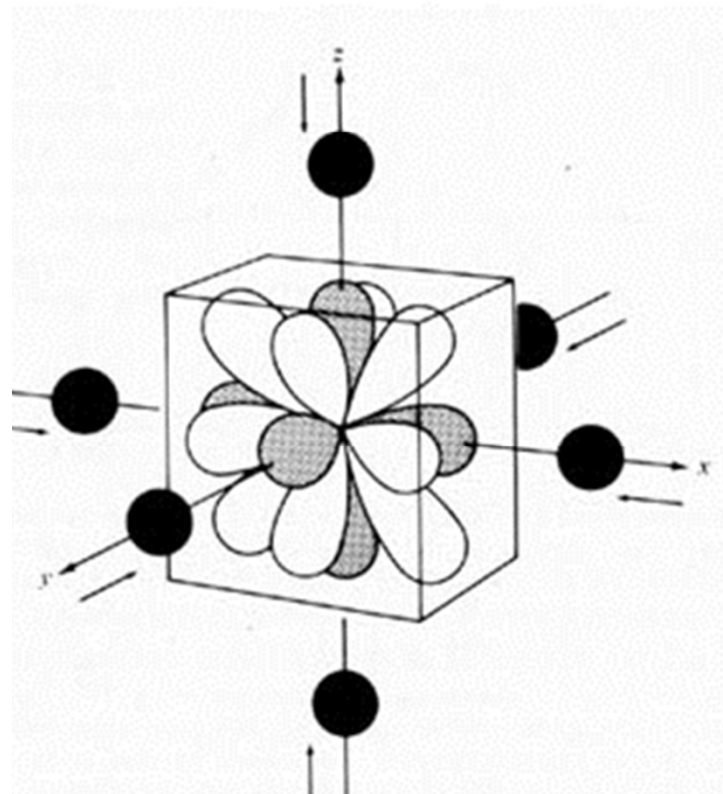
Oktaedrický komplex

Centrální atom ve  
středu oktaedru

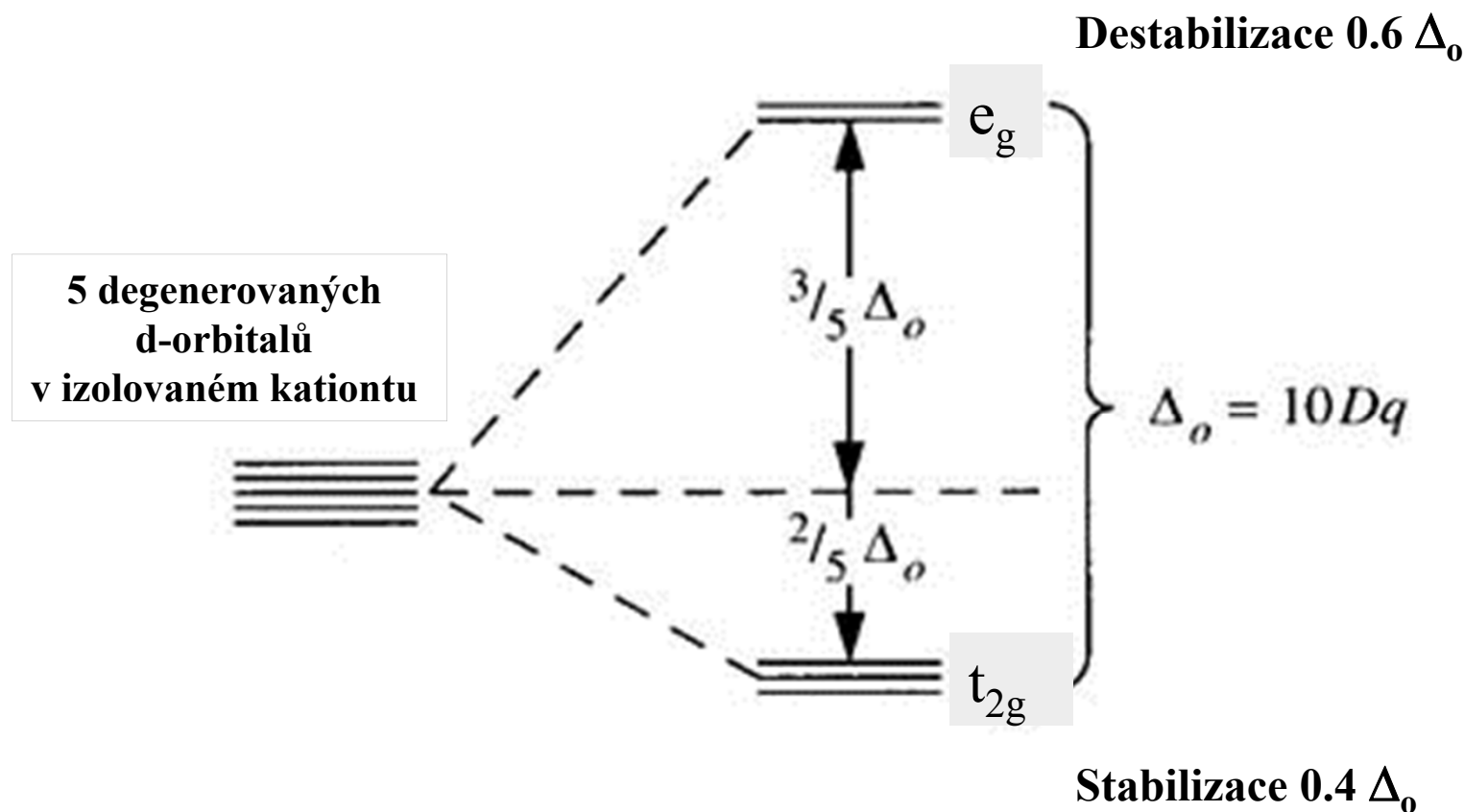


Ligandy jako záporné  
bodové náboje ve  
vrcholech oktaedru

# d-orbitaly v oktaedrickém poli ligandů

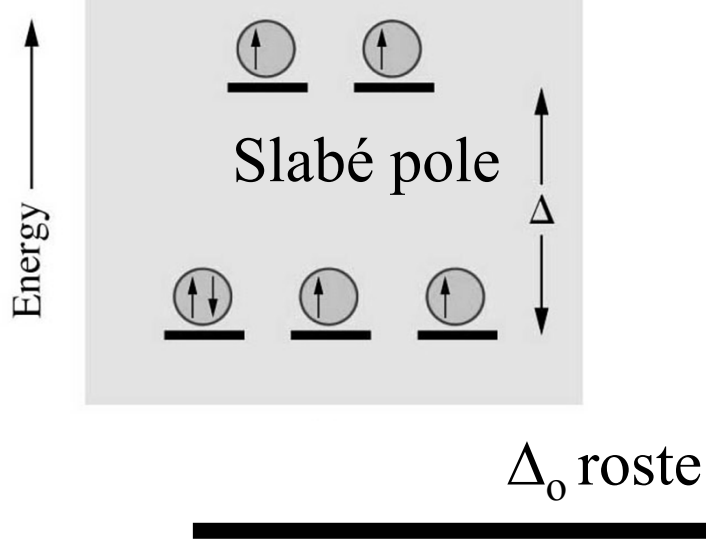


# Rozštěpení d-hladin v $O_h$ poli



# Stabilizační energie ligandového pole, CFSE

## Vysokospinové komplexy

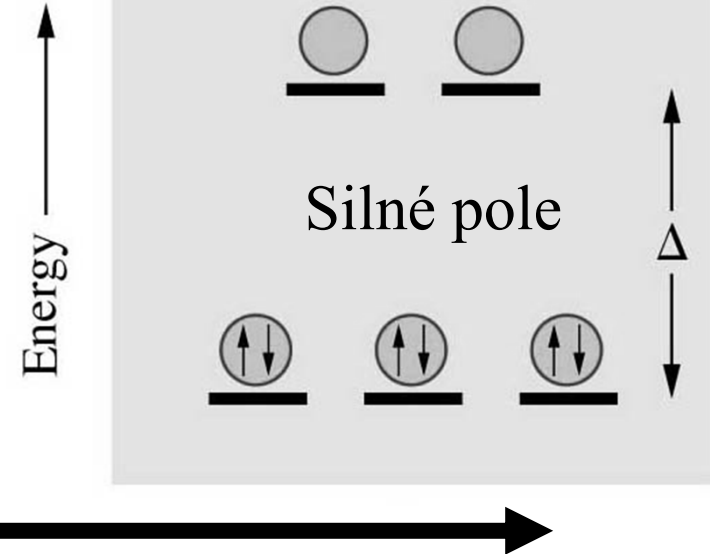


## Slabé pole

$\Delta_o < P$  (párovací energie)

Vysokospinové komplexy

## Nízkospinové komplexy



## Silné pole

$\Delta_o > P$  (párovací energie)

Nízkospinové komplexy 57

# Stabilizační energie ligandového pole

(CFSE = Crystal Field Stabilization Energy )

## Slabé pole

## Silné pole

		e	CFSE		e	CFSE
d <sup>1</sup>	t <sub>2g</sub> <sup>1</sup>	1	0.4 Δ <sub>o</sub>	t <sub>2g</sub> <sup>1</sup>	1	0.4 Δ <sub>o</sub>
d <sup>2</sup>	t <sub>2g</sub> <sup>2</sup>	2	0.8 Δ <sub>o</sub>	t <sub>2g</sub> <sup>2</sup>	2	0.8 Δ <sub>o</sub>
d <sup>3</sup>	t <sub>2g</sub> <sup>3</sup>	3	1.2 Δ <sub>o</sub>	t <sub>2g</sub> <sup>3</sup>	3	1.2 Δ <sub>o</sub>
d <sup>4</sup>	t <sub>2g</sub> <sup>3</sup> e <sub>g</sub> <sup>1</sup>	4	0.6 Δ <sub>o</sub>	t <sub>2g</sub> <sup>4</sup>	2	1.6 Δ <sub>o</sub>
d <sup>5</sup>	t <sub>2g</sub> <sup>3</sup> e <sub>g</sub> <sup>2</sup>	5	0.0 Δ <sub>o</sub>	t <sub>2g</sub> <sup>5</sup>	1	2.0 Δ <sub>o</sub>
d <sup>6</sup>	t <sub>2g</sub> <sup>4</sup> e <sub>g</sub> <sup>2</sup>	4	0.4 Δ <sub>o</sub>	t <sub>2g</sub> <sup>6</sup>	0	2.4 Δ <sub>o</sub>
d <sup>7</sup>	t <sub>2g</sub> <sup>5</sup> e <sub>g</sub> <sup>2</sup>	3	0.8 Δ <sub>o</sub>	t <sub>2g</sub> <sup>6</sup> e <sub>g</sub> <sup>1</sup>	1	1.8 Δ <sub>o</sub>
d <sup>8</sup>	t <sub>2g</sub> <sup>6</sup> e <sub>g</sub> <sup>2</sup>	2	1.2 Δ <sub>o</sub>	t <sub>2g</sub> <sup>6</sup> e <sub>g</sub> <sup>2</sup>	2	1.2 Δ <sub>o</sub>

$$\text{CFSE} = (n \ t_{2g}) \ 0.4 \Delta_o - (n \ e_g) \ 0.6 \Delta_o$$

e = počet nepárových elektronů

# Rozštěpení d-hladin v $O_h$ poli

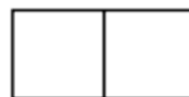
Obsazení energetických hladin elektronů:

**Výstavbový princip**

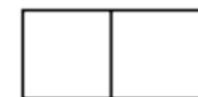
**Hundovo pravidlo**

**Pauliho princip**

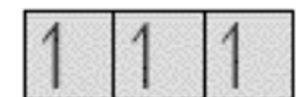
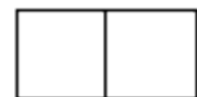
$Ti^{3+}$ , a  $d^1$  ion



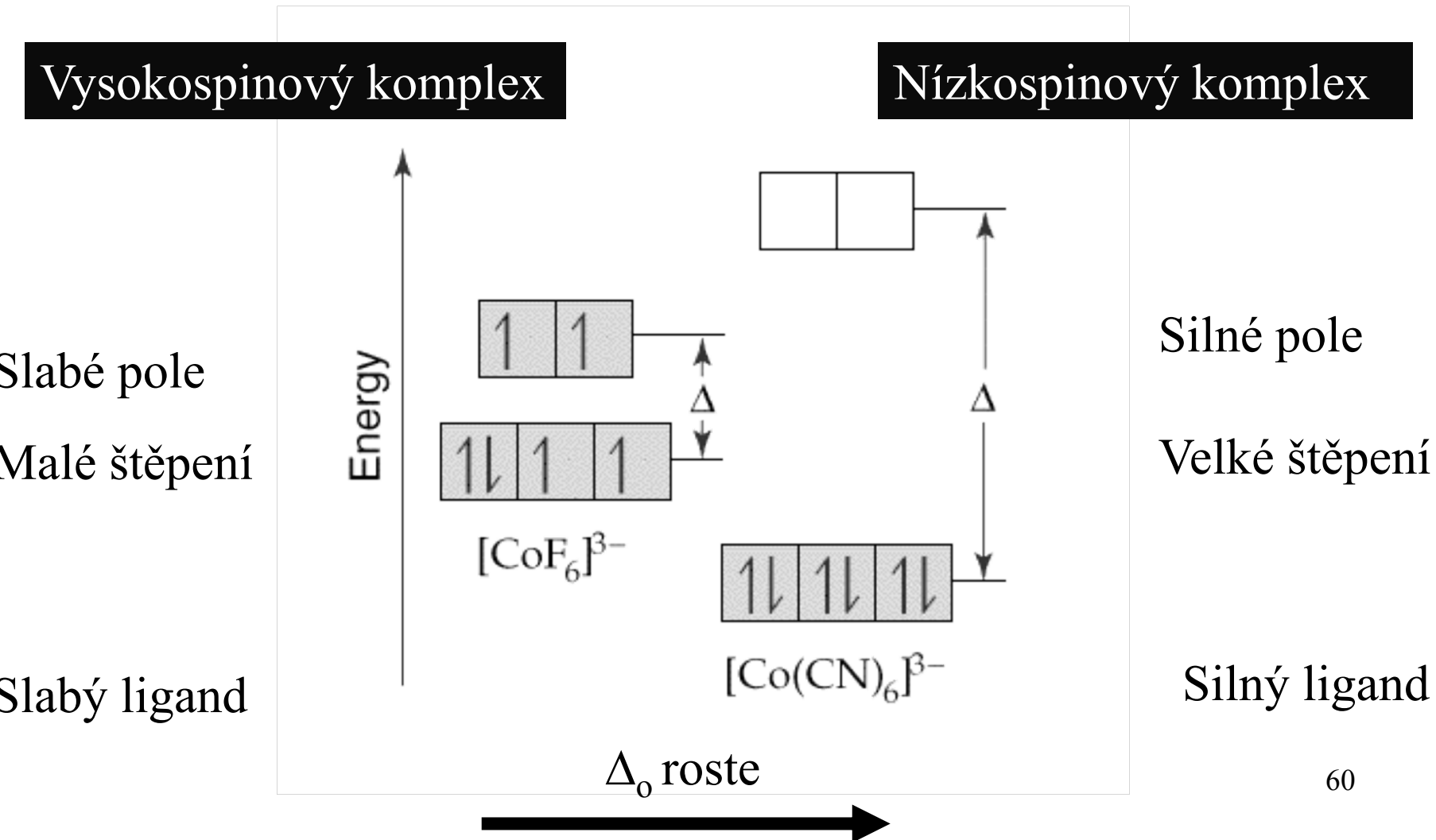
$V^{3+}$ , a  $d^2$  ion



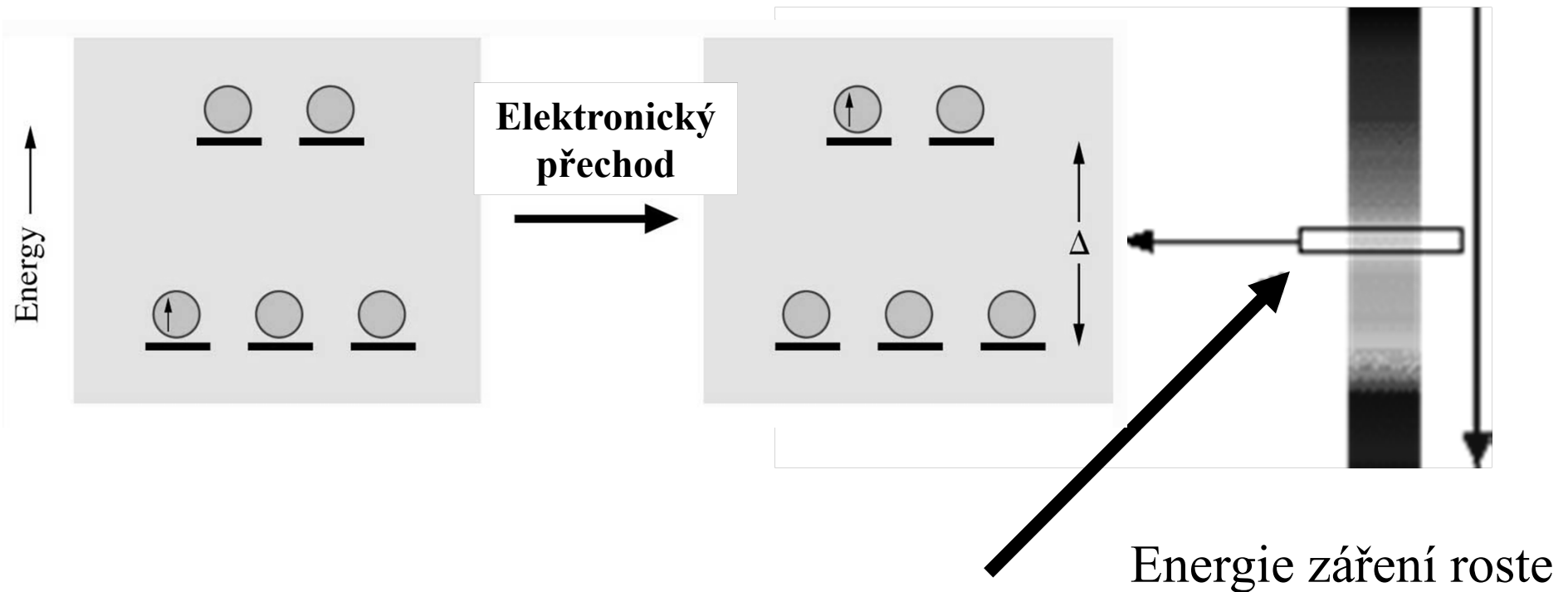
$Cr^{3+}$ , a  $d^3$  ion



# Rozštěpení d-hladin v $O_h$ poli

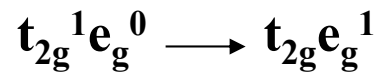
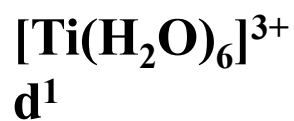


# Elektronické přechody



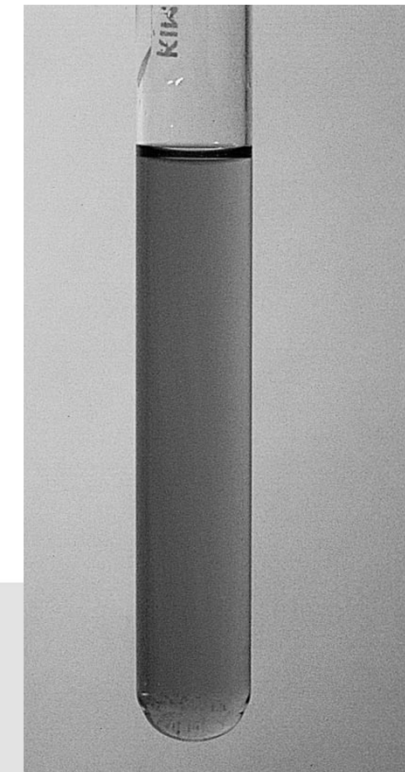
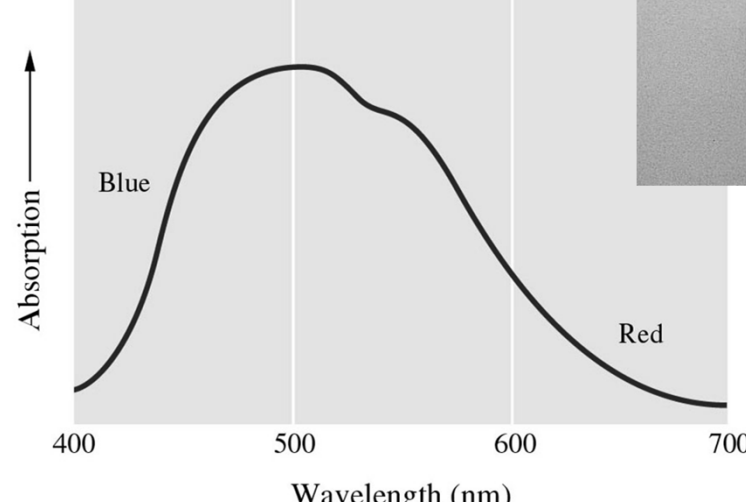
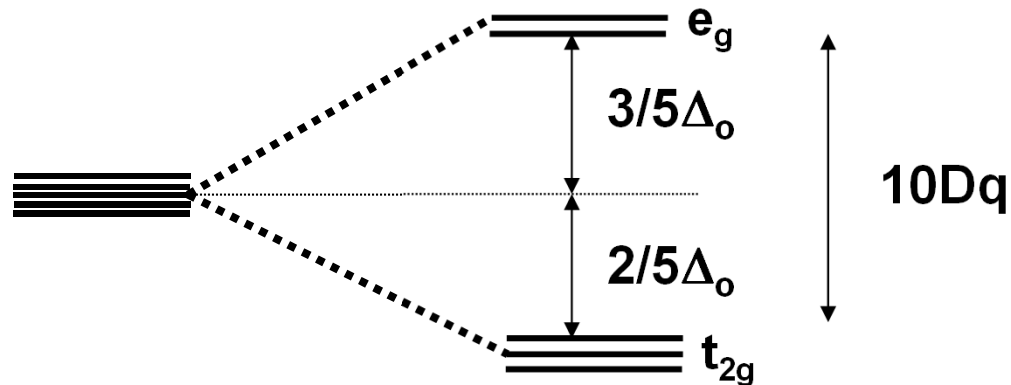
Tato energie je právě dostatečná pro excitaci elektronu

# Rozštěpení d-hladin v $O_h$ poli



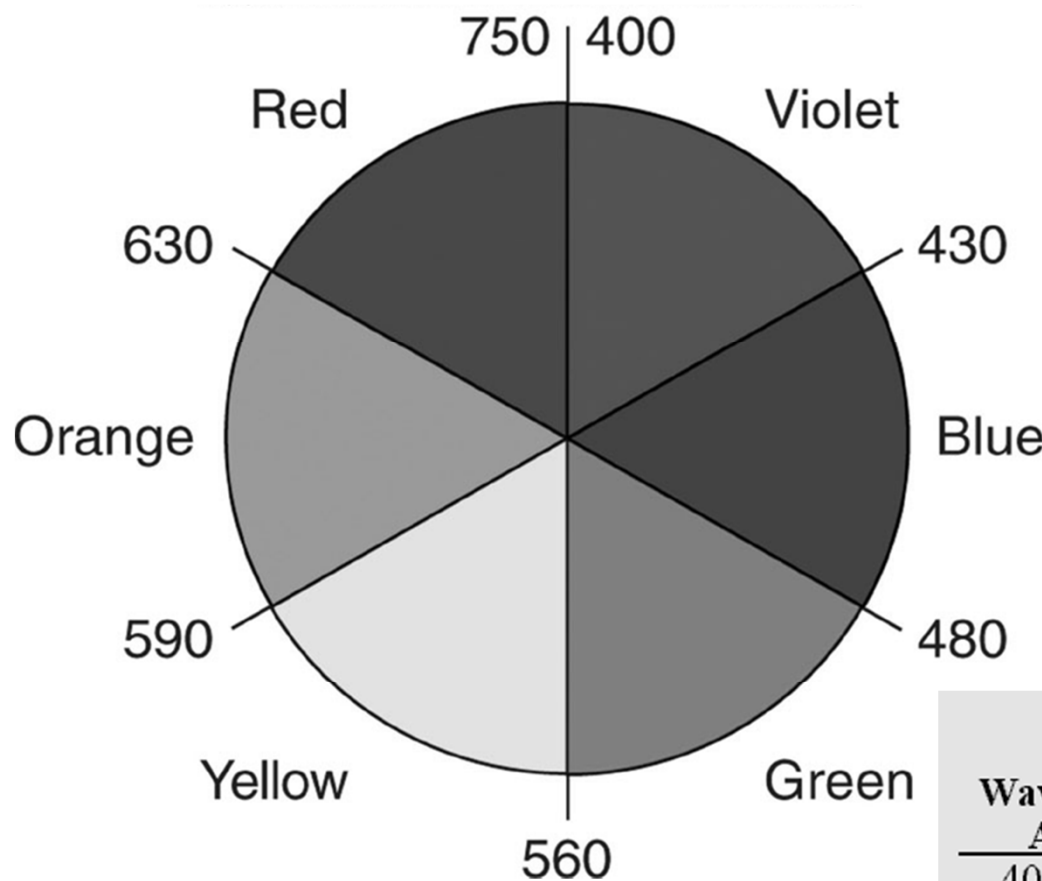
růžový

$243 \text{ kJ mol}^{-1} (\Delta_o)$



UV-vis absorpční spektrum

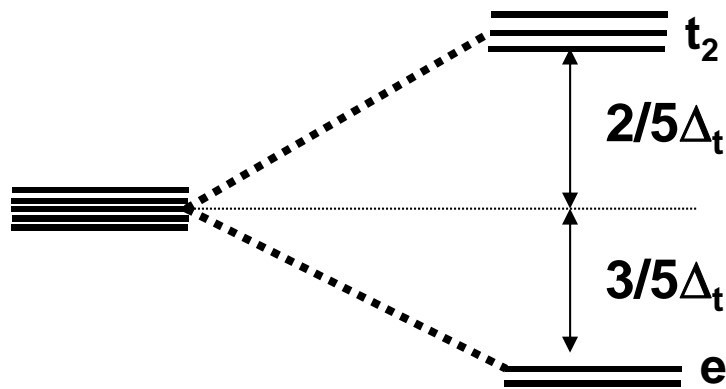




Absorbované světlo  
Prošlé světlo

Wavelength (Color) Absorbed	Color Observed
400 nm ( <b>violet</b> )	yellow-green
450 nm ( <b>blue</b> )	orange
490 nm ( <b>blue-green</b> )	red
530 nm ( <b>green</b> )	purple
570 nm ( <b>yellow-green</b> )	<b>violet</b>
580 nm ( <b>yellow</b> )	<b>dark blue</b>
600 nm ( <b>orange</b> )	<b>blue</b>
650 nm ( <b>red</b> )	blue-green
720 nm ( <b>purple</b> )	green

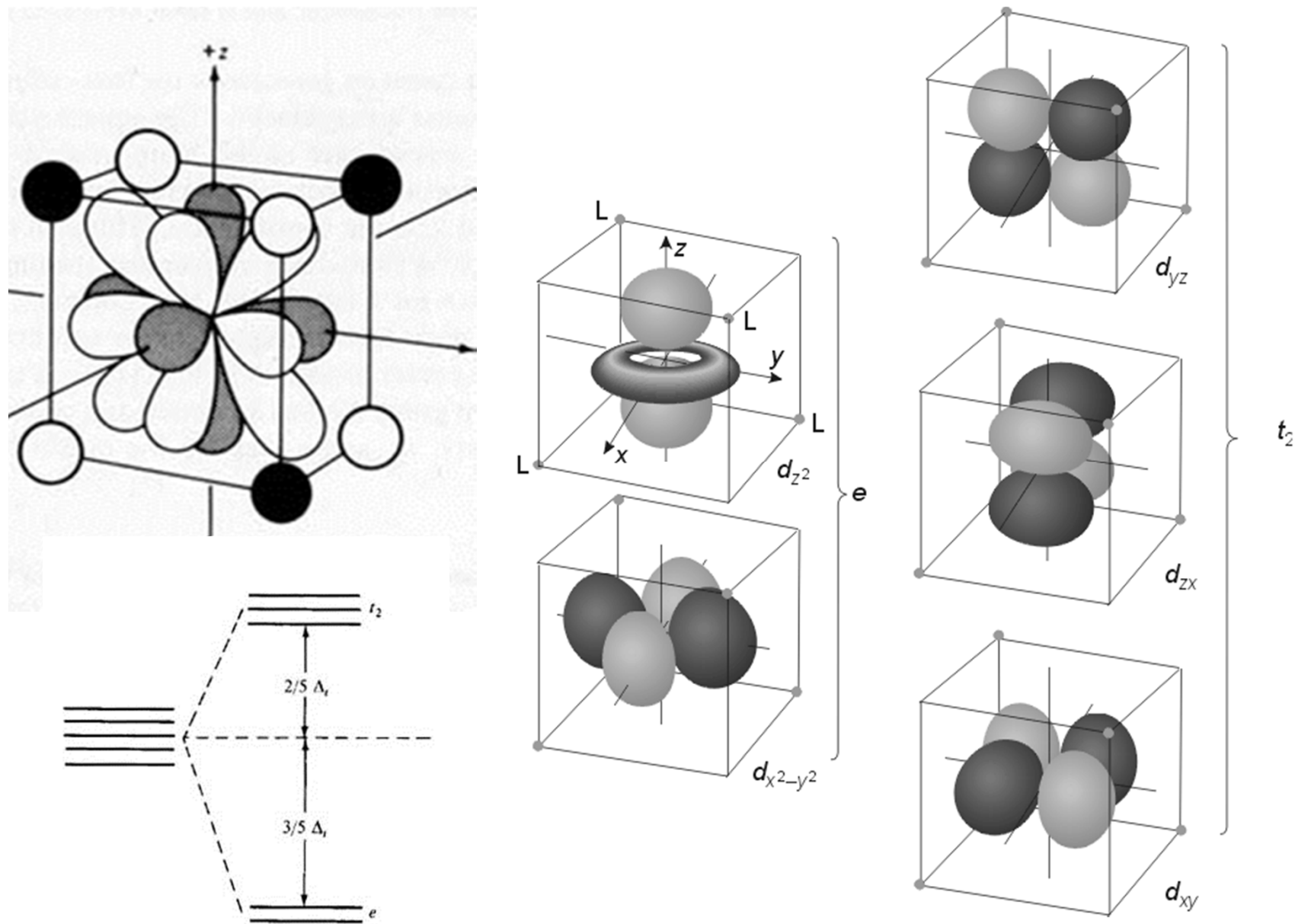
## Rozštěpení d-hladin v $T_d$ poli



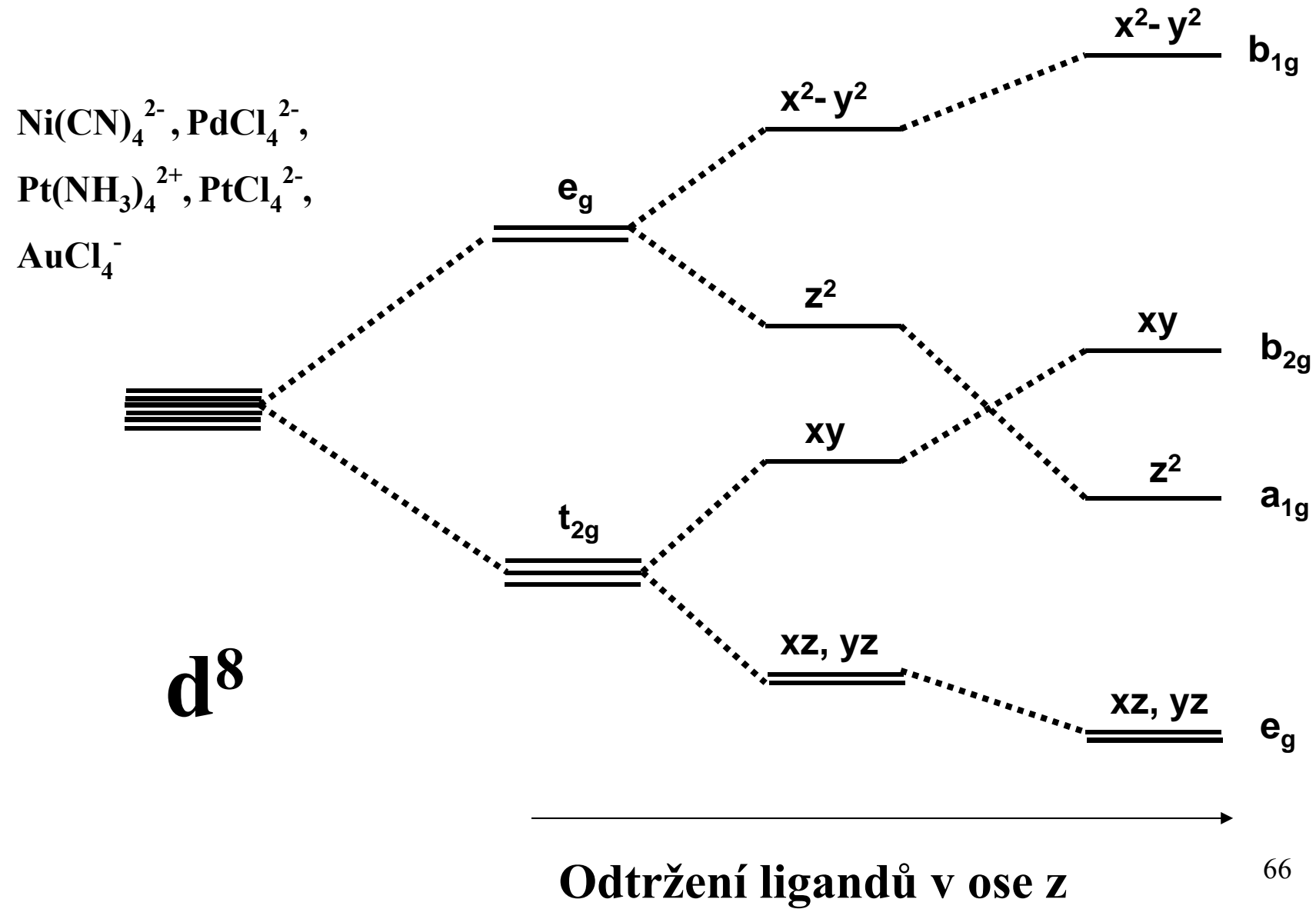
$$\Delta_t = 4/9 \Delta_o$$

$T_d$  komplexy jsou vždy vysokospinové  
žádný d-orbital nemíří přímo k ligandům (jako u  $O_h$ )  
slabší interakce

## d-orbitaly v tetraedrickém poli ligandů



# Rozštěpení d-hladin v čtvercovém poli ( $d^8$ )



## 18-ti elektronové pravidlo

Počet d-elektronů neutrálního kovu

+ 2 e neutrální ligandy

+ 1 e aniontové ligandy

součet 18 pro stabilní komplexy



$$6 \times \text{CO} \quad 6 \times 2 = 12$$

$$\text{celkem} \qquad \qquad 18$$

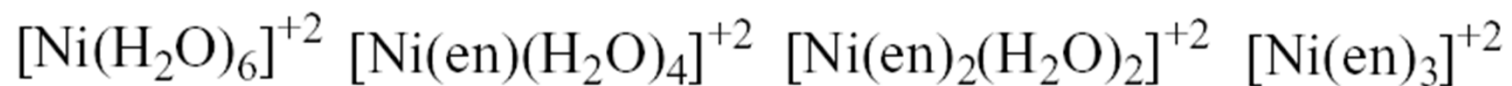


$$3 \times \text{NH}_3 \quad 3 \times 2 = 6$$

$$3 \times \text{Cl} \quad 3 \times 1 = 3$$

$$\text{celkem} \qquad \qquad 18$$

# Vliv ligandů na vlastnosti komplexů



green

green/blue

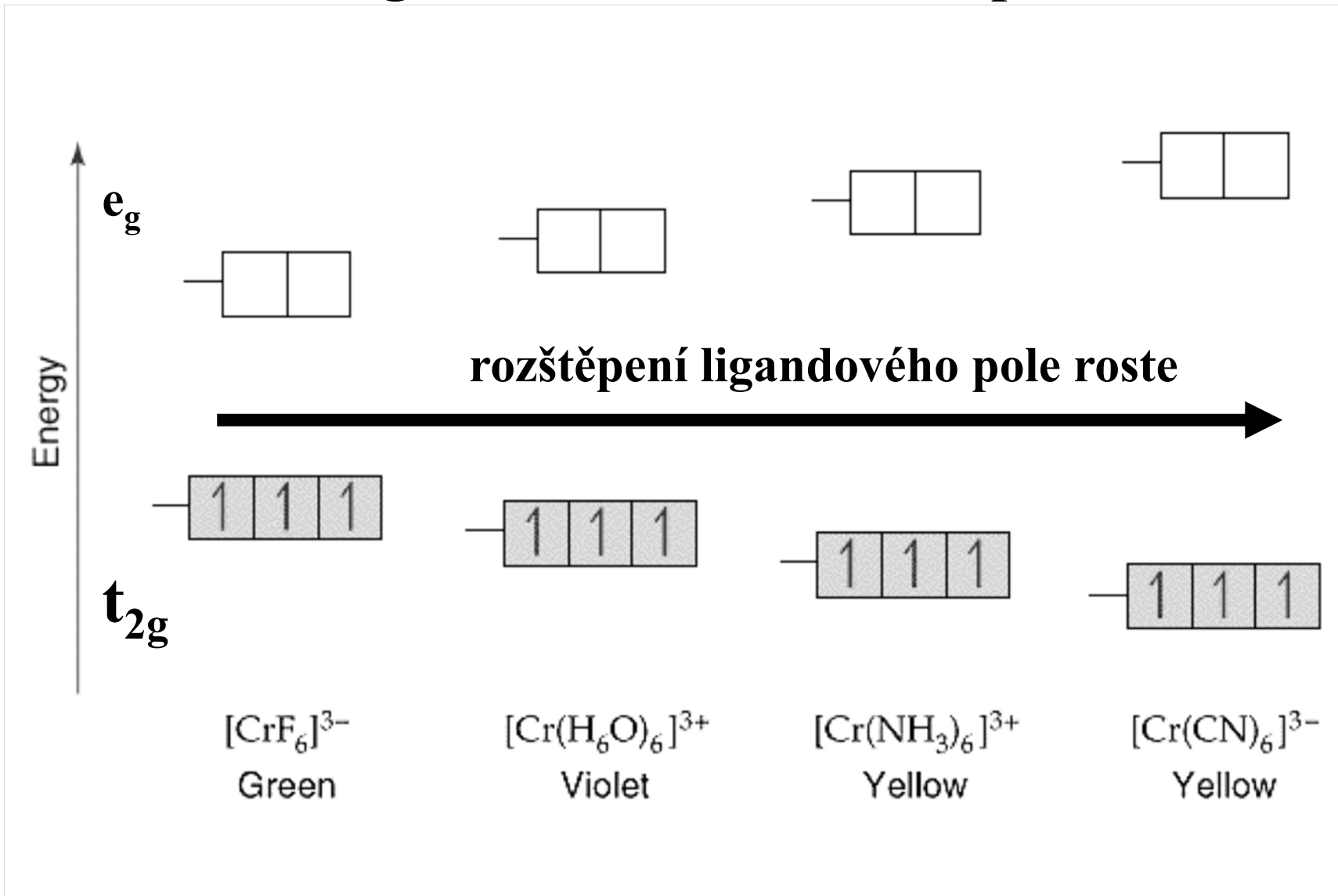
blue

purple



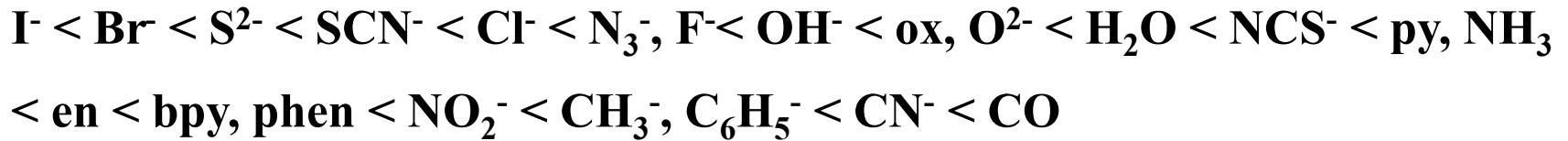
en = ethylendiammin

# Vliv ligandů na vlastnosti komplexů

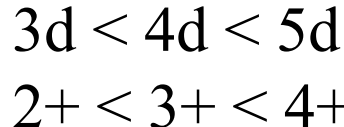


## Faktory ovlivňující velikost rozštěpení ligandového pole

**Spektrochemická řada ligandů:**



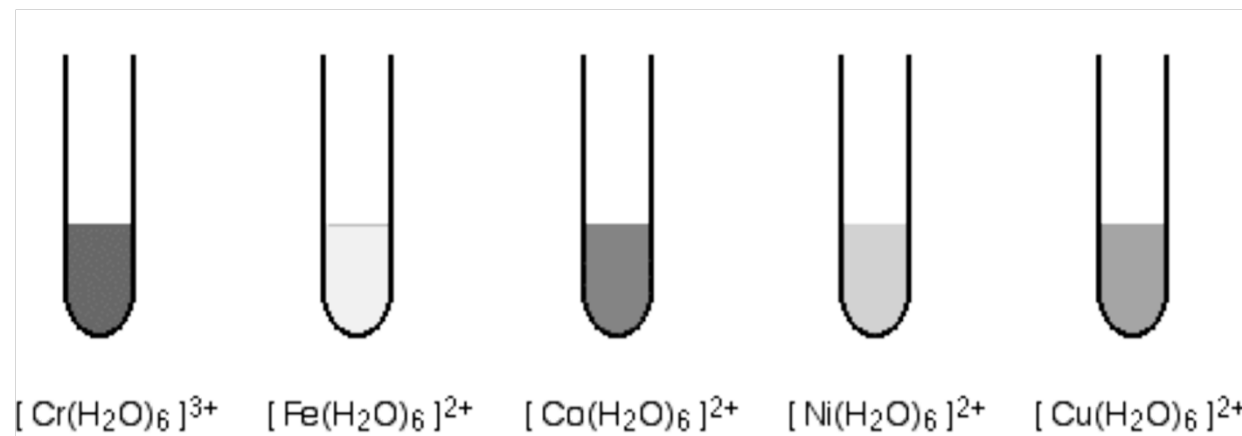
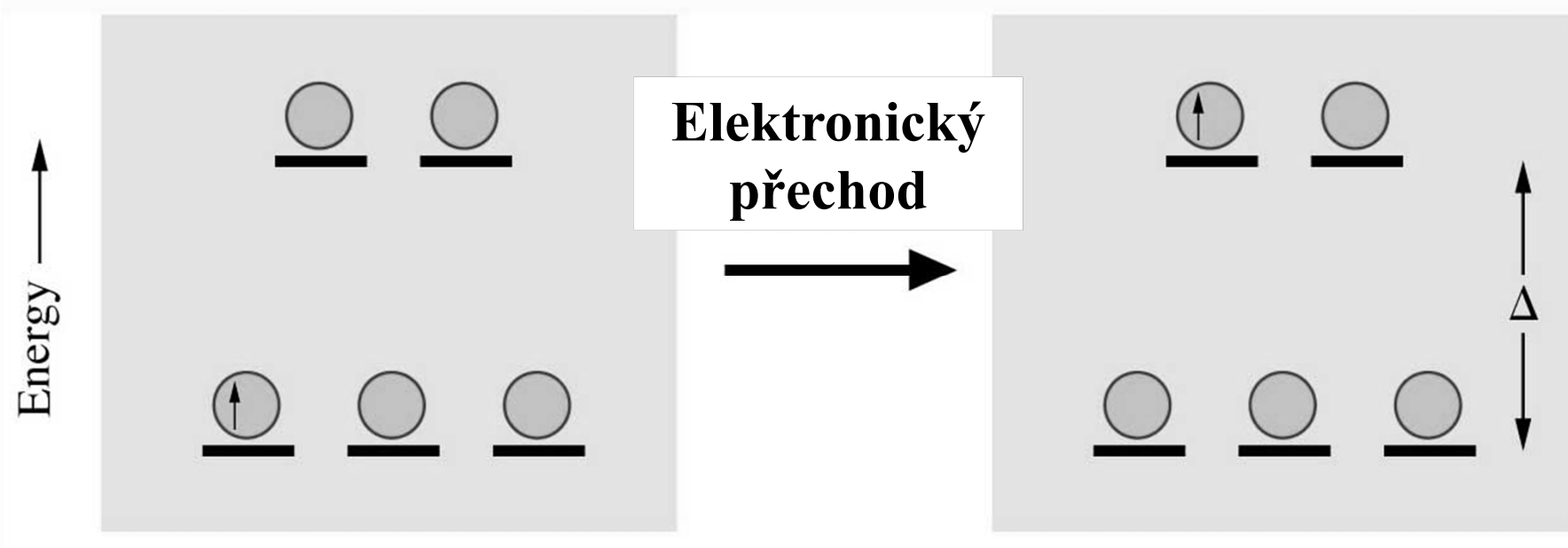
**Centrální atom:**

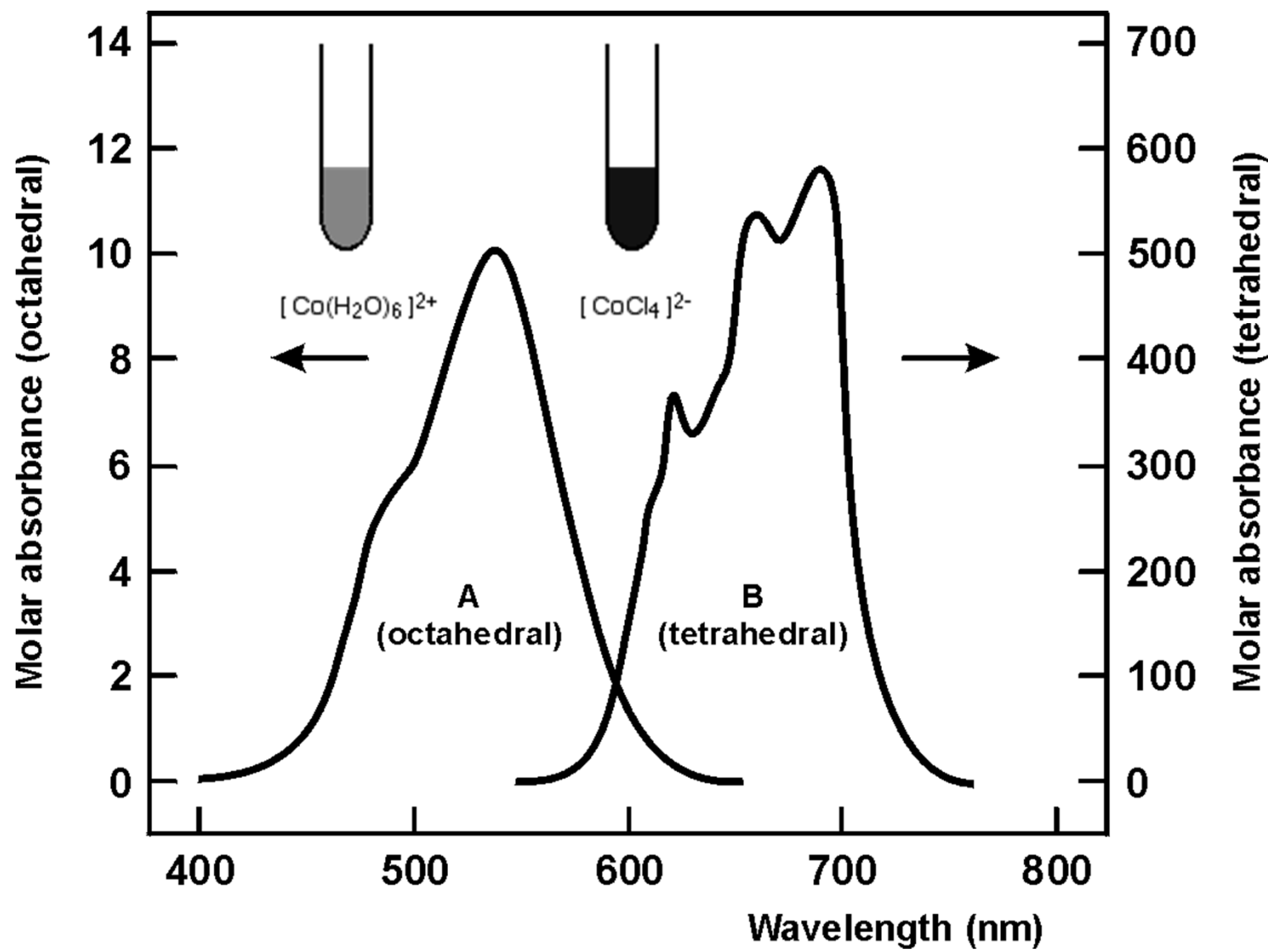


**Typ koordinace 4/9  $\Delta_0 = \Delta_t$**

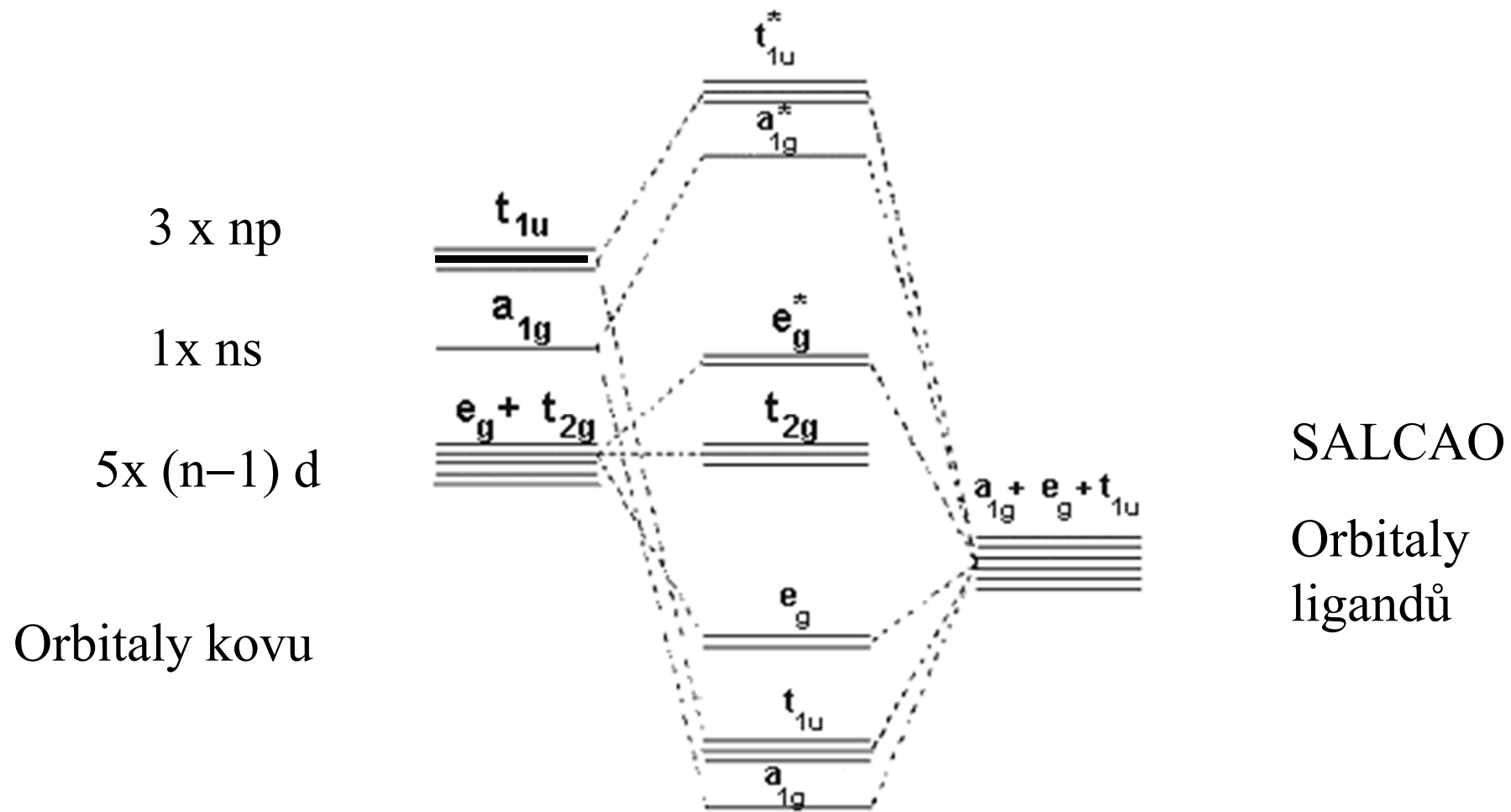
Síla a délka vazby M-L

# Elektronické přechody

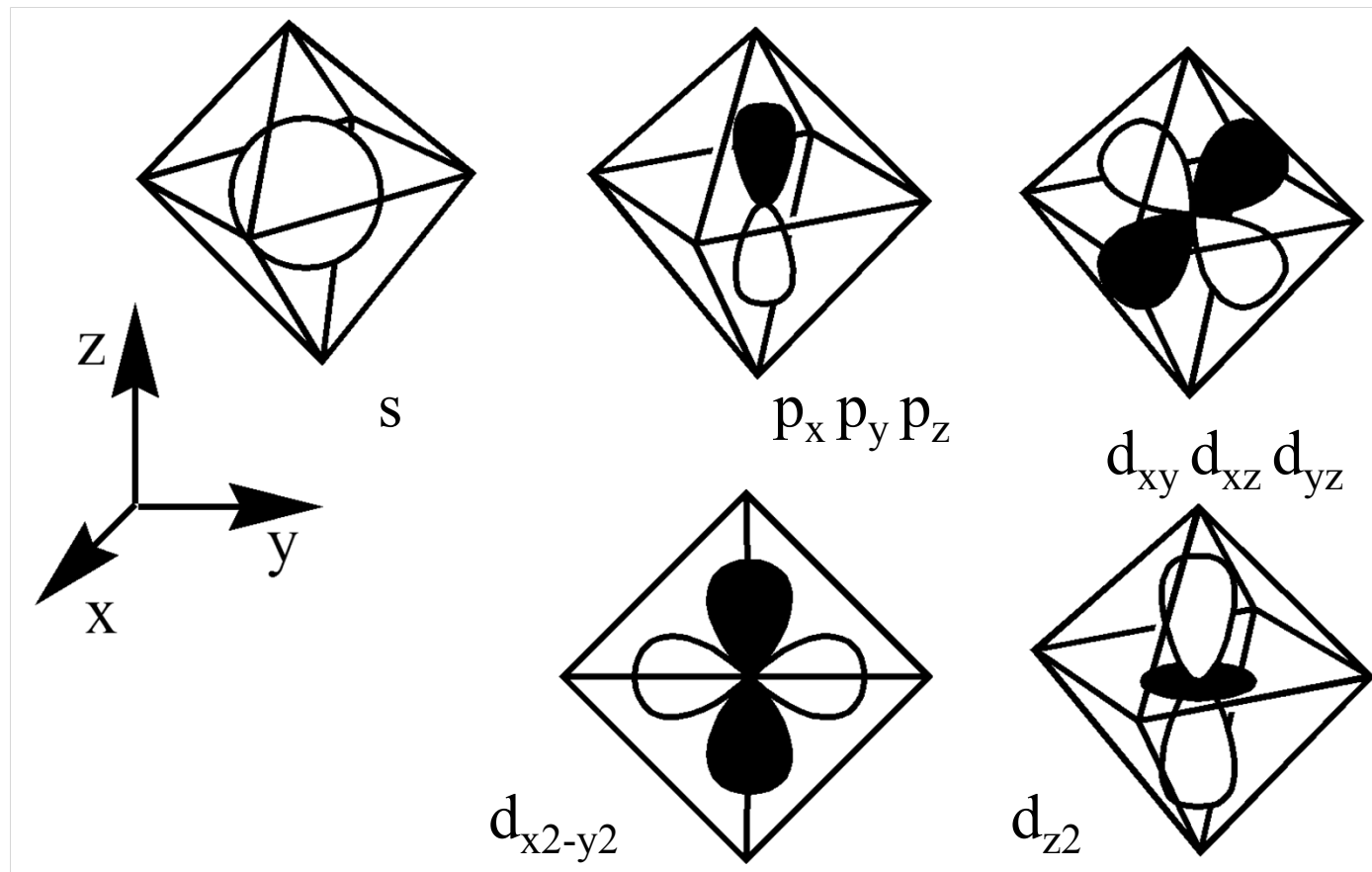




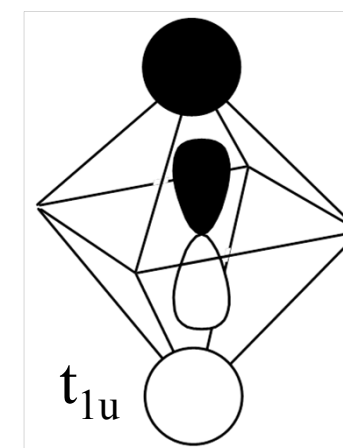
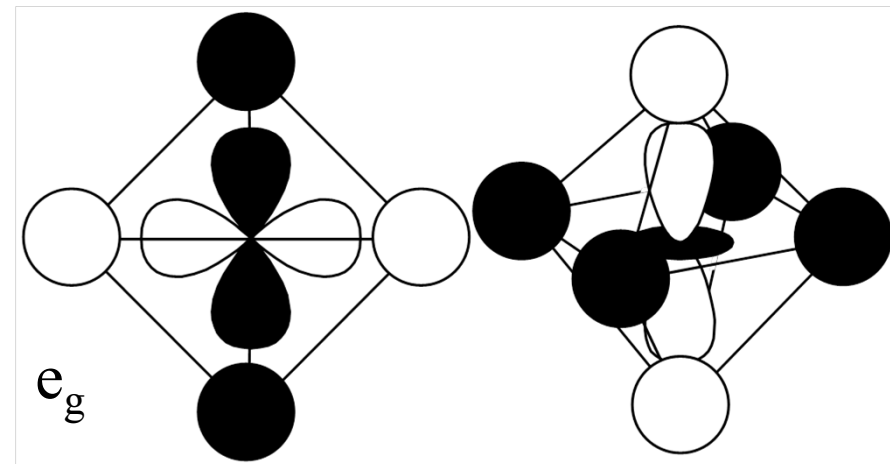
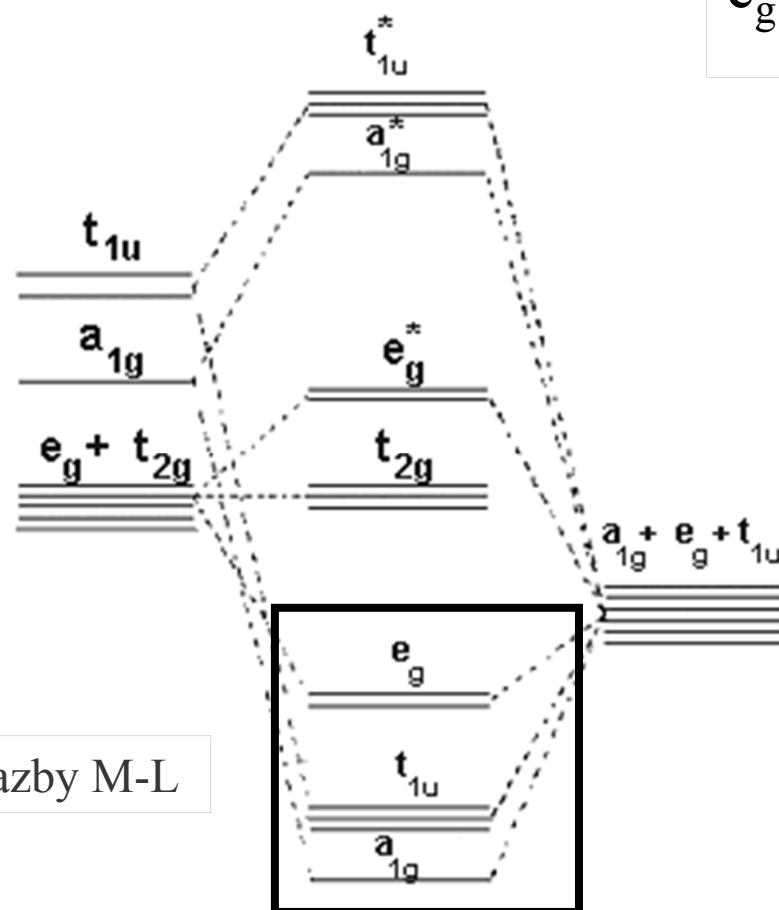
# Popis vazby v komplexech pomocí MO



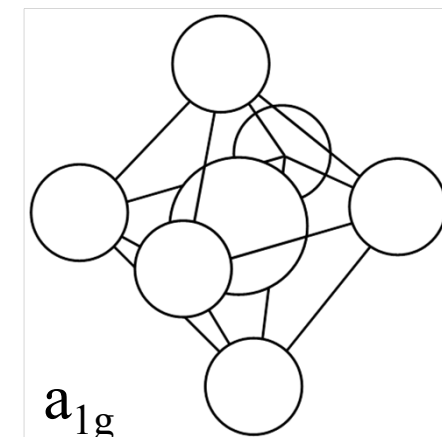
## Valenční orbitaly kovu



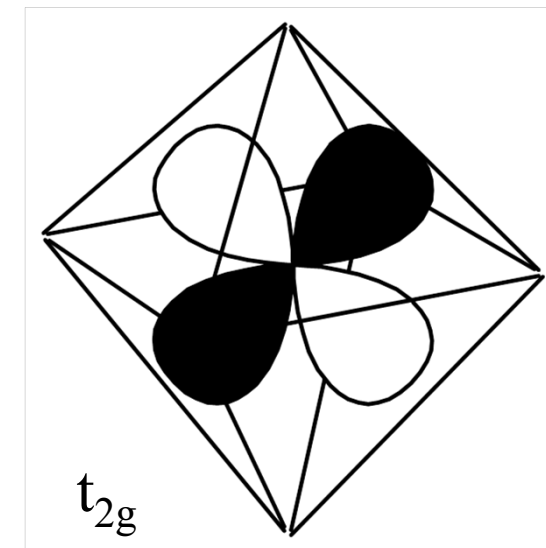
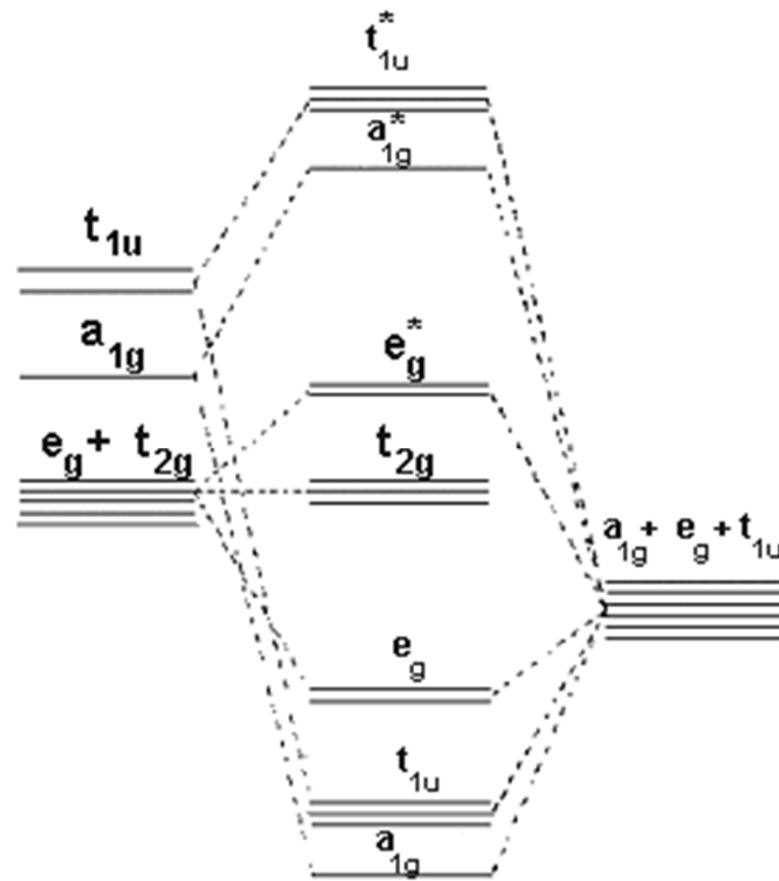
Sigma vazby M-L



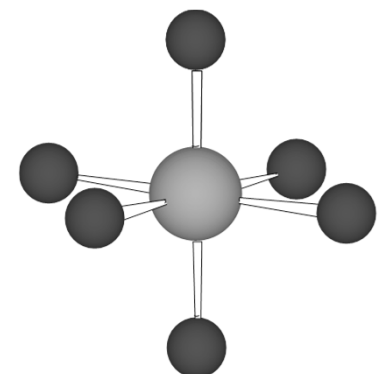
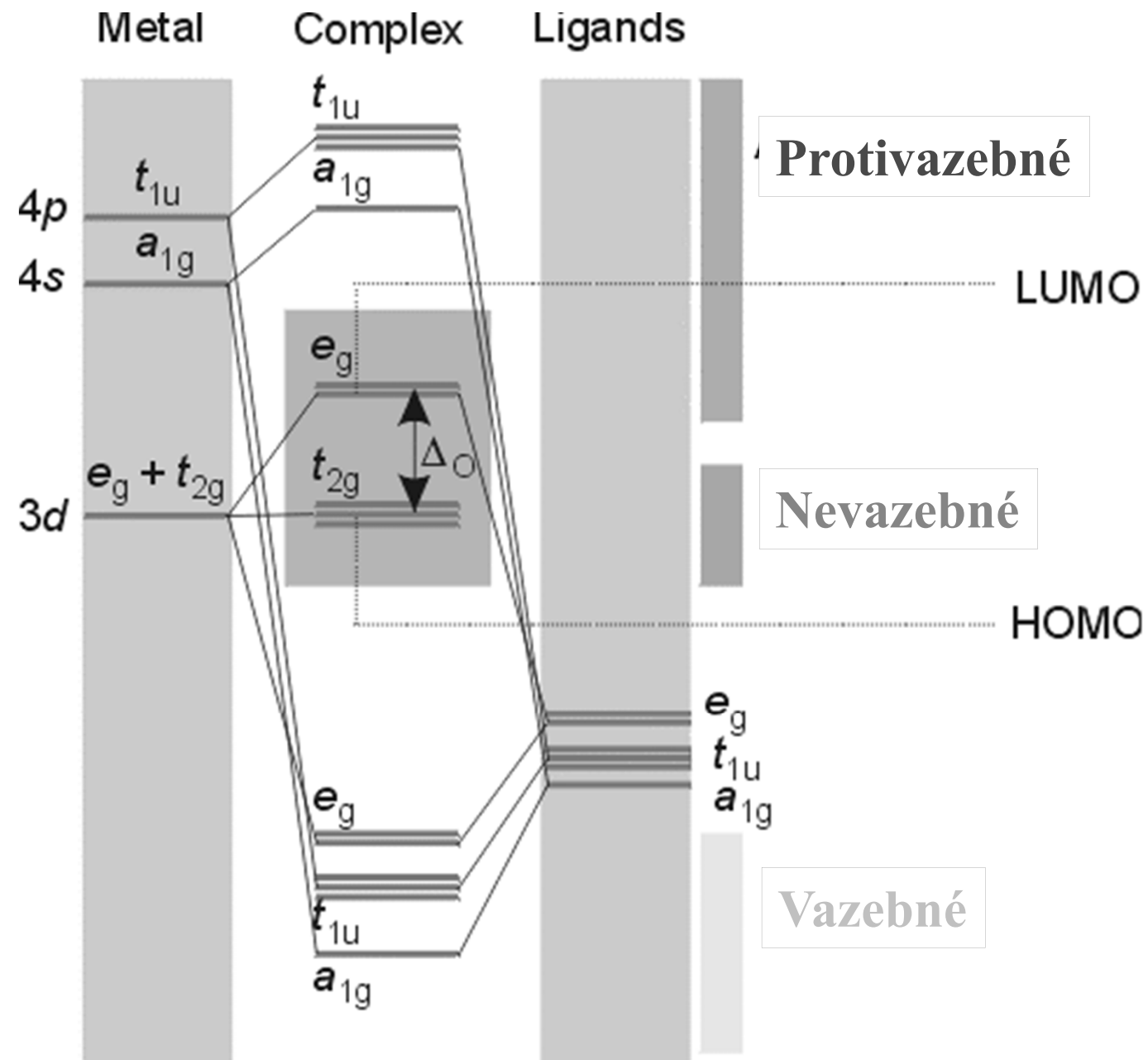
$3 \times np$



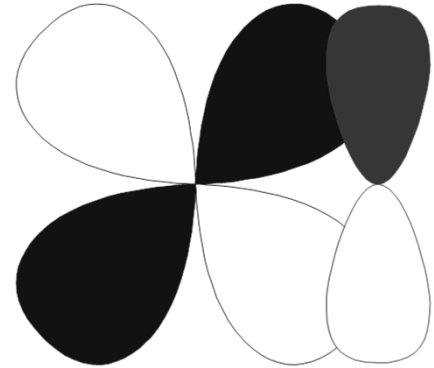
## Nevazebné d-orbitaly



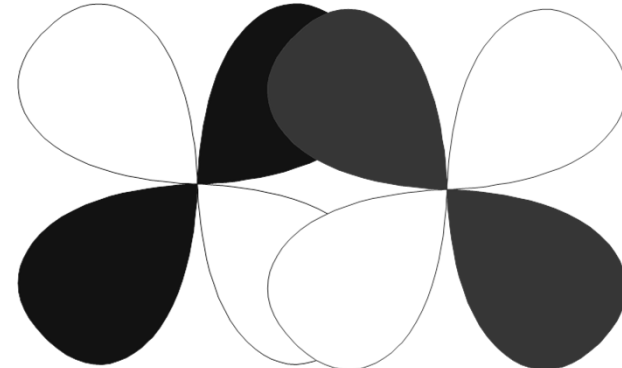
Neexistuje žádná vhodná kombinace AO ligandů  
(pro sigma vazbu)



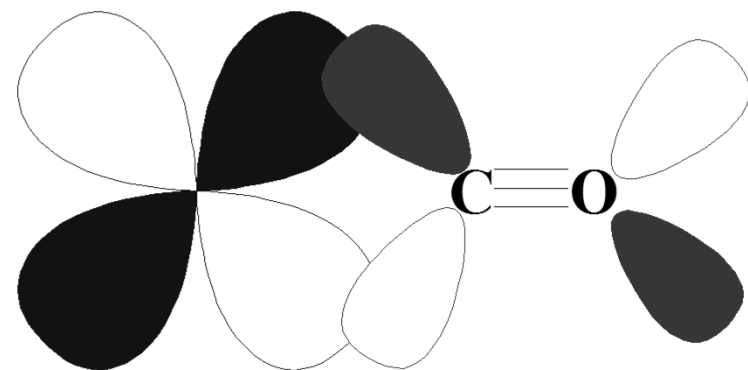
## MO při $\pi$ -vazbě



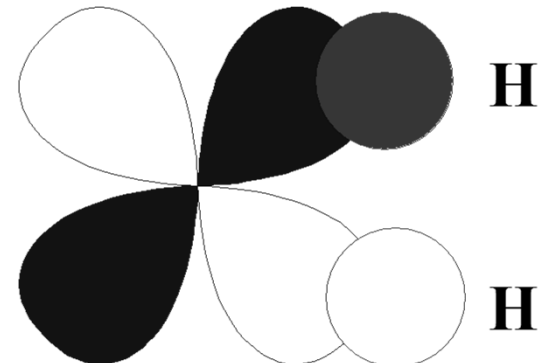
$p\pi-d\pi$      $RO^-$ ,  $RS^-$ ,  $O^{2-}$ ,  $F^-$ ,  $Cl^-$ ,  $Br^-$ ,  $I^-$ ,  $R_2N^-$



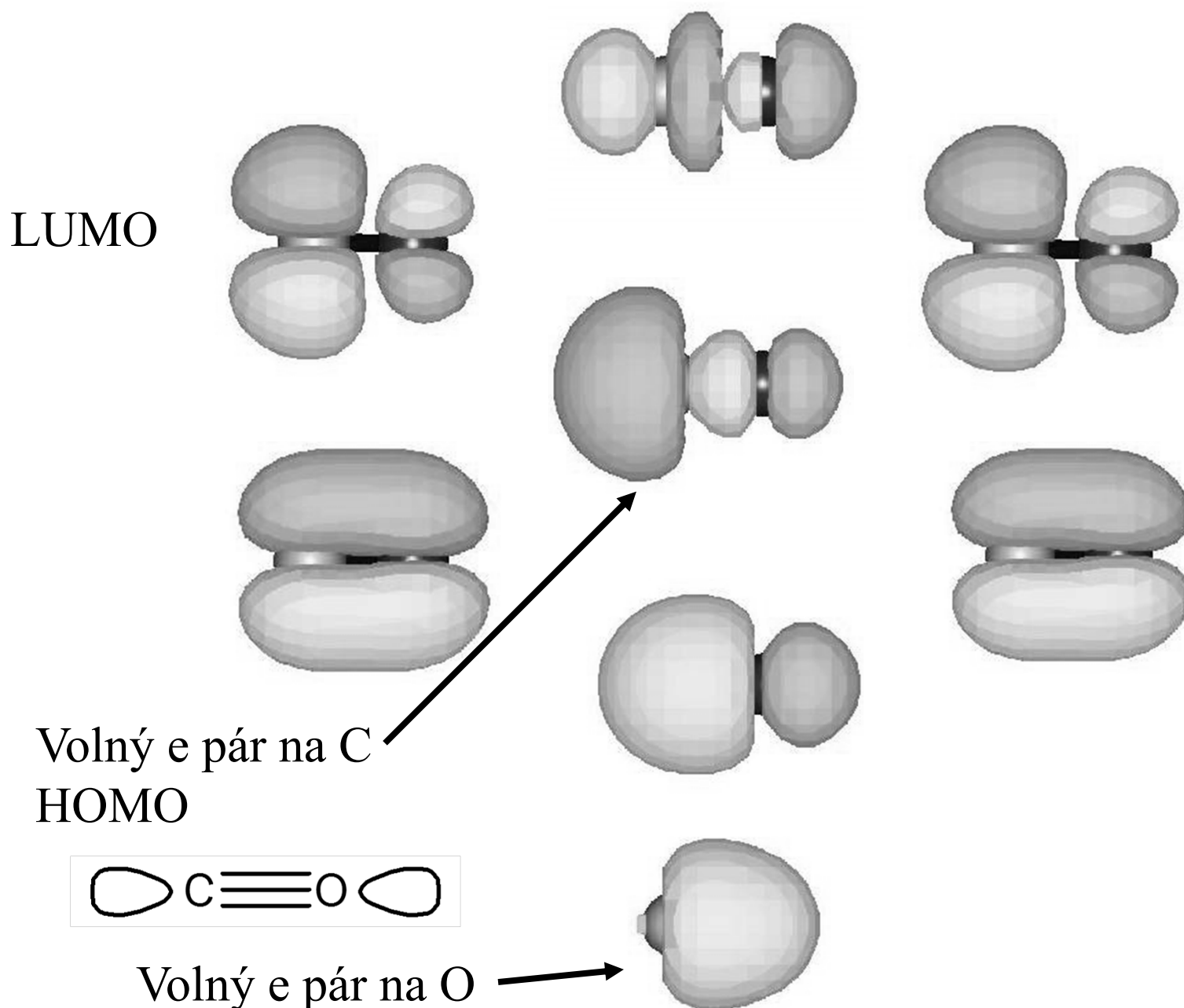
$d\pi-d\pi$      $R_3P$ ,  $R_3As$ ,  $R_3S$



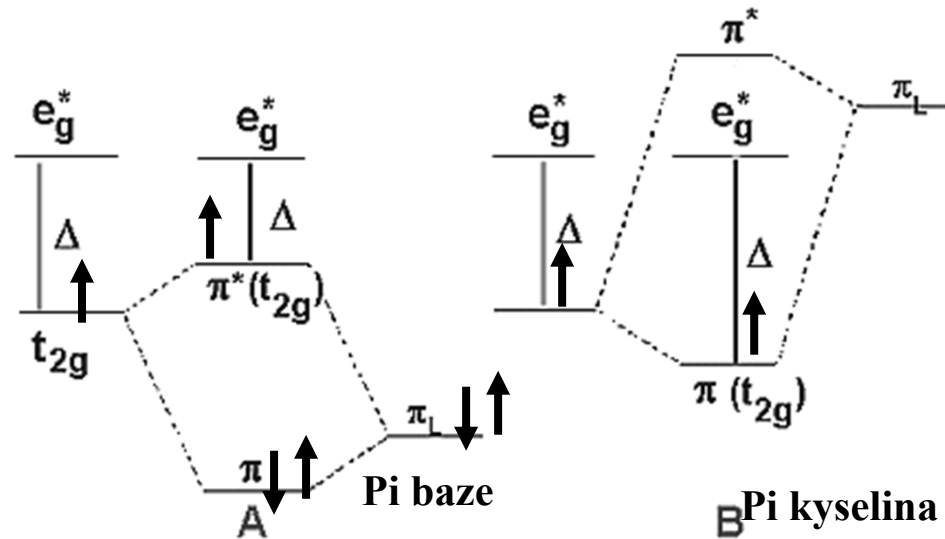
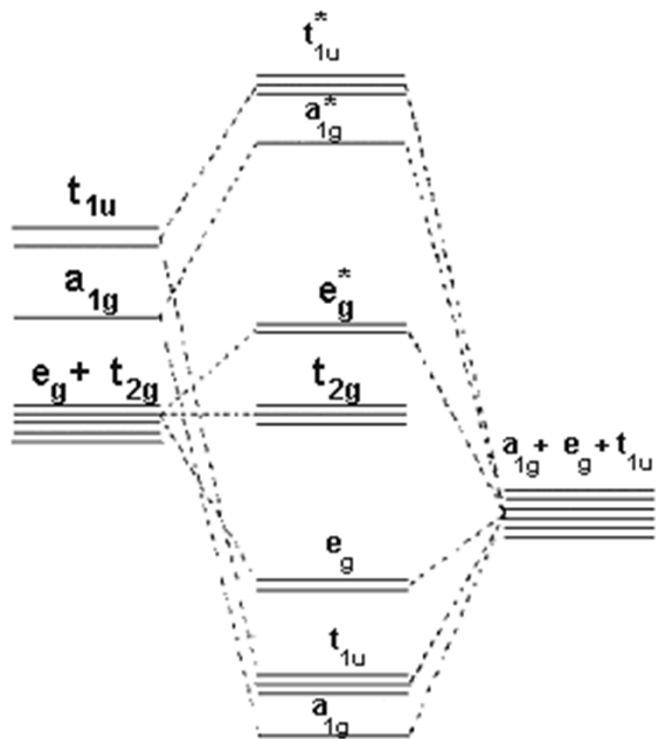
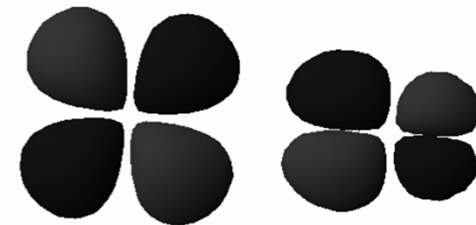
$d\pi-\pi^*$      $CO$ ,  $RNC$ , pyridin,  $CN^-$ ,  $N_2$ ,  
 $NO_2^-$ , ethylen



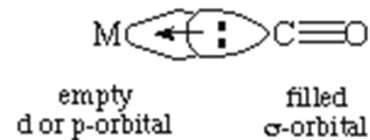
$d\pi-\sigma^*$      $H_2$ ,  $R_3P$ , alkany



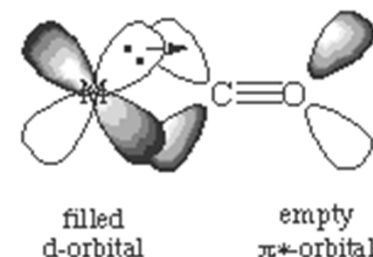
# Ligandy s pi orbitaly



$\sigma$  bond:



$\pi$  backbond:



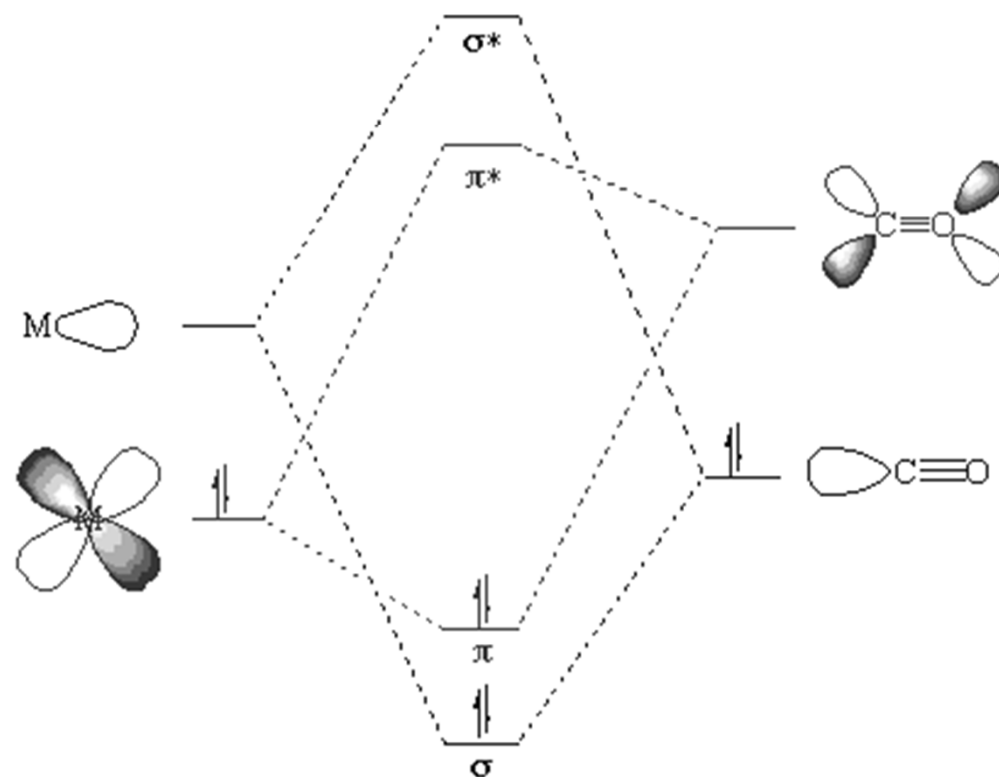
$L_nM$

$L_nM(CO)$

CO

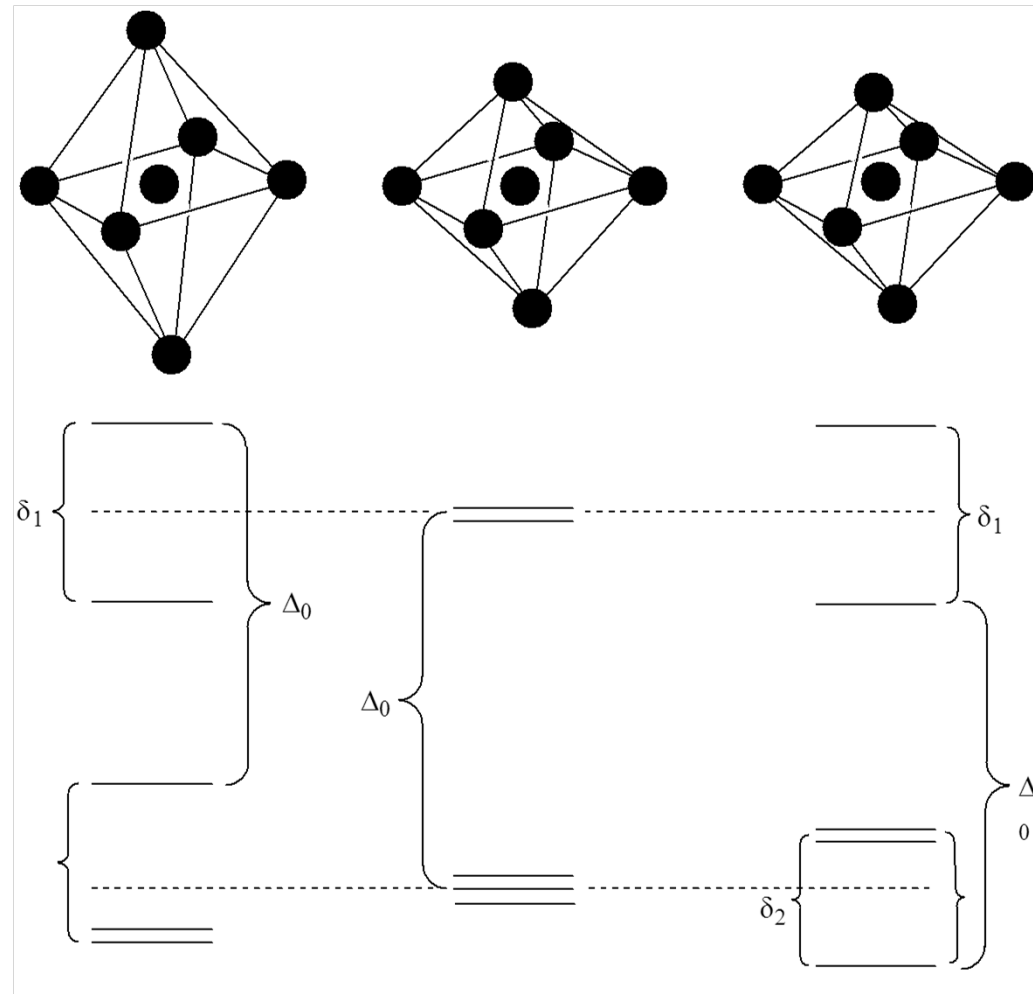
Zpětná pi donace  
 $M \rightarrow CO$

Sigma donace  
 $M \leftarrow CO$

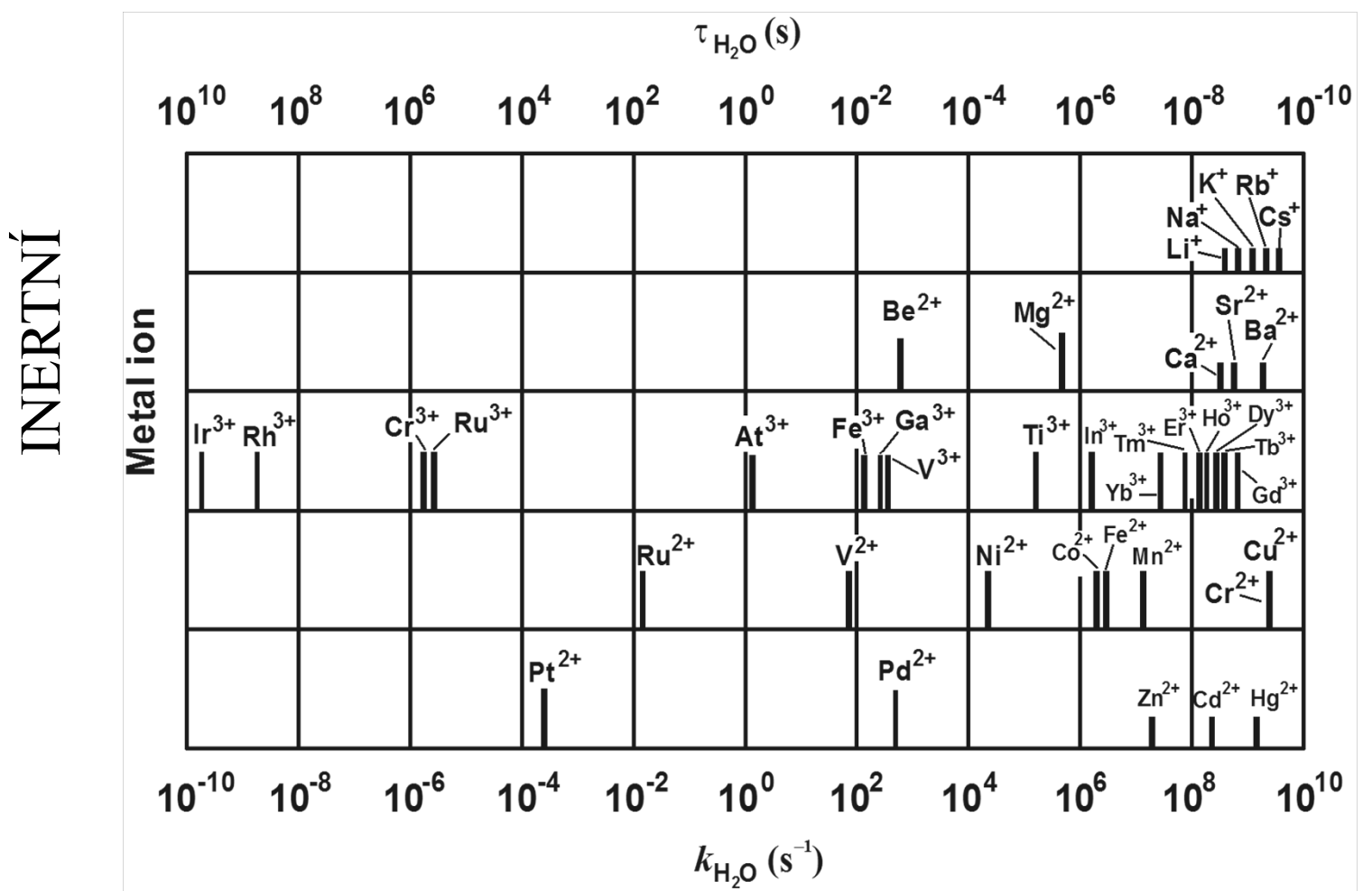


## Jahn-Tellerova distorze

Degenerované hladiny  
Částečně obsazené  
Nelineární molekuly  
Degenerace se odstraní  
deformací



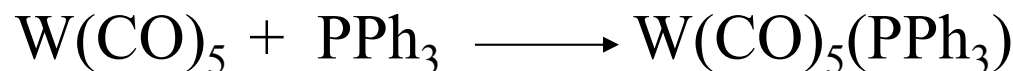
# Kinetika



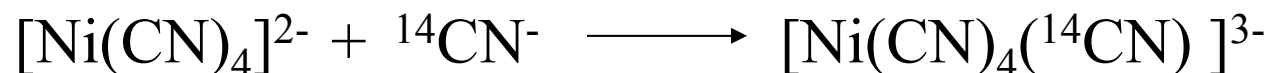
# Mechanismy reakcí

## Mechanismus

### Disociativní (D)



### Asociativní (A)



Trans-zeslabení: schopnost ligandu zeslabit vazbu k jinému ligandu v trans poloze

**Trans-Influence** (thermodynamic effect)

extent to which a ligand weakens the metal-ligand bond of the ligand *trans* to itself

From NMR:  $\text{SiR}_3 > \text{Ph} > \text{R} > \text{P(OR)}_3 > \text{CN} > \text{AsR}_3 > \text{NR}_3 > \text{Cl} > \text{Br} > \text{I}$

From X-ray:  $\text{R} > \text{H} > \text{CR}_2 \approx \text{PR}_3 > \text{AsR}_3 > \text{CO} > \text{C}_2\text{H}_4 > \text{Cl}$

Trans-efekt: schopnost ligandu urychlit substituci jiného ligandu v trans poloze

**Trans-Effect** (kinetic effect)

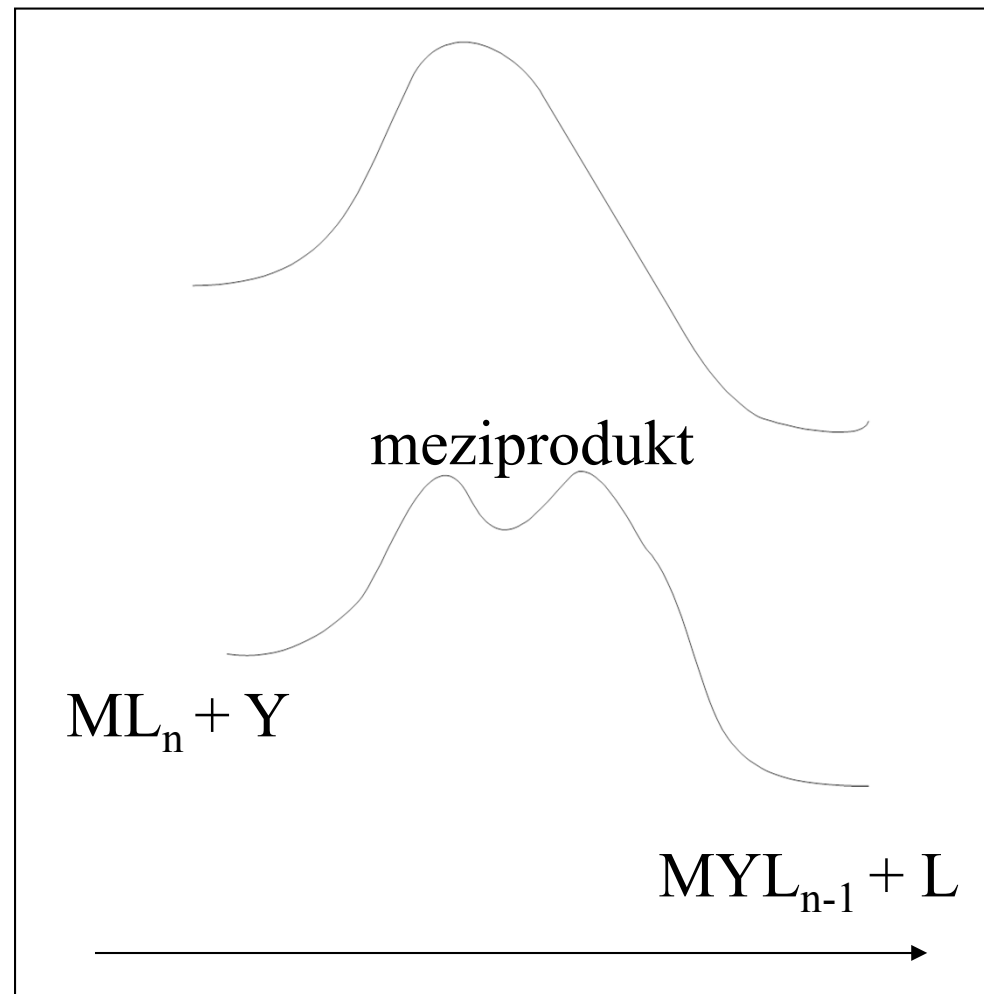
extent to which a ligand effects the rate of exchange of the ligand *trans* to itself

Dissociative mechanism, *trans* effect series = *trans* influence series

Associative mechanism:  $\text{CO}, \text{CN}, \text{C}_2\text{H}_4 > \text{PR}_3 > \text{H} > \text{Me} > \text{Ph} > \text{py} > \text{I} > \text{Br} > \text{Cl} > \text{NH}_3$

# Mechanismy reakcí

Výměnný (I)



## Magnetické vlastnosti komplexů

$$\chi = \frac{M}{H}$$

Magnetická susceptibilita

M = magnetizace

H = intenzita magnetického pole

Molární magnetická susceptibilita

$$\chi_M = \frac{\chi \cdot M_w}{\rho}$$

$$\chi_M = \frac{N_A \cdot \mu^2}{4kT} = \frac{C}{T}$$

Magnetický moment

$$\mu = 2\sqrt{S(S+1)} = \sqrt{n(n+2)}$$

# Magnetické vlastnosti komplexů

